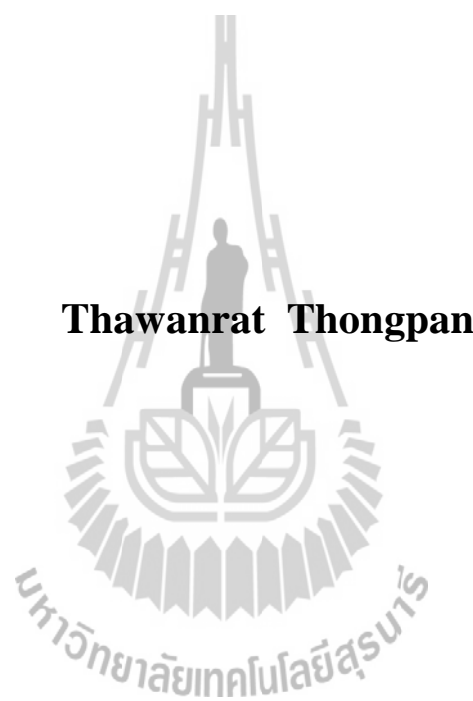


การสร้างเครื่องฝึกบินจำลองต้นแบบ



วิทยานิพนธ์นี้เป็นส่วนหนึ่งของการศึกษาตามหลักสูตรปริญญาวิศวกรรมศาสตรมหาบัณฑิต
สาขาวิศวกรรมเครื่องกล
มหาวิทยาลัยเทคโนโลยีสุรนารี
ปีการศึกษา 2557

PROTOTYPING OF FLIGHT SIMULATOR MODULE



**A Thesis Submitted in Partial Fulfillment of the Requirements for the
Degree of Master of Engineering in Mechanical Engineering
Suranaree University of Technology
Academic Year 2014**

การสร้างเครื่องฝึกบินจำลองต้นแบบ

มหาวิทยาลัยเทคโนโลยีสุรนารี อนุมัติให้นับวิทยานิพนธ์ฉบับนี้เป็นส่วนหนึ่งของการศึกษา
ตามหลักสูตรปริญญามหาบัณฑิต

คณะกรรมการสอบวิทยานิพนธ์

(อ. ดร.ธีทัต คลวิชัย)

ประธานกรรมการ

(รศ. ร.อ. ดร.กนต์ชร ชำนินปะสาสน์)

กรรมการ (อาจารย์ที่ปรึกษาวิทยานิพนธ์)

(อ. ดร.สมศักดิ์ ศิริธรรมพงศ์)

กรรมการ

(ศ.ดร.ชูภิจ ลิมปีจันวงศ์)

รองอธิการบดีฝ่ายวิชาการและนวัตกรรม

(รศ. ร.อ. ดร.กนต์ชร ชำนินปะสาสน์)

คณบดีสำนักวิชาศึกษาศาสตร์

ช่วงรัตน์ ทองปัน : การสร้างเครื่องฝึกบินจำลองต้นแบบ (PROTOTYPING OF FLIGHT SIMULATOR MODULE) อาจารย์ที่ปรึกษา : รองศาสตราจารย์ เว้ออากาศเอก ดร.กนต์ธาร ชำนิประสาสน์, 76 หน้า.

งานวิจัยนี้ เป็นการสร้างเครื่องต้นแบบเครื่องฝึกจำลองการบิน ที่จะใช้ในการเรียนการสอนของนักศึกษาสาขาวิชาวิศวกรรมอากาศยาน มหาวิทยาลัยเทคโนโลยีสุรนารี การสร้างเครื่องฝึกบินจำลองนี้จะทำการสร้างห้องนักบิน (Cockpit) ที่เหมือนกับเครื่องบินฝึก การจำลองภาพการบินจะใช้โปรแกรมสำหรับสร้างภาพ โดยจะทำการเขียนต่ออุปกรณ์ควบคุมอากาศยานเข้ากับคอมพิวเตอร์ เพื่อให้การตอบสนองของภาพที่ปรากฏเหมือนกับการบินจริง อีกทั้งเครื่องมือวัดประกอบการบินต่างๆ จะเขียนต่อเข้ากับระบบควบคุม เพื่อให้การตอบสนองของเครื่องมือวัดมีความสมจริง ในด้านการเคลื่อนที่เครื่องต้นแบบนี้จะสร้างให้ห้องนักบินสามารถเคลื่อนที่ได้ใน 3 ทิศทาง คือการครุ่ง (Roll) การเงย (Pitch) และการเคลื่อนที่ตอบสนองกับความเร่งหรือแรงกระแทก (Heave) โดยการทำงานจะใช้เครื่องกระดุนด้วยลมขนาดเล็กในการจำลองการเคลื่อนที่

งานวิจัยนี้จะเป็นการออกแบบระบบเชื่อมโยงเพื่อควบคุมการทำงานของส่วนหลักๆ คือ ส่วนการเคลื่อนที่ของห้องนักบิน ส่วนแสดงผลภาพที่ม่องจากห้องนักบิน ส่วนแสดงผลเครื่องมือวัดประกอบการบิน และส่วนควบคุมการเคลื่อนที่ของอากาศยาน ให้ทำงานร่วมกันอย่างมีประสิทธิภาพ เพื่อให้เครื่องฝึกบินจำลองนี้ให้ความรู้สึกเหมือนกับการขึ้นบินบนอากาศยานจริงให้มากที่สุด ผลที่ได้จากการวิจัยนี้จะทำให้วิศวกรด้านการบินและอากาศยานสามารถมีเครื่องจำลองการบินที่มีความสมจริง ราคาถูกกว่าสร้างจากต่างประเทศ และสามารถผลิตขึ้นเองในมหาวิทยาลัย ซึ่งถือว่าเป็นการสร้างนวัตกรรมใหม่อย่างหนึ่ง

THAWANRAT THONGPAN : PROTOTYPING OF FLIGHT SIMULATOR
MODULE. THESIS ADVISOR : ASSOC. PROF. FLT. LT. KONTORN
CHAMNIPRASART, Ph.D., 76 PP.

FLIGHT SIMULATOR PLATFORM/MOTION 3 DOF/SERVO MOTOR
CONTROL

The goal of this research is to build a flight simulator prototype for using in aeronautical engineering class of Suranaree University of Technology (SUT). The flight simulator prototype including cockpit of training aircraft, image by on-the-shelf program is connected to the computer with control stick for sense the real feeling of flight. The flight instruments are also included. For getting the real feeling of flight, this prototype can move in 3 axis including roll, pitch and heave by using three servo motor for controlling the platform. Cockpit image will show in 3 multiple screens, two of which will show the look forward view, two others show the left and right views, and the last one show the instruments panel which also touch screen monitor for adjust the flight instruments. Microsoft Flight Simulator (FSX) has appropriate properties, because it can display many of views and can connect to the motion signal generator to control the servo motors for platform moving following the maneuver of the real flight.

School of Mechanical Engineering

Student's Signature _____

Academic Year 2014

Advisor's Signature _____

กิตติกรรมประกาศ

วิทยานิพนธ์ฉบับนี้สำเร็จลุล่วงด้วยดี ทั้งนี้ผู้วิจัยขอขอบพระคุณบุคคลและหน่วยงานต่าง ๆ ที่ได้ให้กำปรึกษา ชี้แนะแนวทาง และให้ความช่วยเหลืออย่างสิ่งเสมอมา ดังนี้

กองทุนนวัตกรรมและสิ่งประดิษฐ์สมเด็จพระเทพรัตนราชสุดาฯ สยามบรมราชกุมารี ที่ได้มอบเงินทุนสนับสนุนในการทำโครงการวิจัย

มหาวิทยาลัยเทคโนโลยีสุรนารี รวมถึงบุคลากรประจำศูนย์เครื่องมือวิทยาศาสตร์และเทคโนโลยี ที่ได้ให้ความช่วยเหลือในการใช้อุปกรณ์ และเครื่องมือต่าง ๆ ในการทำวิจัยนี้

รองศาสตราจารย์ เรืองอักษะเอก ดร.กนต์ธ ชำนิประสาสน์ และ อารย์ ดร.ช.โลธร ธรรมแท้ อาจารย์ที่ปรึกษาวิทยานิพนธ์ที่ได้ถ่ายทอดความรู้ อบรมสั่งสอน ให้กำปรึกษา ชี้แนะข้อมูลต่าง ๆ ที่เป็นประโยชน์ในการทำโครงการวิจัย และแนวทางการแก้ปัญหาต่าง ๆ ด้วยความเมตตากรุณาเสมอมา

อาจารย์ ดร.ธีทัต คลวิชัย หัวหน้าสาขาวิชาบริหารเครื่องกล และคณาจารย์ทุกท่าน ที่ประสิทธิ์ประสาทวิชาความรู้ด้วยความเมตตากรุณา

คุณอกลักษณ์ หล่อนกลาง ผู้ร่วมในโครงการวิจัยนี้ ที่เคยให้ความช่วยเหลือ แนะนำแนวทาง แก้ปัญหาและให้ข้อมูลในการทำโครงการวิจัยสำเร็จลุล่วงด้วยดี

อาจารย์จิตติมา วรากุล และเพื่อนบ้านที่ศึกษาทุกท่าน ที่เคยช่วยเหลือและเป็นกำลังใจให้เสมอมา

ท้ายนี้ ผู้วิจัยขอกราบขอบพระคุณบิดา มารดา ที่ให้การอุปการะอบรมเลี้ยงดู ส่งเสริมค่านิยม การศึกษา ให้การสนับสนุนและเป็นกำลังใจในการดำเนินงานวิจัยในครั้งนี้จนประสบความสำเร็จ

ธวัตรัตน์ ทองปัน

สารบัญ

หน้า

บทคัดย่อ (ภาษาไทย).....	ก
บทคัดย่อ (ภาษาอังกฤษ).....	ข
กิตติกรรมประกาศ.....	ค
สารบัญ	ง
สารบัญตาราง.....	น
สารบัญรูป.....	ช
บทที่	
1 บทนำ.....	1
1.1 ความเป็นมาและความสำคัญของปั้ญหา	1
1.2 วัตถุประสงค์การวิจัย	3
1.3 ขอบเขตการวิจัย	4
1.4 สถานที่ทำงานวิจัย.....	4
1.5 ประโยชน์ที่คาดว่าจะได้รับ	4
2 ปริทรรศน์วรรณกรรมและทฤษฎีที่เกี่ยวข้อง	5
2.1 กล่าวนำ	5
2.2 UDP Protocol.....	6
2.3 ไมโครคอนโทรลเลอร์ (Microcontrollor)	7
3 วิธีการดำเนินการวิจัย	11
3.1 กล่าวนำ	11
3.2 โปรแกรมจำลองการบิน	11
3.3 การออกแบบแพ่นเคลื่อนไหว (Motion Platform)	14
3.4 อัลกอริธึมสำหรับประมวลผลเพื่อเชื่อมต่อข้อมูลระหว่างโปรแกรมกับแพ่นเคลื่อนไหว	23
3.5 การตรวจสอบความถูกต้อง	31
4 ผลการทดลอง.....	34
4.1 การศึกษาความสามารถของโปรแกรมตามหัวข้อที่ต้องการ	34

สารบัญ (ต่อ)

หน้า

4.2	การออกแบบและขนาดของแผ่นเคลื่อนไหว (Dimension of Platform)	35
4.3	การทดลองเบร์ยนวัดการเคลื่อนที่ของเซอร์โวมอเตอร์ทั้งสามชุด.....	36
4.4	การทดลองความถูกต้องของระบบ.....	43
5	สรุปผลและข้อเสนอแนะ	54
5.1	สรุปงานวิจัย	54
5.2	ข้อเสนอแนะ	54
รายการอ้างอิง		54
ภาคผนวก		
ภาคผนวก ก	รายละเอียดโปรแกรมจำลองการบิน	56
ภาคผนวก ข	รายละเอียดโปรแกรม Lab VIEW	56
ภาคผนวก ค	บทความทางวิชาการที่ได้รับการตีพิมพ์เผยแพร่.....	70
ประวัติผู้เขียน.....		76

มหาวิทยาลัยเทคโนโลยีสุรนารี

สารบัญตาราง

ตารางที่	หน้า
3.1 ความต้องการขั้นต่ำของโปรแกรม Microsoft Flight Simulator X	12
3.2 ความต้องการขั้นต่ำของโปรแกรม X-Plane	14
4.1 ความสามารถของโปรแกรมจำลองการบินที่ทำการศึกษา.....	34
4.2 ค่าพารามิเตอร์ที่ใช้ในการออกแบบ.....	35
4.3 ผลการตอบสนองของเซอร์โวมอเตอร์ตัวที่ 1	36
4.4 ค่าความแม่นยำของการสั่งงานเซอร์โวมอเตอร์ตัวที่ 1.....	37
4.5 ผลการตอบสนองของเซอร์โวมอเตอร์ตัวที่ 2	38
4.6 ค่าความแม่นยำของการสั่งงานเซอร์โวมอเตอร์ตัวที่ 2.....	40
4.7 ผลการตอบสนองของเซอร์โวมอเตอร์ตัวที่ 3	41
4.8 ค่าความแม่นยำของการสั่งงานเซอร์โvoมอเตอร์ตัวที่ 3.....	42
4.9 ผลการตอบสนองและค่าความคลาดเคลื่อนของเซอร์โวมอเตอร์ ทั้งสาม	43

สารบัญ

รูปที่	หน้า
3.1 โปรแกรมจำลองการบิน (a.) Microsoft Flight Simulator X (FSX) (b.) X-Plane.....	12
3.2 เครื่องจำลอง (a.) การขับเครื่องยนต์ (b.) ฝึกหัดบิน	15
3.3 เครื่องเล่นในสวนสนุก	15
3.4 ระบบแกนอ้างอิง (L = ระยะห่างของ Servo).....	16
3.5 การหมุนรอบแกน X	17
3.6 ความสัมพันธ์ระหว่างมุมของเพลา V_a และ มุมของแท่นเคลื่อนไหว v	21
3.7 TowerPro RC Servo Motor รุ่น MG995	22
3.8 การตั้งค่าการส่งข้อมูลจากโปรแกรมจำลองการบินของเครื่อง SERVER.....	23
3.9 การตั้งค่าการส่งข้อมูลจากโปรแกรมจำลองการบินของเครื่อง CLIENT.....	24
3.10 พังก์ชัน UDP Open	24
3.11 พังก์ชัน UDP Read.....	25
3.12 พังก์ชัน UDP Close	26
3.13 โปรแกรม VI Package Manager	27
3.14 ตัวอย่าง โค๊ด (Firmware) โปรแกรม Arduino	28
3.15 พังก์ชัน Init [LabVIEW Interface for Arduino.lvlib:Init.vi].....	28
3.16 พังก์ชัน Set Number of Servo.....	29
3.17 พังก์ชัน Configure Servo	30
3.18 พังก์ชัน Servo Write Angle.....	30
3.19 พังก์ชัน Close.....	31
3.20 Flowchart การตรวจสอบความถูกต้องของเซอร์ไวน์อโตร์เต็มว่า.....	32
3.21 บอร์ดไมโครคอนโทรลเลอร์ MultiWii 2012	33
3.22 การทดสอบความถูกต้องของระบบ.....	33
4.1 เครื่องจำลองการบินต้นแบบ	35
4.2 กราฟแสดงความสัมพันธ์ระหว่างมุมที่กำหนดไปกับมุมที่ป้อนคำสั่งของเซอร์ไวน์อโตร์ 1	37

สารบัญรูป (ต่อ)

รูปที่	หน้า
4.3 ภาพแสดงความสัมพันธ์ระหว่างมุมที่กวาดไปกับมุมที่ป้อนคำสั่งของ เชอร์โวโมเตอร์ 2	39
4.4 ภาพแสดงความสัมพันธ์ระหว่างมุมที่กวาดไปกับมุมที่ป้อนคำสั่งของ เชอร์โวโมเตอร์ 3	41
4.5 ภาพแสดงผลการตอบสนองฟังก์ชันลาดเอียงของการเคลื่อนที่รอบแกน ตามขาวในทิศทางบวก	44
4.6 ภาพแสดงผลการตอบสนองฟังก์ชันลาดเอียงของการเคลื่อนที่รอบแกน ตามขาวในทิศทางลบ	45
4.7 ภาพแสดงผลการตอบสนองฟังก์ชันลาดเอียงของการเคลื่อนที่รอบแกน ตามขาวในทิศทางบวก	46
4.8 ภาพแสดงผลการตอบสนองฟังก์ชันลาดเอียงของการเคลื่อนที่รอบแกน ตามขาวในทิศทางลบ	47
4.9 ภาพแสดงผลการตอบสนองฟังก์ชันขั้นบันไดของการเคลื่อนที่รอบแกน ตามขาวในทิศทางบวก	49
4.10 ภาพแสดงผลการตอบสนองฟังก์ชันขั้นบันไดของการเคลื่อนที่รอบแกน ตามขาวในทิศทางลบ	50
4.11 ภาพแสดงผลการตอบสนองฟังก์ชันขั้นบันไดของการเคลื่อนที่รอบแกน ตามขาวในทิศทางบวก	51
4.12 ภาพแสดงผลการตอบสนองฟังก์ชันขั้นบันไดของการเคลื่อนที่รอบแกน ตามขาวในทิศทางลบ	52
ก.1 ใหมดการบินเดี่ยวสำหรับผู้ที่ต้องการชมทิวทัศน์สำหรับโปรแกรม Flight Simulator X	57
ก.2 หน้าต่างการเลือกอากาศยานที่ต้องการสำหรับโปรแกรม Flight Simulator X	57
ก.3 หน้าต่างกำหนดแผนการบินที่เราต้องการสำหรับโปรแกรม Flight Simulator X	58
ก.4 หน้าต่างสภาพอากาศจริงของพื้นที่ที่ทำการบินสำหรับโปรแกรม Flight Simulator X	58
ก.5 หน้าต่างกำหนดเชื้อเพลิงในการใช้งานและนำหนักการบรรทุก ซึ่งมีผลต่อระยะเวลาและการทรงตัวสำหรับโปรแกรม Flight Simulator X	59

สารบัญรูป (ต่อ)

รูปที่	หน้า
ก.6 มุ่มนองห้องนักบิน ผู้ใช้สามารถควบคุมแพงควบคุมได้ทุกอย่างสำหรับ.....	
โปรแกรม Flight Simulator X.....	59
ก.7 มุ่มนองภายนอกอากาศยานสำหรับโปรแกรม Flight Simulator X.....	60
ก.8 ระบบหลายหน้าต่างทำให้เราสามารถเห็นสิ่งต่างๆ ในเวลาเดียวกันสำหรับ.....	
โปรแกรม Flight Simulator X.....	60
ก.9 ระบบนำร่องอากาศยาน (GPS)สำหรับโปรแกรม Flight Simulator X	61
ก.10 หมวดการเรียนรู้เกี่ยวกับเครื่องบินสำหรับโปรแกรม Flight Simulator X.....	61
ก.11 โหมดการบินเดี่ยวสำหรับผู้ที่ต้องการชมทิวทัศน์สำหรับโปรแกรม X-Plane	62
ก.12 หน้าต่างการเลือกอากาศยานที่ต้องการสำหรับโปรแกรม X-Plane	62
ก.13 หน้าต่างกำหนดแผนการบินที่เราต้องการสำหรับโปรแกรม X-Plane.....	63
ก.14 หน้าต่างสภาพอากาศ ณ เวลาจังของพื้นที่ที่ทำการบินสำหรับโปรแกรม.....	
X-Plane	63
ก.15 มุ่มนองห้องนักบิน ผู้ใช้สามารถควบคุมแพงควบคุมได้ทุกอย่างสำหรับ.....	
โปรแกรม X-Plane	64
ก.16 มุ่มนองภายนอกอากาศยานสำหรับโปรแกรม X-Plane	64
ก.17 ระบบนำร่องอากาศยาน (GPS) สำหรับโปรแกรม X-Plane	65
ข.1 หน้าจอแสดงผลของโปรแกรมควบคุมการเคลื่อนที่ของ Platform.....	67
ข.2 Block Diagram โปรแกรมการเคลื่อนที่ของ Platform 1	68
ข.3 Block Diagram โปรแกรมการเคลื่อนที่ของ Platform 2	69

บทที่ 1

บทนำ

1.1 ความเป็นมาและความสำคัญของปัจจุบัน

ผู้วิจัยได้เลือกเห็นถึงความสำคัญของอุตสาหกรรมการบินในประเทศไทย มาเป็นระยะเวลา หนึ่งเดือน นับตั้งแต่การเปิดท่าอากาศยานสุวรรณภูมิขึ้นในปี พ.ศ. 2549 ทั้งภาครัฐและหน่วยงานเอกชน รัฐวิสาหกิจที่เกี่ยวข้อง ได้มีความพยายามที่จะให้ประเทศไทยเป็นศูนย์กลางด้านอุตสาหกรรม การบินและอากาศยานในภูมิภาคเอเชียตะวันออกเฉียงใต้ มีขีดความสามารถในการบำรุงรักษาและ สามารถซ่อมอากาศยานเชิงพาณิช ได้ในทุกขนาด อย่างไรก็ตามการที่ประเทศไทยจะเป็นศูนย์กลาง ทางด้านการบินได้ นอกเหนือจากการที่มีเครื่องมือซ่อมบำรุงที่ครบครัน มีอุตสาหกรรมที่รองรับ การบำรุงรักษาอากาศยาน สิ่งที่จำเป็นที่สุดคือจะต้องมีบุคลากรที่มีความรู้ความสามารถ มีความ เชี่ยวชาญในการทำงานของอากาศยานและมีความรู้ความสามารถที่จะสามารถซ่อมบำรุงอากาศยานได้ อย่างมีประสิทธิภาพ

โอกาสของประเทศไทยในด้านอุตสาหกรรมการบิน ได้ปรับเปลี่ยนไปในทิศทางที่น่าสนใจอีก ครั้งหนึ่ง เมื่อการทดลองของประชาคมเศรษฐกิจอาเซียน (AEC) ได้ทดลองกันว่าเมื่อมีการรวม เศรษฐกิจของเหล่าสมาชิกแล้ว ประเทศไทยจะเป็นผู้รับผิดชอบในการเป็นศูนย์กลางด้านอากาศยาน และการบินของภูมิภาค ในปี พ.ศ. 2558 ทำให้ในระยะเวลาไม่ถึง 3 ปีนับจากวันนี้ ประเทศไทยต้อง รับเตรียมการด้านบุคลากรในด้านการอากาศยานและการบิน เพื่อเตรียมรับอุตสาหกรรมการบิน ของทุกประเทศในภูมิภาค รวมถึงการขยายตัวเพื่อรับรองรับเศรษฐกิจของโลกที่กำลังเจริญเติบโตอย่าง รวดเร็วในย่านภูมิภาคเอเชีย ไม่ว่าจะเป็น ประเทศไทย อินเดีย และ เกาหลีใต้เป็นต้น เพื่อรับรองรับการ เจริญเติบโตของอุตสาหกรรมการบินดังกล่าว รัฐบาลจึงมีแนวทางที่จะพัฒนานิคมอุตสาหกรรม ด้านอากาศยานและการบินขึ้นในประเทศไทย และมีแนวโน้มความเป็นไปได้สูงมากที่จะสร้างนิคม อุตสาหกรรมนี้ขึ้นในจังหวัดนครราชสีมา ซึ่งเป็นจังหวัดที่ตั้งของมหาวิทยาลัยเทคโนโลยีสุรนารี เนื่องจากปัจจุบันมีسانามบินพลเรือนที่ยังใช้งานไม่เต็มประสิทธิภาพ มีที่ตั้งอยู่ห่างจากชุมชนใน ระยะที่เหมาะสม ที่คุณภาพมีราคาไม่สูงนัก และมีระบบคมนาคมทางบกที่สะดวก อยู่ใกล้ทั้งถนนสาย หลักและทางรถไฟ ดังนั้นการสร้างนิคมอุตสาหกรรมจะมีผลกระทบน้อยทั้งในแง่บวกและลบ ลักษณะเด่นของนิคมฯ คือการสนับสนุนด้านวิชาการและวิจัย ตลอดจนการลงทุนในโครงสร้างพื้นฐาน เช่น ถนน สะพาน และสถานีไฟฟ้า ที่จะช่วยให้เกิดการเติบโตทางเศรษฐกิจอย่างยั่งยืน

จึงถือเป็นโอกาสที่มีมหาวิทยาลัยเทคโนโลยีสุรนารี ซึ่งมีวัตถุประสงค์หลักในการผลิต บัณฑิตด้านวิทยาศาสตร์และเทคโนโลยี ให้รับผลจากการสร้างนิคมอุตสาหกรรมด้าน

อาชีวศึกษาและการบินขึ้นในจังหวัดนราธิวาส ไม่เพียงแต่วิศวกรอาชีวศึกษาเท่านั้น แต่วิศวกรในสาขาวิชาอื่น เช่น วัสดุศาสตร์ ไฟฟ้าอิเล็กทรอนิกส์ ไฟฟ้ากำลัง ไฟฟ้าสื่อสาร วิศวกรรมเครื่องกล วิศวกรรมการผลิต วิศวกรรมอุตสาหการ วิศวกรรมคอมพิวเตอร์ และอื่นๆ ล้วนแต่จะได้ประโยชน์จากการขยายตัวนี้ทั้งสิ้น เพราะในอาชีวศึกษาแต่ละสาขา ต้องการใช้วิศวกร หลากหลายประเภท ใน การซ่อมบำรุง สร้างชิ้นส่วนของอาชีวศึกษาและระบบการบินของอาชีวศึกษานั้น ดังนั้นในฐานะที่ เราเป็นมหาวิทยาลัยในจังหวัดนราธิวาส จึงต้องมองหาแนวที่ที่จะสร้างองค์ความรู้ให้กับคณาจารย์ บุคลากร นักวิจัย เพื่อที่จะสามารถถ่ายทอดความรู้นี้ให้กับนักศึกษาวิศวกรรมศาสตร์ ทุกสาขาวิชา

การที่จะทำให้นักศึกษามีความเข้าใจในการซ่อมบำรุงระบบต่างๆ ของอาชีวศึกษา ขึ้นแรก จะต้องมีการสอนให้ความรู้เกี่ยวกับการทำงานของอาชีวศึกษาและส่วนประกอบของอาชีวศึกษา ก่อนที่จะลงรายละเอียดของระบบต่างๆ ดังนั้นการทำงานของอาชีวศึกษา และการบินของอาชีวศึกษาเป็นพื้นฐานของความรู้ในด้านนี้ที่นักศึกษาจะต้องมีความเข้าใจอย่างละเอียด ก่อนที่จะศึกษาในรายละเอียดด้านต่างๆ ต่อไป แต่การที่จะให้นักเรียนได้ทำการทดสอบบังคับอาชีวศึกษาจริงนั้น เป็นเรื่องที่เสียงต่ออุบัติเหตุและสิ่นปลดปล่อยบุคคลเป็นจำนวนมาก ดังนั้นสถานศึกษาที่ทำการสอน ด้านการบินและอาชีวศึกษาต่างๆ จึงหลีกเลี่ยงการบินจริงแต่เปลี่ยนมาใช้เครื่องจำลองการบินในการฝึกศึกษาในส่วนของพื้นฐานความรู้ให้กับนักศึกษา ทำให้การที่มหาวิทยาลัยเทคโนโลยีสุรนารี จะต้องมีเครื่องฝึกบินจำลองมีความจำเป็นอย่างมากในการสร้างบุคลากรที่มีความรู้ความสามารถ ในด้านนี้

อย่างไรก็ตามเครื่องฝึกบินจำลองที่มีอยู่ในประเทศไทยนี้ ไม่ได้ผลิตโดยคนไทย เป็นการนำเข้าและใช้เทคโนโลยีจากต่างประเทศทั้งสิ้น แม้ว่าในปัจจุบันนี้เทคโนโลยีที่ใช้กับเครื่องฝึกบิน จำลอง ไม่ใช่เทคโนโลยีที่ใหม่เมื่อเทียบกับการที่เราเริ่มมีเครื่องฝึกบินจำลองครั้งแรกในประเทศไทย แม้กระนั้นเครื่องฝึกบินจำลองที่ต้องสั่งซื้อจากต่างประเทศ กลับมีราคาสูงแม้ว่าจะเป็นเครื่องฝึกบินแบบเรียบง่ายและเป็นขั้นพื้นฐานก็ตามทั้งนี้อาจเป็นเพราะการที่มีระบบการฝึกบินจำลอง (Flight Simulator) อุปกรณ์ระบบ แต่การที่จะต้องซื้อต่อระบบการทำงานของโปรแกรมเข้ากับอาชีวศึกษาจำลอง (Aircraft Simulator) อาจต้องการเทคโนโลยีที่เฉพาะและเป็นความลับทางการค้า ของแต่ละบริษัท อีกทั้งการที่จะได้ระบบห้องฝึกบินเสมือนจริง (virtual Cockpit) มีความต้องการผู้พัฒนาระบบคอมพิวเตอร์กราฟฟิกส์ที่ทันสมัยก็เป็นได้ ผู้วิจัย จึงมีแนวความคิดที่จะสร้างเครื่องฝึกบินจำลองขึ้น เพื่อสร้างองค์ความรู้ให้กับคณาจารย์ นักวิจัยและบุคลากรของสาขาวิชา สร้างทักษะ ในด้านการสร้างเครื่องจำลองการบิน สร้างองค์ความรู้ที่จะนำเทคโนโลยีต่างๆ มาประกอบใช้ร่วมกัน พร้อมทั้งนำเทคโนโลยีใหม่ๆ ที่ใช้กับอาชีวศึกษาในปัจจุบัน มาบรรจุเข้าในเครื่องฝึกบินจำลองนี้ เช่น แพลตฟอร์มที่สามารถสั่นสะเทือนได้ตามความเร็วของเครื่องบิน ระบบควบคุมการบินด้วยไฟฟ้า (Fly by Wire) ระบบสั่งผ่านหน้าจอแบบสัมผัส (Touch Screen) เป็นต้น ซึ่งแม้ว่าเครื่องบินรุ่นใหม่ๆ จะใช้ระบบเหล่านี้อย่าง

กว้างขวาง แต่ในเครื่องฝึกบินจำลองยังไม่ได้มีการนำมาใช้งานอย่างแพร่หลาย ซึ่งจะมีประโยชน์ต่อวิจัยได้เดินทางเข้าศึกษาดูงานเครื่องจำลองการบินที่มีอยู่ในประเทศไทย หลายสถานที่ด้วยกัน ทั้งของบริษัทการบินไทยจำกัด (มหาชน) สถานบันการบินพลเรือน โรงเรียนนายเรืออาชีวศึกษา ซึ่งแต่ละหน่วยงานดังกล่าวมีการกิจในการผลิตบุคคลากรที่แตกต่างกัน จึงใช้เครื่องฝึกบินจำลองที่แตกต่างกัน ซึ่งจะมีประโยชน์ต่อวิจัยได้ศึกษาความเหมาะสมเบื้องต้นว่ามหาวิทยาลัยเทคโนโลยีสุรนารี ควรใช้เครื่องฝึกบินจำลองแบบใดเพื่อจะได้เหมาะสมกับการพัฒนาการเรียนการสอน และงานวิจัยของมหาวิทยาลัยเทคโนโลยีสุรนารี และเหมาะสมกับการรองรับการขยายตัวของอุตสาหกรรมการบินเข้ามาในเขตจังหวัดครรภ์สีมาต่อไป

การสร้างเครื่องฝึกบินจำลองนี้จึงนับเป็นนวัตกรรมใหม่ของการเรียนการสอนด้านอาชีวศึกษา เพราะจะเป็นการใช้เครื่องมือที่ผลิตขึ้นใช้งานเองในประเทศไทย โดยคณาจารย์และนักวิจัยของมหาวิทยาลัยเทคโนโลยีสุรนารีเอง ดังนั้นเมื่อได้เครื่องต้นแบบแล้ว ประโภชณ์ที่ได้ไม่เพียงแต่การที่มหาวิทยาลัยสามารถสร้างเครื่องฝึกบินจำลองต้นแบบได้เอง ซึ่งเป็นการประหยัดงบประมาณของชาติเท่านั้น ถึงที่สำคัญกว่านั้นคือการที่คณาจารย์และบุคคลากรได้ทักษะและองค์ความรู้ที่จะสามารถถ่ายทอดให้กับนักศึกษาของมหาวิทยาลัย และบุคคลที่มีความต้องการที่จะเรียนรู้เพื่อเข้าสู่ภาคอุตสาหกรรมการบินและอาชีวศึกษา เพื่อร่วมกันสร้างความเข้มแข็งในด้านนี้ให้กับประเทศไทยได้ต่อไป นอกจากนี้จากการที่สามารถสร้างเครื่องต้นแบบได้เอง จะสามารถทำให้มหาวิทยาลัยสามารถที่จะพัฒนาต่อยอดความรู้ด้านนี้ให้มีความสมมูลย์เพิ่มความทันสมัยและสามารถผลิตเพื่อการค้าทั่วโลกเพื่อรับรองรับการขยายตัวของความต้องการบุคคลากรด้านการบินและอาชีวศึกษาที่จะเกิดขึ้นในอนาคตอันใกล้นี้ต่อไปด้วย

1.2 วัตถุประสงค์การวิจัย

สำหรับงานวิจัยนี้ มีวัตถุประสงค์ของงานวิจัยในด้านการออกแบบและพัฒนาอัลกอริทึมในการเชื่อมความสัมพันธ์ระหว่างซอฟต์แวร์และฮาร์ดแวร์ ซึ่งวัตถุประสงค์หลักของงานวิจัยมีดังต่อไปนี้

1.2.1 พัฒนาเครื่องฝึกบินจำลองต้นแบบขนาดเล็ก เพื่อหารายละเอียดที่สำคัญในการสร้างเครื่องฝึกบินจำลอง

1.2.2 สร้างนวัตกรรมในการพัฒนาเครื่องฝึกบินจำลองให้มีความเหมาะสมกับการเรียนการสอนของนักศึกษาวิศวกรรมอาชีวศึกษา ที่มีราคาถูกกว่าการสั่งเข้าจากต่างประเทศ

1.2.3 เชื่อมโยงเทคโนโลยีด้านต่าง ๆ ที่เป็นองค์ประกอบของเครื่องฝึกบินจำลอง ให้สามารถทำงานร่วมกันได้อย่างสอดคล้อง เหมาะสมและมีประสิทธิภาพ

1.3 ขอบเขตการวิจัย

สำหรับงานวิจัยนี้ จะทำการสร้างต้นแบบเครื่องจำลองการบินโดยมีชุด Motion ใน 3 ทิศทาง ส่วนชุด Motion ใน 6 ทิศทาง จะมีค่าใช้จ่ายสูงเกินไป จึงทำการกำหนดขอบเขตโครงการดังนี้

1.3.1 การแสดงผลหลักใช้จอ LCD แสดงผล 3 จอแสดงผล

1.3.2 เครื่องมือวัดและแสดงผลในห้องนักบินใช้ระบบคอมพิวเตอร์ที่แสดงภาพบนจอ LCD และชุดเครื่องมือวัดประกอบการบิน

1.3.3 ติดตั้งระบบ Motion เพื่อจำลองการยกโครงสร้างห้องนักบิน ใน 3 ทิศทาง 1. หมุนรอบแกนตามยาว 2.หมุนรอบแกนตามขวาง 3.เคลื่อนที่ตามแกนแนวตั้ง (Roll, Pitch, Heave)

1.3.4 ใช้อุปกรณ์ต่าง ๆ ในห้องนักบินแบบสามเรี้ยวรูปที่มีขายในห้องตลาดโดยอาจมีการดัดแปลงรูปลักษณ์ภายนอกให้สมจริง

1.4 สถานที่ทำงานวิจัย

มหาวิทยาลัยเทคโนโลยีสุรนารี

1.5 ประโยชน์ที่คาดว่าจะได้รับ

ประโยชน์ที่ทางผู้วิจัยและทางบริษัทคาดว่าจะได้จากการวิจัยนี้ มีดังที่สำคัญดังต่อไปนี้

1. ได้ต้นแบบเครื่องฝึกบินจำลองที่นักศึกษาวิศวกรรมศาสตร์ สามารถใช้ในการฝึกทักษะและความรู้พื้นฐานเกี่ยวกับการทำงานของอาชีวศึกษา
2. สามารถพัฒนาสู่การค้าให้กับหน่วยงานที่มีวัตถุประสงค์ในการสร้างและพัฒนาบุคลากรด้านอาชีวศึกษาและการบิน
4. ได้แนวทางการพัฒนาเครื่องจักรเพื่อยกระดับจากเครื่องต้นแบบระดับห้องปฏิบัติการไปสู่ระบบที่สามารถใช้งานได้จริงในภาคอุตสาหกรรม

บทที่ 2

ปริทรรศน์วรรณกรรมและทฤษฎีเกี่ยวข้อง

2.1 กล่าวนำ

ในส่วนแรกนี้เป็นส่วนที่ผู้วิจัยได้ทำการค้นคว้าเอกสาร รายงานการวิจัย วิทยานิพนธ์ต่างๆ ที่เกี่ยวข้องกับงานวิจัยที่ได้ดำเนินการอยู่ และจะพบว่ามีบุคลากรและเอกสารต่างๆ ที่เกี่ยวข้องเป็นจำนวนมาก ดังนั้นผู้วิจัยจึงเลือกนำเสนอผลงานวิจัยที่เกี่ยวข้องหรือสอดคล้องกับงานวิจัยที่ได้ดำเนินอยู่นี้มาเสนอเท่านั้น

กฤษฎา จันทร์แดง .(2551) ได้ศึกษาและวิเคราะห์การจำลองผลศาสตร์ของพาหนะจริงกับพาหนะจริงกับพาหนะจริงย่อส่วน ซึ่งเกี่ยวกับการพัฒนา Yanen ที่ย่อส่วนให้มีพฤติกรรมทางผลศาสตร์สมมูลกับพาหนะจริง Yanen ที่ย่อส่วนนี้ถูกควบคุมด้วยมนุษย์ผ่านเครื่องจำลองเสมือนจริงสามมิติ ส่วนที่สำคัญคือ การออกแบบตัวกรองเสมือนจริงสามมิติให้เสมือนจริงมากที่สุด เครื่องจำลองในงานวิจัยนี้ สามารถเคลื่อนที่ในสามแนวแกน คือ หมุนรอบแกน x หมุนรอบแกน y และเคลื่อนที่ขึ้นลงในแนวตั้ง ตัวแปรผลศาสตร์ที่สำคัญของyanan พาหนะ เช่น ความเร่งเชิงเส้น ความเร็ว เชิงมุม มนุษย์ และ ความเร็วล้อ เป็นต้น ถูกวัดด้วยอุปกรณ์ตรวจวัดและส่งไปยังระบบควบคุมหลัก ตามกระบวนการในตัวกรองเสมือนจริง ซึ่งถูกออกแบบมาบนพื้นฐานของระบบการรับรู้ของมนุษย์

Advani, S. K.; Nahon, M. A.; Haeck, N.; Albronda, J.(1999) ได้เสนอโปรแกรมการเพิ่มประสิทธิภาพในการกำหนดรูปแบบที่เหมาะสมของระบบการเคลื่อนไหวในห้องแกน ซึ่งจะสามารถคืนหายูป่างของระบบการเคลื่อนและตำแหน่งของอุปกรณ์กระตุ้น อิกหั้งยังสามารถให้ผู้ออกแบบปรับแก้ได้ตามพื้นที่การทำงานที่ต้องการ โดยผ่านการจำลอง และรับประทานว่าข้อของอุปกรณ์กระตุ้นจะไม่รบกวนทางก่อ nokjanin ยังได้เสนอตัวอย่างการประยุกต์ใช้ห้าพื้นที่การทำงานทั่วๆ ไป และพื้นที่การทำงานของการจำลองตามต้องการของเครื่องบินบนส่วนขนาดใหญ่

Amery, J. G.; Streid, H.(1999) ได้เสนอแนวคิด เกี่ยวกับข้อกำหนดทางเทคนิค สำหรับระบบภาพ Out The Window (OTW) ข้อกำหนดสำหรับความแตกต่างของการฝึกบิน และ/หรือ การจำลองจะถูกระบุขึ้น การแสดงผลของการจำลองใหม่นี้สามารถปรับปรุงได้อย่างมีประสิทธิภาพ และคุ้มค่า

Baarspul, M.; Hosman, R. J.; Van der Vaart, J. C.(1986) ได้เสนอแนวคิดโดยเน้นพื้นที่ที่มีปัญหาในการเคลื่อนไหวของการจำลองการบิน โดยเริ่มต้นจากการจำลองการเคลื่อนไหวที่เป็นไป

ตามธรรมชาติ ซึ่งในทางวิศวกรรมข้อผิดพลาดที่เกิดจากการจำลองการเลื่อนไหวจะต้องได้รับการยอมรับ กรอบคุณภาพนั้นจึงต้องมีตัวบ่งชี้ถึงการระบุกวนที่จะเกิดขึ้น ตัวบ่งชี้ถึงความเชื่อมั่น ตัวบ่งชี้ถึงความผิดพลาดที่จะเกิดขึ้นตั้งแต่เริ่มการทำงาน ตัวบ่งชี้ช่วงระหว่างและตั้งบ่งชี้อื่น ๆ ยกตัวอย่างตัวบ่งชี้ข้อผิดพลาดช่วงระหว่าง การวิจัยการเคลื่อนไหวที่พิจารณาจากผู้ใช้ที่มี habity เดลฟ์ ที่สำคัญก็คือการกำหนดตัวชี้นำที่จะเคลื่อนไหวอย่างเหมาะสมและความล่าช้าของการจำลองที่เกิดจากการเชื่อมต่อของเครื่องวัดที่ผู้ใช้กำหนด

Baughn, James; Wolf, Jason (1998) "ได้อธิบายวิธีการจำลองการบินด้วย PC-base ซึ่งสามารถสอนประสิทธิภาพของอากาศยานและการทดสอบการบินสำหรับนักศึกษาวิศวกรรมการบิน ได้โดยใช้โปรแกรม Jeppesen FS200 PCA TD และ โปรแกรม Microsoft Flight Simulator 98 ตัวอย่างของนักศึกษาที่ทำการทดสอบโปรแกรมเหล่านี้ ในการบินรักษาระดับบินได้ระดับ และการบินพาดแผล ข้อมูลที่ได้จากการจำลองสภาพการณ์ดังที่กล่าวมีความสอดคล้องกับทฤษฎี"

สุทธิวัฒน์ ประชานะชัย และ สุวัฒน์ กุลธนปรีดา (2548) นำเสนอการจำลองการทำงานในคอมพิวเตอร์ของแผ่นเคลื่อนไหว 6 องศาอิสระรูปแบบแบนกล่องสร้างขนาดที่ เรียกว่า Stewart Platform ในงานวิจัยโปรแกรมคอมพิวเตอร์จำลองการทำงาน ประกอบด้วยส่วนต่าง ๆ คือ ส่วน Washout Filter, สมการจ蹲ค่าสตรีท์พัฒนา, ตัวควบคุม, ระบบไฮดรอลิก และสมการพลวัตรของแผ่นเคลื่อนไหว ผลลัพธ์การจำลองเพื่อศึกษาพฤติกรรมทางพลศาสตร์ของแผ่นเคลื่อนไหว โดยรวมเป็นที่น่าพอใจ และสามารถนำไปใช้ประโยชน์สำหรับช่วยการออกแบบเครื่องจำลองจริง เช่น เครื่องจำลองการขับรถยนต์ และเครื่องฝึกหัดนักบิน เป็นต้น โดยเฉพาะช่วยในการกำหนดขนาดชี้นำส่วนของแผ่นเคลื่อนไหว การเลือกอุปกรณ์ไฮดรอลิกที่เหมาะสม และการออกแบบตัวควบคุม

2.2 UDP Protocol

User Datagram Protocol หรือ UDP ที่เป็นส่วนหนึ่งของชุดโปรโตคอลอินเทอร์เน็ตใช้ที่โปรแกรมทำงานบนคอมพิวเตอร์เครื่องอื่นบนเครือข่ายสามารถส่งข้อความสั้นที่เรียกว่า datagram มาอีกเครื่องหนึ่ง UDP สามารถใช้ในเครือข่ายที่ TCP (Transmission Control Protocol) จะดำเนินการแบบดั้งเดิม แต่ไม่เหมือน TCP ก็ไม่ได้รับประกันความน่าเชื่อถือหรือการเรียงลำดับที่ถูกต้องของข้อมูล datagrams อาจหายไปได้โดยไม่ต้องแจ้งให้ทราบล่วงหน้าหรือเข้ามาในลำดับที่แตกต่างจากที่หนึ่งที่พากเบากลุกส่งไป โปรโตคอลที่เป็นสูตรโดย David P. Reed ในปี 1980 และกำหนดไว้อย่างเป็นทางการใน RFC 768

UDP ทำให้การใช้รูปแบบการสื่อสารที่เรียบง่ายโดยไม่ต้องตรวจสอบการส่งสำหรับการรับประกันโดยนัยความน่าเชื่อถือลำดับหรือค่าตัวสมบูรณ์ แม้ว่าปัจจัยเหล่านี้อาจดูเหมือนจะแนะนำ

UDP ที่ไม่ได้เป็นโปรโตคอลที่มีประโยชน์ก็ยังคงพบการใช้ในพื้นที่กว้างโดยเฉพาะอย่างยิ่งที่ความเร็วเกินกว่าความน่าเชื่อถือมีความสำคัญสูงสุด UDP พิจารณาที่จะตรวจสอบข้อผิดพลาดและการแก้ไขควรจะดำเนินการในการประยุกต์ใช้การสื่อสารและไม่ได้อยู่ที่เลเยอร์เครือข่ายที่อย่างไรก็ตามหากการตรวจสอบข้อผิดพลาดและการแก้ไขมีความจำเป็นที่เลเยอร์เครือข่ายที่โปรแกรมประยุกต์สามารถใช้ประโยชน์จากการควบคุมการส่ง Protocol (TCP) หรือควบคุมการรับส่งกระแสข้อมูลไฟเบอร์ออฟฟิเบอร์ SCTP (Stream Control Transmission Protocol) ซึ่งมีสูตรเฉพาะสำหรับเหตุผลนี้ ดังแต่ UDP ไม่ได้มีค่าใช้จ่ายของการตรวจสอบว่าข้อมูลที่ได้มาถึงปลายทางเวลาที่จะถูกส่งไปทุกรัชท์ที่มันทำให้โปรโตคอลที่เร็วและมีประสิทธิภาพมากขึ้น UDP คือมักจะใช้สำหรับการใช้งานครั้งสำคัญที่มีข้อมูลขาดหายไปเป็นที่ต้องการในการเดินทางมาถึงปลายข้อมูล

UDP เป็นโปรโตคอลไร้สัญชาติซึ่งจะเป็นประโยชน์สำหรับเซิร์ฟเวอร์มีส่วนร่วมในการตอบแบบสอบถามสั้น ๆ จากจำนวนมากของลูกค้า ในขณะที่ TCP ส่วนใหญ่จะใช้สำหรับการสื่อสารระหว่างเซิร์ฟเวอร์และไคลเอนต์เดียว, UDP จะใช้สำหรับการออกอากาศแพ็คเก็ตหรือ multicasting โดยมีการส่งข้อมูลให้กับลูกค้าทั้งหมดที่อยู่ในเครือข่าย ใช้งานเครือข่ายบ่อยครั้งที่ใช้ UDP รวม : Trivial File Transfer Protocol (TFTP), Voice over IP (VoIP), IPTV, Domain Name System (DNS) เป็นต้น

UDP ตั้งแต่นิดของการขาดกลางในการควบคุมหรือหลีกเลี่ยงความแออัดเครือข่ายใด ๆ ในรูปแบบอื่น ๆ ของเครือข่ายที่ใช้กลไกการควบคุมจะต้องดำเนินการเพื่อให้แน่ใจว่าไฟล์ที่รับรื่นของ抗拒ในเครือข่าย หนึ่งในโซลูชันที่ถูกออกแบบมาเพื่อจัดการปัญหานี้เป็น DCCP หรือ Datagram Protocol การควบคุมความแออัดซึ่งมีวัตถุประสงค์ที่จะตรวจสอบและการควบคุมการจราจรติดขัดในเครือข่าย UDP รวมทั้ง

สรุป

โปรโตคอล UDP ถูกพัฒนาให้เป็นโปรโตคอลสำหรับระบบงานที่ไม่ต้องการความเชื่อถือได้ระดับสูง อาจจะกล่าวได้ว่าโปรโตคอล UDP เป็นโปรโตคอลที่ง่ายที่สุดในชุดโปรโตคอล TCP/IP ทำให้ระบบงานที่ใช้โปรโตคอล UDP มีความเร็วในการรับส่งข้อมูลสูงหมายความกับระบบงานเรียลไทม์

2.3 ไมโครคอนโทรลเลอร์ (Microcontroller)

ไมโครคอนโทรลเลอร์ คือ อุปกรณ์ที่สามารถสร้างระบบควบคุมได้ โดยอุปกรณ์นี้มีขนาดเล็ก และเป็นอุปกรณ์ประเภทสารกึ่งตัวนำที่มีการรวมเอาฟังก์ชันการทำงานต่าง ๆ ไว้ในตัวมันเอง

ซึ่งมีลักษณะคล้ายกับคอมพิวเตอร์ ซึ่งในที่นี้หมายถึงอุปกรณ์ภายในที่ประกอบด้วย หน่วยประมวลผลกลาง, พอร์ตในการเชื่อมต่อแบบต่าง ๆ

2.3.1 ส่วนประกอบทั่วไปของไมโครคอนโทรลเลอร์

1. หน่วยประมวลผลกลาง (Control Processing Unit)
2. หน่วยความจำ ซึ่งประกอบด้วย RAM (Random Access Memory) และ EEPROM / EPROM / PROM / ROM (Erasable Programmable Read Only Memory)
3. หน่วยรับ และแสดงผลข้อมูล (Input / Output) ซึ่งมีพอร์ตหลายแบบบานาน (Parallel) และอนุกรม (Serial)
4. ตัวนับเวลา (Timer)
5. หน่วยควบคุมการอินเตอร์รับ (Interrupt Controller)

ส่วนประกอบเหล่านี้เป็นเพียงส่วนประกอบพื้นฐานของไมโครคอนโทรลเลอร์ ไมโครคอนโทรลเลอร์นั้นยังมีส่วนประกอบอย่างอื่นอีกเพื่อเพิ่มเติมความสามารถ เช่น

- ADC (Analog to Digital) ส่วนภาครับสัญญาณอนาล็อกแปลงไปเป็นสัญญาณดิจิตอล
- DAC (Digital to Analog) ส่วนภาคส่งสัญญาณดิจิตอลแปลงไปเป็นสัญญาณอนาล็อก
- I2C (Inter Integrate Circuit Bus) เป็นการสื่อสารอนุกรม แบบชิงโครนัส (Synchronous) เพื่อใช้ ติดต่อสื่อสาร ระหว่าง ไมโครคอนโทรลเลอร์ (MCU) กับอุปกรณ์ภายนอก ซึ่งถูกพัฒนาขึ้น โดยบริษัท Philips Semiconductors โดยใช้สายสัญญาณเพียง 2 เส้นเท่านั้นคือ serial data (SDA) และสาย serial clock (SCL) ซึ่งสามารถ เชื่อมต่ออุปกรณ์จำนวนหลายๆ ตัว เข้าด้วยกัน ได้ ทำให้ MCU ใช้พอร์ตเพียง 2 พอร์ตเท่านั้น
- SPI (Serial Peripheral Interface) เป็นการเชื่อมต่อกับอุปกรณ์เพื่อรับส่งข้อมูล แบบชิงโครนัส (Synchronize) มีสัญญาณนาฬิกาเข้ามาเกี่ยวข้องระหว่าง ไมโครคอนโทรลเลอร์ (Microcontroller) หรือจะเป็นอุปกรณ์ภายนอกที่มีการรับส่งข้อมูลแบบ SPI อุปกรณ์ที่ทำหน้าที่ เป็นมาสเตอร์ (Master) โดยปกติแล้วจะเป็น ไมโครคอนโทรลเลอร์ หรืออาจกล่าวได้ว่าอุปกรณ์ Master จะต้องควบคุมอุปกรณ์ Slave ได้ โดยปกติตัว Slave มากจะเป็นไอซี (IC) หน้าที่พิเศษต่างๆ เช่น ไอซีอุณหภูมิ, ไอซีฐานเวลาพิการจิง (Real-Time Clock) หรืออาจเป็น ไมโครคอนโทรลเลอร์ ที่ทำหน้าที่ในโหมด Slave ที่ได้เชื่อมกัน
- PWM (Pulse Width Modulation) การสร้างสัญญาณพัลส์แบบสแคร์เฟที่ สามารถปรับเปลี่ยนความถี่และ Duty Cycle ได้เพื่อนำไปควบคุมอุปกรณ์ต่างๆ เช่น モเตอร์

- UART (Universal Asynchronous Receiver Transmitter) ทำหน้าที่รับส่งข้อมูลแบบอะซิงโครนัสสำหรับมาตรฐานการรับส่งข้อมูลแบบ RS-232

2.3.2 ประเภทของไมโครคอนโทรลเลอร์

ไมโคร คอนโทรลเลอร์ มีด้วยกันหลายประเภทแบ่งตามสถาปัตยกรรม (การผลิต และกระบวนการทำงานระบบการประมวลผล) ที่มีใช้ในปัจจุบันยกตัวอย่างดังนี้

1. ไมโคร คอนโทรลเลอร์ตระกูล PIC (บริษัทผู้ผลิต Microchip ไมโครชิป)
2. ไมโคร คอนโทรลเลอร์ตระกูล MCS51 (บริษัทผู้ผลิต Atmel,Phillips)
3. ไมโคร คอนโทรลเลอร์ตระกูล AVR (บริษัทผู้ผลิต Atmel)
4. ไมโคร คอนโทรลเลอร์ Arduino (บริษัทผู้ผลิต Atmel) เป็นการนำ AVR มาเขียน firmware Bootloader กำลังใช้งานใหม่ ซึ่งข้อแตกต่างสำหรับบอร์ด Arduino กับบอร์ดทุกตัว ๆ ไป คือ เป็น Open source ซึ่งหมายถึง การเปิดเผยวิธีการสร้างทั้งในส่วนของ Hardware ไม่ว่าจะเป็นวงจรต่าง ๆ ภายในบอร์ด และตัว Tool Software ที่จะเป็นเครื่องมือที่จะใช้ในการเขียน กำลังต่าง ๆ ลงบอร์ด ล้วนเป็น Open source ทั้งหมด ส่งผลให้นักวิจัยทุกคนมีสิทธิ์ที่จะดาวน์โหลด โปรแกรมต่าง ๆ ที่เกี่ยวกับการพัฒนา Arduino ไปใช้ฟรี และสามารถสร้างวงจรเองจากต้นแบบใช้ฟรีได้ เช่นกัน ซึ่งข้อดีก็คือ เป็นการสร้างมาตรฐานในการพัฒนาที่จะเป็นไปในทิศทางเดียวกัน เพราะนักพัฒนาทั่วโลกนิยมใช้งานบอร์ดชนิดนี้กันมากขึ้น ดังนั้น ไม่ว่าจะเป็นในเรื่องของตัวอย่าง source code ตลอดจนการพูดคุยปัญหารือการใช้งาน และ ตัวอย่างการต่อวงจรเพื่อการใช้งานในรูปแบบต่าง ๆ จะถูกพัฒนาภายใต้ Open source ของบอร์ดนี้
5. ไมโคร คอนโทรลเลอร์ตระกูล ARM7,ARM9 (บริษัทผู้ผลิต Atmel,Phillips,Analog Device,Samsung,STMicroelectronics)
6. ไมโคร คอนโทรลเลอร์ตระกูล Basic Stamp (บริษัทผู้ผลิต Parallax)
7. ไมโคร คอนโทรลเลอร์ตระกูล PSOC (บริษัทผู้ผลิต CYPRESS)
8. ไมโคร คอนโทรลเลอร์ตระกูล MSP (บริษัทผู้ผลิต Texas Instruments)
9. ไมโคร คอนโทรลเลอร์ตระกูล 68HC (บริษัทผู้ผลิต MOTOROLA)
10. ไมโคร คอนโทรลเลอร์ตระกูล H8 (บริษัทผู้ผลิต Renesas)
11. ไมโคร คอนโทรลเลอร์ตระกูล RABBIT (บริษัทผู้ผลิต RABBIT SEMICONDUCTOR)
12. ไมโคร คอนโทรลเลอร์ตระกูล Z80 (บริษัทผู้ผลิต Zilog)

2.3.3 ภาษาที่ใช้เขียน โปรแกรมควบคุมไมโครคอนโทรลเลอร์

1. ภาษา Assembly
2. ภาษา Basic

3. ภาษา C หรือ C++

4. ภาษา Pascal

ภาษาดัง กล่าวที่กล่าวในเบื้องต้น ไม่icrocon โทรลเลอร์บางคราภูมิ จะใช้ได้ครบ ทุกภาษา แต่บางคราภูมิจะใช้ได้บางภาษา ขึ้นอยู่กับบริษัทผู้ผลิต Software (โดยทั่วไปจะเรียกว่า Editor And Complier) ที่ใช้เขียนภาษาไม่icrocon โทรลเลอร์นั้นจะผลิตออกมาให้ Support หรือไม่



บทที่ 3

วิธีการดำเนินการวิจัย

3.1 กล่าวนำ

งานวิจัยนี้ได้ทำการสร้างเครื่องจำลองการเคลื่อนที่ของอากาศยานด้วยแบบเพื่อนำข้อมูลที่ได้จากการศึกษาวิจัยไปพัฒนาเป็นเครื่องที่สามารถรองรับการใช้งานจริง โดยทางผู้วิจัยมีแนวคิดที่จะสร้างระบบจำลองการบินโดยประกอบด้วย การนำข้อมูลขณะทำการบินและแสดงผลออกทางจอแสดงผลทั้ง 3 จอ พร้อมกับแสดงผลที่เครื่องวัดประกอบการบินแบบต่าง ๆ, การออกแบบแขนกลโครงสร้างขนาดสำหรับใช้ทำหน้าที่เคลื่อนไหวเครื่องจำลองการบินด้วยแบบ และ การเชื่อมโยงการสื่อสารระหว่างห้องนักบินกับแขนกลโครงสร้างขนาด

ช่วงงานวิจัยนี้ได้มุ่งเน้นการเขื่อมโยงการสื่อสารระหว่างห้องนักบินกับแขนกลโครงสร้างขนาด ให้สามารถตอบสนองกันและกันในช่วงเวลาที่สามารถยอมรับได้ โดยจะแยกตามหัวข้อดังต่อไปนี้

3.2 โปรแกรมจำลองการบิน

โปรแกรมจำลองการบินเป็นอุปกรณ์ที่นำมาจำลองสถานการณ์นักบินจะต้องพบเมื่อทำการบินจริงไปบนท้องฟ้า ไม่ว่าจะเป็นสภาพอากาศที่เลวร้ายหรือจะเป็นลักษณะของสนามบินแต่ละแห่งรวมไปถึงรถและคนที่ทำหน้าที่ต่างภายในสนามบินด้วย การจำลองสถานการณ์แบบนี้จะช่วยในการฝึกให้นักบินสามารถบังคับเครื่องบินได้อย่างปลอดภัยและไปยังที่หมายที่ไม่เคยไปมาก่อน ได้ดีกว่าเดิม โดยที่มีค่าใช้จ่ายที่น้อยกว่าการที่จะฝึกบินด้วยเครื่องบินจริง ในปัจจุบันมีการนำเครื่องจำลองการบินมาใช้ในการฝึกนักบินใหม่เพื่อประหยัดค่าใช้จ่ายในการฝึกบินและปลอดภัยกว่ามาก รวมไปถึงการนำเครื่องจำลองการบินมาฝึกนักบินรับเพื่อจำลองการณ์โจร เป้าหมายหรือฝึกบินเครื่องบินรับที่ทันสมัยโดยที่ไม่ต้องทำการบินจริงเพื่อความปลอดภัยของนักบินได้อีกด้วย

ระบบจำลองการบินที่มีวางขายในท้องตลาดมีมากมาย หลายบริษัทที่ผลิตออกมามากมาย ซึ่งแต่ละโปรแกรมจะมีข้อเด่นข้อด้อยต่างกัน ไป มีจำนวนรุ่นเครื่องบินที่แตกต่างกัน และมีการแสดงผลรายละเอียดของจากที่ต่างกัน ซึ่งในงานวิจัยนี้เลือกมาศึกษา 2 โปรแกรม คือ โปรแกรม Microsoft Flight Simulator X (FSX) และ X-Plane ดังแสดงในรูปที่ 3.1



รูปที่ 3.1 โปรแกรมจำลองการบิน (a.) Microsoft Flight Simulator X (FSX) (b.) X-Plane

3.2.1 Microsoft Flight Simulator X (FSX)

โปรแกรมจำลองการขับเครื่องบินเสมือนจริง สามารถขึ้นบินจากสนามบินหนึ่งไปลงอีกสนามบินหนึ่งทั่วโลกได้ และยังสามารถพับประกอบเพื่อน ได้ด้วยการบินออนไลน์ มีสนามบินมากกว่า 1000 สนามบินจาก 223 ประเทศทั่วโลก 24 อาชีวศึกษาที่สามารถบังคับได้ สถานที่สำคัญในโลกใบนี้ นอกจากนั้นยังได้รับการยอมรับจากโรงเรียนการบินทั่วโลก รวมทั้งประเทศไทยอีกด้วย จะเห็นได้จากที่ทางอากาศใช้โปรแกรมนี้ฝึกนักบินก่อนจะไปบินกับเครื่องบินจริง

- ความต้องการขั้นต่ำของโปรแกรม Microsoft Flight Simulator X

ในการติดตั้งโปรแกรมนี้ ควรตรวจสอบเครื่องคอมพิวเตอร์ว่ามีคุณสมบัติตรงตามความต้องการขั้นต่ำของโปรแกรมเพื่อที่จะสามารถติดตั้งโปรแกรม และใช้งานได้อย่างเต็มประสิทธิภาพ ซึ่งคุณสมบัติดังกล่าวแสดงดังตารางที่ 3.1

ตารางที่ 3.1 ความต้องการขั้นต่ำของโปรแกรม Microsoft Flight Simulator X.

ระบบปฏิบัติการ	Windows 7, Windows Vista หรือ Windows XP Service Pack ที่ 2 (SP2)
ตัวประมวลผลของคอมพิวเตอร์	1.0 กิกะเฮิร์ตซ์ (GHz) หรือมากกว่า
หน่วยความจำ	RAM อุ่งน้อย 1 กิกะไบต์ (GB)
เนื้อที่ว่างบนฮาร์ดดิสก์	15 กิกะไบต์ (GB)
การ์ดแสดงผล	DirectX® 9.0C compliant video with 32 MB of ram and support for hardware transformation and lighting

ตารางที่ 3.1 ความต้องการขั้นต่ำของโปรแกรม Microsoft Flight Simulator X. (ต่อ)

ไ/drพีดีวีดี	ความเร็ว x 32
เสียง	การ์ดเสียง ลำโพง หรือชุดหูฟัง
อุปกรณ์ชี้ตำแหน่ง	แป้นพิมพ์ และเมาส์ หรือตัวควบคุมเกมที่เข้ากันได้ (เช่น Xbox 360 คอนโซลเลอร์สำหรับ Windows)
การเชื่อมต่ออินเทอร์เน็ตสำหรับการเล่นออนไลน์	อะแดปเตอร์เครือข่ายสำหรับ gameplay เกมส์แบบมัลติ LAN อินเทอร์เน็ตแบบบอร์ดแบนด์สำหรับ Windows Live gameplay เกมส์แบบมัลติ

3.2.2 X-Plane

X-Plane เป็นโปรแกรมจำลองการบินที่มีประสิทธิภาพและครอบคลุมสำหรับคอมพิวเตอร์ส่วนบุคคล ซึ่งสามารถจำลองการบินได้อย่างมีประสิทธิภาพเหมือนจริงสำหรับการใช้ในคอมพิวเตอร์ครัวเรือน X-Plane ไม่ใช่เกมส์แต่คือนวัตกรรมทางวิศวกรรมที่ใช้ในการทำนายหรือจำลองคุณภาพการบินของอากาศยานปีกยืด ปีกหมุนอย่างแม่นยำ

จากคุณสมบัติที่เพียบพร้อมของโปรแกรม X-Plane นั้น เป็นเครื่องมือที่จะช่วยให้นักบินได้ลองฝึกทำการบินและแก้ไขสถานการณ์ในการบิน เนื่องจากมีความสมจริงค่อนข้างสูง สำหรับวิศวกรสามารถนำเอามาทำนายประสิทธิภาพการบินของอากาศยานที่ได้ทำการออกแบบได้ ซึ่งสามารถทำนายได้ในด้านกลศาสตร์การบิน

ในโปรแกรมประกอบไปด้วยอากาศยานที่ใช้ทำการบินมากมาย อาทิ เช่น อากาศยานเครื่องยนต์ลูกสูบ อากาศยานเครื่องยนต์ไอพ่น เครื่องร่อน เฮลิคอปเตอร์ และอากาศยานบินลุ่งแนวคิ่ง (VTOLs) นอกจากนั้น โปรแกรมยังสามารถรองรับการบินทั้งการบินความเร็วต่ำกว่าความเร็วเสียงในอากาศ (Subsonic) และความเร็วบินมากกว่าความเร็วเสียงในอากาศ (Supersonic) และผู้ใช้งานสามารถเข้าถึงตัวแปรคุณสมบัติในการบินต่างๆ ได้อีกด้วย โดยทั้งนี้ X-Plane ยังรวมรวมอากาศยานไว้ให้ได้ทั้งหมด 35 รุ่น ไว้ให้ผู้ใช้ได้ทำการบินในอากาศยานลักษณะต่างๆ เช่น Cessna 172, Bell 206 และ B-2 Bomber เป็นต้น

- ความต้องการขั้นต่ำของโปรแกรม X-Plane

เนื่องด้วยความสามารถที่มากมายของ X-Plane นั้นจึงไม่สามารถจะทำงานบนคอมพิวเตอร์รุ่นเก่าได้ โดยทั่วไปแล้วอาจประมาณได้ว่าคอมพิวเตอร์ที่สามารถติดตั้งโปรแกรมได้นั้นจะต้องเป็นคอมพิวเตอร์ที่มีคุณสมบัติตามตารางที่ 3.2

ตารางที่ 3.2 ความต้องการขั้นต่ำของโปรแกรม X-Plane

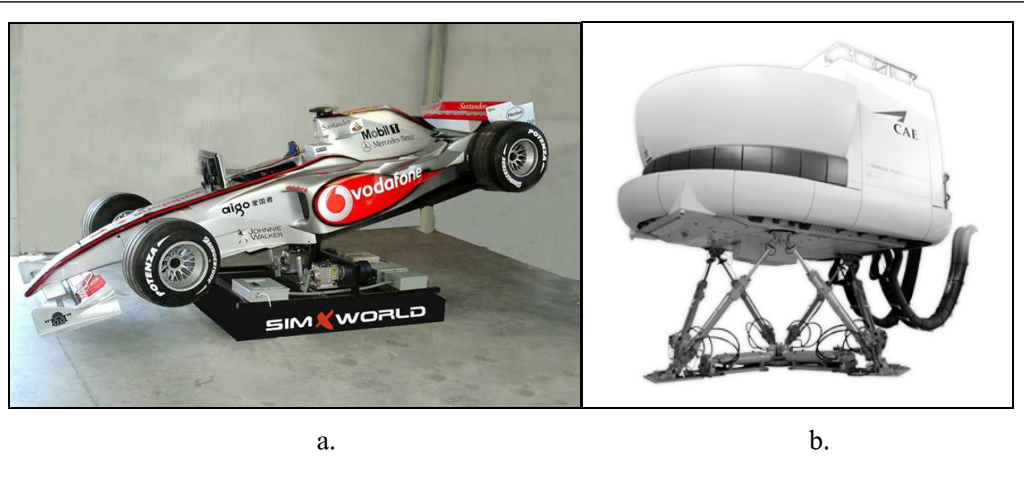
ระบบปฏิบัติการ	Windows, Linux และ iOS
ตัวประมวลผลของคอมพิวเตอร์	2 GHz
หน่วยความจำ	RAM อย่างน้อย 1.0 กิกะไบต์ (GB)
เนื้อที่ว่างบนฮาร์ดดิสก์	10 กิกะไบต์ (GB)
การ์ดแสดงผล	500 MB VRAM
เสียง	การ์ดเสียง ลำโพง หรือชุดหูฟัง
อุปกรณ์ชี้ตำแหน่ง	แป้นพิมพ์ และมาส์ หรือตัวควบคุมเกมที่เข้ากันได้ (เช่น Xbox 360 คอนโทรลเลอร์สำหรับ Windows)

3.2.3 การศึกษาข้อดีและข้อเสียของ Microsoft Flight Simulator X (FSX) และ X-Plane

- การต่ออุปกรณ์ที่ต้องต่อเข้ากับคอมพิวเตอร์
- การติดตั้งซอฟต์แวร์ที่ต้องติดตั้งเพิ่มเติม
- การต้องใช้เวลาในการเรียนรู้การใช้งาน

3.3 การออกแบบแพลตฟอร์มเคลื่อนไหว (Motion Platform)

เมื่อถูกติดตั้งในบ้านแล้ว แพลตฟอร์มนี้จะช่วยให้ผู้ใช้งานสามารถเดินทางไปท่องเที่ยวทั่วโลกโดยไม่ต้องออกจากบ้าน แต่ต้องมีเงินทุนจำนวนมาก แพลตฟอร์มนี้สามารถจำลองการขับรถ จักรยานยนต์ (Driving Simulator), เครื่องฟิตнес (Fitness Simulator) หรือ เครื่องเล่นในสวนสนุกต่าง ๆ ตามตัวอย่างในรูปที่ 3.2 และ รูปที่ 3.3 เป็นต้น โดยมีวัตถุประสงค์หลักคือการสร้างสภาวะให้ผู้ใช้งานได้รู้สึกเหมือนจริง หรือ ใกล้เคียงกับการขับขี่ยานพาหนะจริงให้มากที่สุด โดยเฉพาะเครื่องจำลองการบิน ที่ได้นำมาฝึกทดสอบการบินเพื่อป้องกันอันตรายที่จะเกิดจากการบินจริงและยังสามารถประยุกต์ใช้จ่ายในการบินแต่ละเที่ยวบินอีกด้วย



รูปที่ 3.2 เครื่องจำลอง (a.) การขับปั๊รดยนต์ (b.) ฝึกหัดบิน



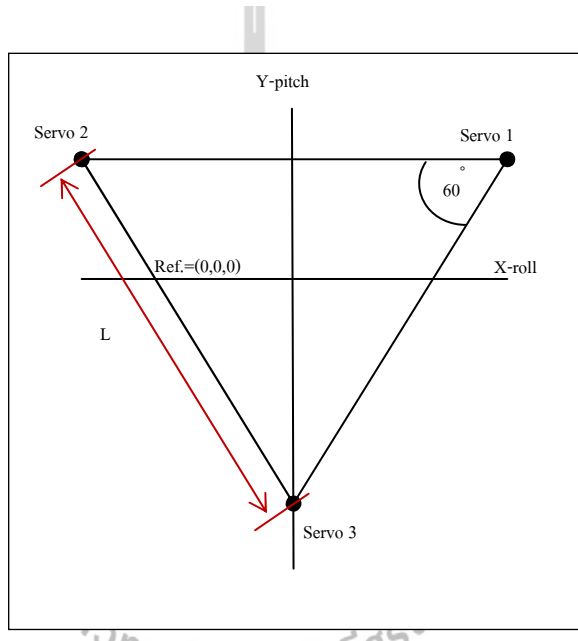
รูปที่ 3.3 เครื่องเล่นในสวนสนุก

ลักษณะการทำงานของเครื่องจักรการเคลื่อนที่นั้นถูกแบ่งออกหลายระดับด้วยกัน เครื่องจำลองระดับที่ง่ายที่สุดเห็นจะเป็นกลุ่มเครื่องเล่นในสวนสนุก ซึ่งเครื่องจำลองนี้จะดำเนินการจำลองสถานการณ์ตามที่ได้ถูกกำหนดล่วงหน้าแล้ว โดยผู้ขับปีกเป็นเสมือนผู้โดยสารเท่านั้น ไม่สามารถมีปฏิสัมพันธ์กับเครื่องจำลองได้เลย ในส่วนของความสมจริงนั้นก็จะมีทั้งระบบภาพและเสียงเข้ามาช่วยสร้างสภาวะให้ในส่วนนี้ สำหรับเครื่องจำลองที่มีความสมจริงมากขึ้นก็จะเป็นเครื่องจำลองที่มีการปฏิสัมพันธ์กับผู้ขับปีก และสามารถจำลองได้ทั้งภาพ, เสียงและการเคลื่อนไหว ซึ่งจะทำให้ผู้ขับปีกสามารถรับรู้การเคลื่อนไหวที่สมจริงมากยิ่งขึ้น โดยเฉพาะการรับรู้ถึงแรงอันเกิดจากความเร่งในการระหว่างการเคลื่อนที่ของยานพาหนะ ที่มากระทำกับผู้ขับปีกให้รู้สึกเหมือนกับว่าได้เคลื่อนที่อยู่จริงๆ ซึ่งในงานวิจัยนี้ ได้ทำการสร้างแพลตฟอร์มเคลื่อนไหวจำลอง ที่สามารถสร้างสภาวะการเคลื่อนไหวได้ 3 องศาอิสระ โดยจะอยู่ในรูปของหุ่นยนต์โครงสร้างขนาน (Parallel Robot)

การออกแบบหุ่นยนต์หรือแขนกลโครงสร้างขนาดในงานวิจัยนี้สามารถเคลื่อนไหวได้ 3 องศาอิสระ คือในทิศหมุนรอบแกน X-Y (Roll-Pitch) และทิศทางตามแกน X โดยพิจารณาเลือกใช้เซอร์โวมอร์เตอร์ (Servo Motor) เป็นระบบขับเคลื่อนแขนกล (Actuator) ให้เคลื่อนไหวตามต้องการ ซึ่งจะมีขั้นตอนการคำนวนหาพิกัดการเคลื่อนที่ของแผ่นเคลื่อนไหว (Platform) ดังต่อไปนี้

3.3.1 ระบบแกนอ้างอิง (Reference system)

การเปลี่ยนระบบแกนนั้นทำได้โดยการนำเอาแกนพิกัดจากมากำหนดพิกัดทั้งตำแหน่งในแนวระดับและความสูงในแนวแกนตั้ง โดยกำหนดรูปแบบและพิกัดของแท่นเคลื่อนที่ดังรูปที่ 3.4



รูปที่ 3.4 ระบบแกนอ้างอิง (L = ระยะห่างของ Servo)

ตำแหน่งเริ่มต้นของขาเดื่อมต่อแผ่นเคลื่อนไหวทั้งสามกำหนดโดยระบบพิกัดข้างต้นดังสมการดังนี้

$$P_1 = \left(\frac{L}{2}, \frac{L}{2\sqrt{3}}, 0 \right) \quad (3.1)$$

$$P_2 = \left(-\frac{L}{2}, \frac{L}{2\sqrt{3}}, 0 \right) \quad (3.2)$$

$$P_3 = \left(0, -\frac{L}{\sqrt{3}}, 0 \right) \quad (3.3)$$

โดยตำแหน่งทั้งสามนี้ใช้กำหนดเป็นเมตริกตำแหน่งตามแนวแกว และ โดยตำแหน่งการติดตั้งมอเตอร์หรือชุดส่งกำลังนั้นอาจมิได้ติดตั้งอยู่ในแนวที่ตรงกัน อาจมีระยะห่างกันเป็นระยะ d จากศูนย์กลาง ซึ่งในระบบแกนอ้างอิงนั้นหมายถึงระยะทางในแนวแกน y เมตริกผลลัพธ์จากตำแหน่งเริ่มต้นทั้งหมดสามารถเขียนอยู่ในรูปของเมตริกได้ดังสมการที่ 3.4

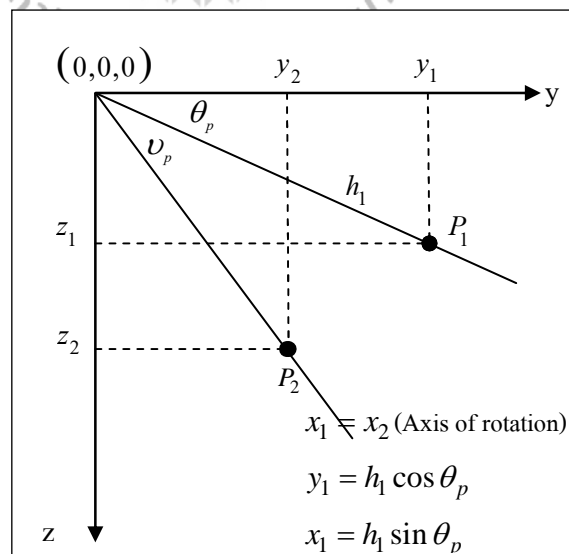
$$P_{123} = \begin{bmatrix} \frac{L}{2} & -\frac{L}{2} & 0 \\ \frac{L}{2\sqrt{3}} + d & \frac{L}{2\sqrt{3}} + d & -\frac{L}{\sqrt{3}} + d \\ 0 & 0 & 0 \end{bmatrix} \quad (3.4)$$

แผ่นเคลื่อนที่จะทำการหมุนรอบแกนทั้งหมดสองแกนในการเคลื่อนที่หนึ่งครั้ง ซึ่งการเคลื่อนที่นั้นสามารถถูกเขียนให้อยู่ในรูปของ linear transformations โดยใช้เมตริกเป็นตัวดำเนินการได้

3.3.2 Matrix transformation

- การเคลื่อนที่ปักเกย (Pitch motion)

การเคลื่อนที่ปักเกยนี้เป็นการหมุนรอบแกน x ดังในรูปที่ 3.5 แกน x ผุ่งตั้งฉากเข้าไปในกระดาษซึ่งแสดงค่าของ การหมุนจากจุด P_1 ที่มุม θ_p ไปยังจุด P_2 ด้วยมุมที่หมุนไปเป็นมุม v_p



รูปที่ 3.5 การหมุนรอบแกน X

การหมุนนั้นสามารถเขียนเป็นสมการ ได้ดังนี้

$$y_2 = h_l \cos(\theta_p + \nu_p) = h_l \cos(\theta_p) \cos(\nu_p) - h_l \sin(\theta_p) \sin(\nu_p) \quad (3.5)$$

$$z_2 = h_l \sin(\theta_p + \nu_p) = h_l \sin(\theta_p) \cos(\nu_p) + h_l \cos(\theta_p) \sin(\nu_p) \quad (3.6)$$

พิจารณาความสัมพันธ์ระหว่างตำแหน่งเดิมและตำแหน่งใหม่จะได้

$$x_2 = x_1 \quad (3.7)$$

$$y_2 = y_1 \cos(\nu_p) - z_1 \sin(\nu_p) \quad (3.8)$$

$$z_2 = y_1 \sin(\nu_p) + z_1 \cos(\nu_p) \quad (3.9)$$

จะได้ transformation matrix ดังนี้

$$T_p = \begin{bmatrix} 1 & 0 & 0 \\ 0 & \cos(\nu_p) & -\sin(\nu_p) \\ 0 & \sin(\nu_p) & \cos(\nu_p) \end{bmatrix} \quad (3.10)$$

คุณเมทริกนี้คือเมทริกตำแหน่งเริ่มต้น จะได้ตำแหน่งใหม่ของตำแหน่งเริ่มต้นทั้งสาม

$$P_p = T_p P_{123} = [A][B] \quad (3.11)$$

เมื่อ $[A] = \begin{bmatrix} 1 & 0 & 0 \\ 0 & \cos(\nu_p) & -\sin(\nu_p) \\ 0 & \sin(\nu_p) & \cos(\nu_p) \end{bmatrix}$

$$[B] = \begin{bmatrix} \frac{L}{2} & -\frac{L}{2} & 0 \\ \frac{L}{2\sqrt{3}} + d & \frac{L}{2\sqrt{3}} + d & -\frac{L}{\sqrt{3}} + d \\ 0 & 0 & 0 \end{bmatrix}$$

จะได้

$$P_p = \begin{bmatrix} \frac{L}{2} & -\frac{L}{2} & 0 \\ \left(\frac{\sqrt{3}L}{6} + d\right)\cos(\nu_p) & \left(\frac{\sqrt{3}L}{6} + d\right)\cos(\nu_p) & \left(-\frac{\sqrt{3}L}{3} + d\right)\cos(\nu_p) \\ \left(\frac{\sqrt{3}L}{6} + d\right)\sin(\nu_p) & \left(\frac{\sqrt{3}L}{6} + d\right)\sin(\nu_p) & \left(-\frac{\sqrt{3}L}{3} + d\right)\sin(\nu_p) \end{bmatrix} \quad (3.12)$$

- การเคลื่อนที่รอบแกน Y (Roll motion)

การเคลื่อนที่แบบ Roll นั้นเป็นการหมุนรอบแกน y การเคลื่อนที่เริ่มต้นจากสมการที่ 3.12 โดยการคำนวณนั้นเป็นไปในทางเดียวกันกับการเคลื่อนที่ปีกเบย ผลลัพธ์ของ transformation matrix คือ

$$T_r = \begin{bmatrix} \cos(\nu_r) & 0 & -\sin(\nu_r) \\ 0 & 1 & 0 \\ \sin(\nu_r) & 0 & \cos(\nu_r) \end{bmatrix} \quad (3.13)$$

ตำแหน่งใหม่ของจุดเชื่อมต่อขาได้จากการนำเอาเมตริกที่ได้จากการเคลื่อนที่ปีกเบยแล้วจะได้

$$P_{pr} = \begin{bmatrix} x_1 & x_2 & x_3 \\ y_1 & y_2 & y_3 \\ z_1 & z_2 & z_3 \end{bmatrix} \quad (3.14)$$

เมื่อ

$$\begin{aligned} x_1 &= -\left(\frac{\sqrt{3}L}{6} + d\right)\sin(\nu_p)\sin(\nu_r) + \frac{L}{2}\cos(\nu_r) \\ x_2 &= -\left(\frac{\sqrt{3}L}{6} + d\right)\sin(\nu_p)\sin(\nu_r) - \frac{L}{2}\cos(\nu_r) \\ x_3 &= -\left(-\frac{\sqrt{3}L}{6} + d\right)\sin(\nu_p)\sin(\nu_r) \\ y_1 &= y_2 = \left(\frac{\sqrt{3}L}{6} + d\right)\cos(\nu_p) \\ y_3 &= \left(-\frac{\sqrt{3}L}{3} + d\right)\cos(\nu_p) \\ z_1 &= \left(\frac{\sqrt{3}L}{6} + d\right)\sin(\nu_p)\cos(\nu_r) + \frac{L}{2}\sin(\nu_r) \end{aligned}$$

$$z_2 = \left(\frac{\sqrt{3}L}{6} + d \right) \sin(\nu_p) \cos(\nu_r) - \frac{L}{2} \sin(\nu_r)$$

$$z_3 = \left(-\frac{\sqrt{3}L}{3} + d \right) \sin(\nu_p) \cos(\nu_r)$$

- การเคลื่อนที่ตามแกน Z (Heave motion)

การเคลื่อนที่แบบสุดท้ายนี้คือการเคลื่อนที่บนแกน z โดยการเคลื่อนที่นี้สามารถเพิ่มค่าการเคลื่อนที่ได้โดยตรงที่แกน z ของทุกจุด โดยจะได้ transformation matrix สุดท้ายดังนี้

$$P_{prz} = \begin{bmatrix} x_1 & x_2 & x_3 \\ y_1 & y_2 & y_3 \\ z_1 & z_2 & z_3 \end{bmatrix} \quad (3.15)$$

เมื่อ $x_1 = -\left(\frac{\sqrt{3}L}{6} + d \right) \sin(\nu_p) \sin(\nu_r) + \frac{L}{2} \cos(\nu_r)$

$$x_2 = -\left(\frac{\sqrt{3}L}{6} + d \right) \sin(\nu_p) \sin(\nu_r) - \frac{L}{2} \cos(\nu_r)$$

$$x_3 = -\left(-\frac{\sqrt{3}L}{6} + d \right) \sin(\nu_p) \sin(\nu_r)$$

$$y_1 = y_2 = \left(\frac{\sqrt{3}L}{6} + d \right) \cos(\nu_p)$$

$$y_3 = \left(-\frac{\sqrt{3}L}{3} + d \right) \cos(\nu_p)$$

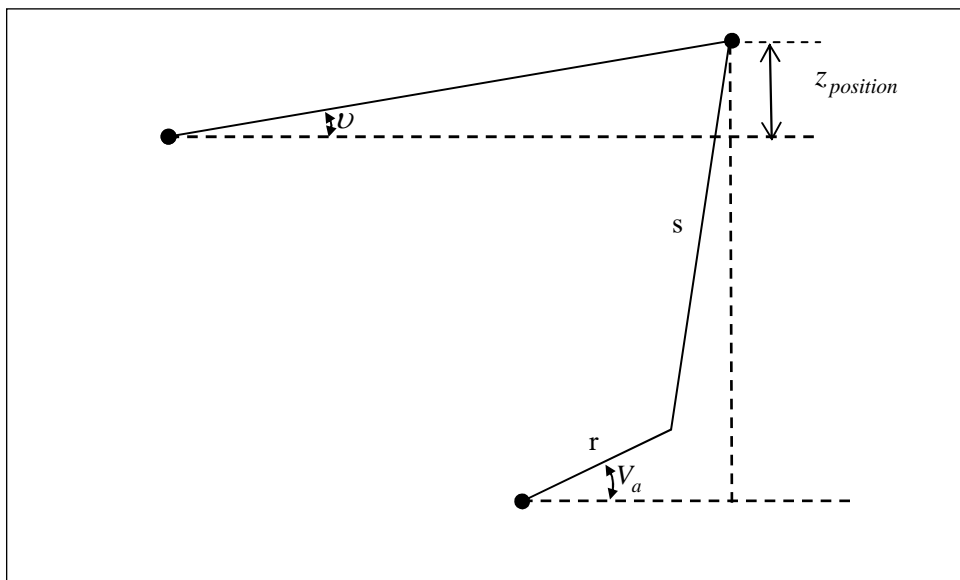
$$z_1 = \left(\frac{\sqrt{3}L}{6} + d \right) \sin(\nu_p) \cos(\nu_r) + \frac{L}{2} \sin(\nu_r) + z$$

$$z_2 = \left(\frac{\sqrt{3}L}{6} + d \right) \sin(\nu_p) \cos(\nu_r) - \frac{L}{2} \sin(\nu_r) + z$$

$$z_3 = \left(-\frac{\sqrt{3}L}{3} + d \right) \sin(\nu_p) \cos(\nu_r) + z$$

3.3.3 การเตรียมข้อมูลเพื่อส่งสัญญาณไปยังอุปกรณ์ต้านกำลัง (Actuator signals)

จากเมทริก P_{prz} ซึ่งให้พิกัดของจุดเชื่อมต่อของแผ่นเคลื่อนไหวกับจุดยึดมอเตอร์ทั้งสาม โดยตำแหน่งที่ได้นี้นี้เทียบกับระบบแกนอ้างอิงในหัวข้อข้างต้น แกนเชื่อมต่อระหว่างจุดเชื่อมตอกับเพลาของเซอร์โวมอเตอร์มีรูปร่างตามรูปที่ 3.6



รูปที่ 3.6 ความสัมพันธ์ระหว่างมุมของเพลา V_a และ มุมของแท่นเคลื่อนไหว v

เพื่อที่จะหามุมการหมุนของเพลาเซอร์โวมอเตอร์เพื่อให้ได้การทำมุมของแท่นเคลื่อนไหวที่เป็นไปตามมุมที่ต้องการหมุนไป ในการคำนวณหาต้องการค่า $z_{position}$ ของทุก ๆ จุดเชื่อมต่อต่อแผ่นเคลื่อนไหว ซึ่งหาได้จากacco สุดท้ายของเมทริก P_{prz} ในสมการที่ 3.15 ซึ่งจะทำให้สามารถหามุมการหมุนของเซอร์โวมอเตอร์แต่ละตัวได้จากการความสัมพันธ์ในสมการดังนี้

$$V_a = \sin^{-1} \left(\frac{z_{position}}{r} \right) \quad (3.16)$$

จากนั้นค่ามุมที่ได้จากการคำนวณในสมการข้างต้นก็จะสามารถนำมาแปลเป็นสัญญาณ Pulse width modulation (PWM) เพื่อใช้ในการสั่งงานเซอร์โวมอเตอร์แต่ละตัวให้ไปในตำแหน่งที่ต้องการอยู่ในช่วง $\pm 90^\circ$ ซึ่งจะกล่าวในลำดับต่อไป

3.3.4 อุปกรณ์ต้นกำลัง (Actuator)

ในงานวิจัยนี้เลือกใช้ Servo Motor เป็นอุปกรณ์ต้นกำลังในการเคลื่อนที่ ซึ่ง Servo Motor คือ Motor ชนิดหนึ่งซึ่งถูกออกแบบมาสำหรับใช้ในระบบการควบคุมทางความเร็วและตำแหน่ง Servo Motor ใช้การควบคุมแบบ Close Loop Control โดยที่ส่วนประกอบหลักของ Servo Motor จะประกอบด้วยส่วนสำคัญ 2 ส่วนคือ ชุด Motor ขับเคลื่อน อาจมีการใช้งานร่วมกับชุดเกียร์เพื่อเพิ่มแรงบิด และ ระบบ Feedback เช่น Potentiometer Encoder สำหรับวัดตำแหน่งมุมของการหมุน การควบคุม Servo Motor จะใช้สัญญาณ Pulse ที่ความถี่คงที่ แต่มีการปรับเปลี่ยนค่า %Duty cycle หรือที่เรียกว่าสัญญาณ PWM ซึ่งความกว้างของสัญญาณที่มีค่าแตกต่างกันจะทำให้ได้มุมการ

หมุนที่แตกต่างกันด้วย ในการทดลองนี้ใช้ Servo Motor ขนาดเล็กสำหรับใช้งานกับรถบังคับวิทยุ โดยเลือกใช้ RC Servo Motor ยี่ห้อ TowerPro รุ่น MG995 ดังแสดงในรูปที่ 3.7 โดยมีรายละเอียดดังนี้

มุมองศาการหมุน : 180 องศา

ความเร็ว : 60 องศา ใน 0.20 วินาที ที่ 4.8 V

แรงบิด : 10 kg-cm ที่ 4.8 V

ขนาด : สูง 42.9 mm, กว้าง 19.8 mm และยาว 40.6 mm

น้ำหนัก : 55 กรัม

ชนิดของเพื่อง : เหล็ก



รูปที่ 3.7 TowerPro RC Servo Motor รุ่น MG995

โดยในงานวิจัยมีการกำหนดค่าในการใช้งานดังต่อไปนี้คือ

- ความถี่ที่ใช้ในการควบคุม : 50 Hz
- ช่วงความกว้างสัญญาณพัลส์ (Pulse Width) : 1000-2000 μ s
- % Duty cycle ในช่วง 3.25 - 7.5

ในระยะเริ่มต้น ผู้วิจัยได้ทำการทดลอง ส่งสัญญาณการเปลี่ยนแปลงของมุมองศาไปยัง Servo Motor โดยตรง เพื่อหาค่าความคลาดเคลื่อนที่เกิดขึ้น จากนั้นนำค่าความคลาดเคลื่อนที่ได้ไปทดสอบ เพื่อให้ได้ค่ามุมองศาของ Servo Motor มีค่าความคลาดเคลื่อน ให้น้อยลง

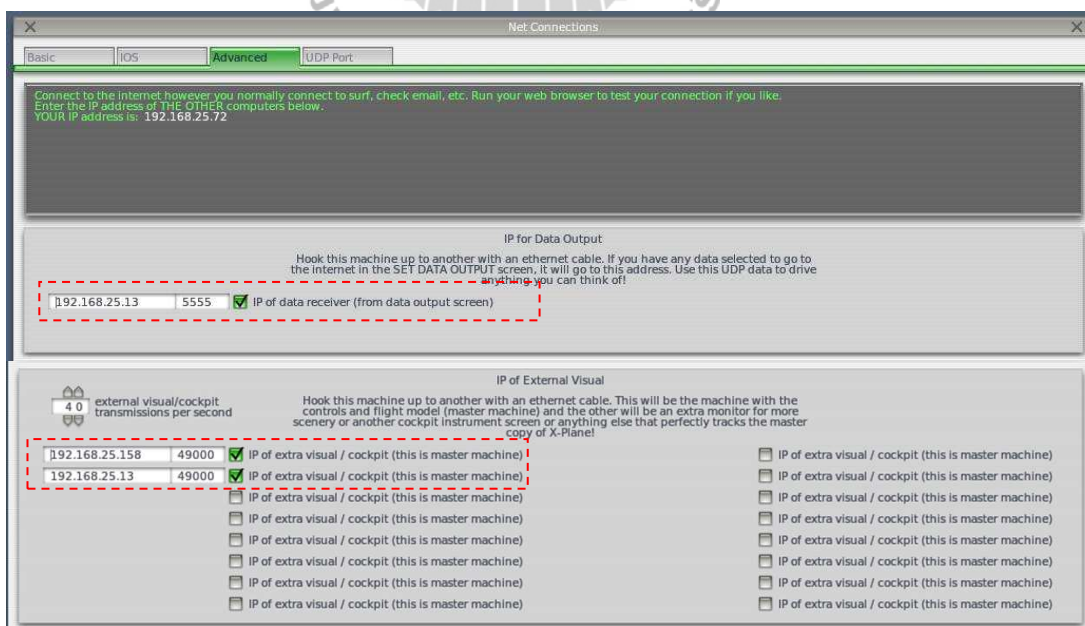
3.4 อัลกอริธึมสำหรับประมวลผลเพื่อเชื่อมต่อข้อมูลระหว่างโปรแกรมกับแผ่นเคลื่อนไหว

งานวิจัยนี้ต้องการสร้างต้นแบบแผ่นเคลื่อนไหวที่สามารถเคลื่อนไหวได้ตามการเปลี่ยนแปลงที่เกิดขึ้น ขณะผู้ใช้กำลังทำการบิน โดยใช้โปรแกรมจำลองการบิน ซึ่งในปัจจุบันระบบจำลองการบินมีการใช้งานอย่างหลากหลายรูปแบบ จากการศึกษาข้อมูลผู้วิจัยจึงเลือกออกแบบแผ่นเคลื่อนไหวที่สามารถเคลื่อนที่ได้ 3 องศาอิสระ โดยใช้ซอฟแวร์ LabVIEW 2010 ร่วมกับบอร์ด Microcontroller ชื่อ Arduino รุ่น MEGA2560 เป็นส่วนต่อประสาน (Interface) ให้แผ่นเคลื่อนไหวทำงานไปพร้อมกับโปรแกรมจำลองการบิน (Flight Simulator) ตามรายละเอียดต่อไปนี้

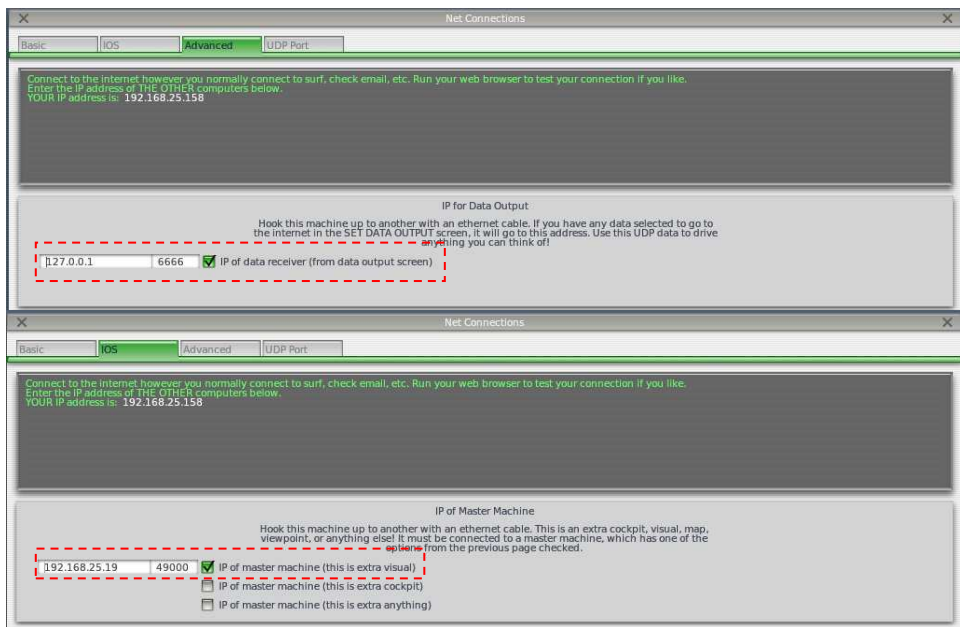
3.4.1 การส่งถ่ายข้อมูลจากโปรแกรมจำลองการบิน

การส่งถ่ายข้อมูลจากโปรแกรมจำลองการบินขณะที่กำลังทำการบินเป็นสิ่งจำเป็นอย่างยิ่งในงานวิจัยนี้ เนื่องจากจะต้องอาศัยข้อมูลการบินขณะนี้ (Real time) ว่ามีลักษณะ怎麽样 ในการบิน โรล-พิช-yaw และค่าความเร่งที่กระทำต่อเครื่องบินขณะนี้เป็นเช่นไร ซึ่งการที่จะให้อุปกรณ์ทำการสื่อสารและส่งข้อมูลในขณะนี้เดียวกันนั้น ผู้วิจัยจะทำการจำลองระบบขึ้นมา โดยอาศัยการสื่อสารผ่าน IP Address เดียวกัน โดยมีรายละเอียดดังต่อไปนี้

- ตั้งค่าการส่งข้อมูลจากโปรแกรมจำลองการบิน โดย ตั้งค่าการส่ง IP Address แล้วทำการเลือกตัวแปลที่ต้องการส่งข้อมูล ซึ่งในงานวิจัย เลือกค่าที่บ่งบอกถึงท่าทางการบินในทิศทาง โรล-พิช-yaw (Roll-Pitch-Yaw) และ ค่าความเร่งที่กระทำต่อเครื่องบิน ดังรูปที่ 3.8 และ 3.9



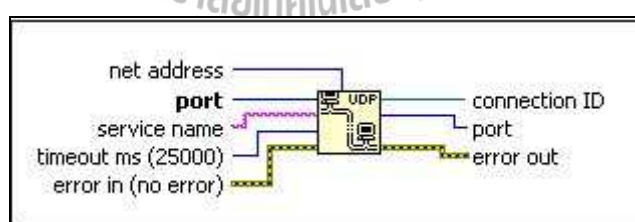
รูปที่ 3.8 การตั้งค่าการส่งข้อมูลจากโปรแกรมจำลองการบินของเครื่อง SERVER



รูปที่ 3.9 การตั้งค่าการส่งข้อมูลจากโปรแกรมจำลองการบินของเครื่อง CLIENT

2. เขียนโปรแกรมเพื่อรับค่า ที่ส่งจากโปรแกรมจำลองการบิน ซึ่งในงานวิจัยใช้โปรแกรม Lab View 2010 ในการเขียนโปรแกรมรองรับค่าท่าทางการเคลื่อนที่ดังกล่าว ตามรายละเอียดดังต่อไปนี้

เริ่มจากตั้งค่าฟังก์ชันเพื่อเปิดรับสัญญาณที่จะถูกส่งมาจากโปรแกรมจำลองการบินโดยใช้ฟังก์ชัน UDP Open จาก LabVIEW 2010 ดังรูปที่ 3.10



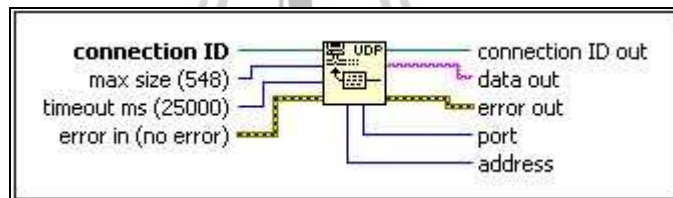
รูปที่ 3.10 ฟังก์ชัน UDP Open

จากรูปที่ 3.10 สามารถกำหนดการตั้งค่าต่าง ๆ ของฟังก์ชันได้ดังนี้

- net address : กำหนด Network address ในกรณีที่เครื่องคอมพิวเตอร์ของเรามาตรฐานต้องต่อ กับ Network address มากกว่าหนึ่ง แต่ในงานวิจัยนี้มีการเชื่อมเพียงแค่ Network

address เดียว จึงไม่จำเป็นต้องกำหนดค่าเพิ่มเติมเนื่องจาก ค่าเริ่มต้นของโปรแกรมจะทำการเชื่อมต่อกับ Network address ที่ชื่อต่อ ๆ ไปจนบัน

- port : กำหนดหมายเลขช่องสัญญาณการเชื่อมต่อของโปรแกรมจำลองการบินและโปรแกรม LabVIEW ตรงช่อง port ซึ่งสามารถเลือกใช้ตั้งแต่หมายเลข 5000-65535 โดยที่ต้องให้ทั้งสองโปรแกรมต้องมีหมายเลขช่องสัญญาณการเชื่อมต่อ หมายเลขเดียวกัน
- service name : กำหนดชื่อให้กับ port
- timeout ms : กำหนดเวลาเพื่อรอรับค่าที่ถูกส่ง過來จากโปรแกรมจำลองการบิน นั่นคือ ถ้าไม่มีข้อมูลเข้ามาภายในระยะเวลาที่กำหนด ตัวฟังก์ชันจะแจ้งเตือนสิ่งที่เกิดขึ้น
- error in : การกำหนดครับค่า error จากฟังก์ชันก่อนหน้า ซึ่งในงานวิจัยนี้ใช้ฟังก์ชัน UDP Open เป็นฟังก์ชันแรกจำไม่มีค่า error
- connection ID : ช่องทางการเชื่อมต่อข้อมูลที่ได้รับจากโปรแกรมจำลองการบินเพื่อนำไปใช้กับฟังก์ชันอื่น ๆ ต่อไป

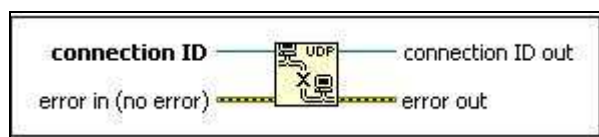


รูปที่ 3.11 ฟังก์ชัน UDP Read

ต่อมาใช้ฟังก์ชัน UDP Read ดังรูปที่ 3.11 ในการอ่านข้อมูลที่ถูกส่งมาจากโปรแกรมจำลองการบิน ซึ่งมีรายละเอียดดังนี้

- connection ID : กำหนดช่องทางการเชื่อมต่อข้อมูล ในที่นี้ ทำการเชื่อมต่อข้อมูลจาก UDP Open เพื่ออ่านค่าที่ได้และนำไปประมวลผลต่อ
- max size : กำหนดค่าไบต์ (Bytes) สูงสุดที่จะทำการอ่าน จากการศึกษาในโปรแกรมส่งอุปกรณ์เพียง 77 ไบต์
- timeout ms : กำหนดเวลาในการรอค่าไบต์ที่ถูกส่งเข้ามาอ่าน ผู้วิจัยได้ตั้งค่าไว้รอบร้อย ๆ เนื่องจาก การส่งข้อมูลจากโปรแกรมจำลองการบินเป็นการส่งแบบต่อเนื่อง
- error in : การกำหนดครับเงื่อนไขข้อผิดพลาดจากฟังก์ชันก่อนหน้า ในที่นี้คือ ฟังก์ชัน UDP Open

- connection ID out : ช่องทางการส่งออกการเชื่อมต่อ เพื่อไปใช้งานต่อในฟังก์ชันอื่น ๆ ซึ่งค่าที่ได้จะเป็นค่าเดียวกันกับ connection ID
- data out : เป็นข้อมูลท่าทางการบินที่ได้จากการอ่านค่าที่ส่งมาจากโปรแกรมจำลองการบิน ซึ่งอ่านค่าออกมาเป็นชุด string
- เมื่อได้ชุดข้อมูลที่ต้องการแล้วจะต้องมีตัวดำเนินการในการปิดช่องสัญญาณที่รับข้อมูลจากโปรแกรมจำลองการบิน ในโปรแกรม LabVIEW 2010 จะใช้ฟังก์ชัน UDP Close ดังรูปที่ 3.12



รูปที่ 3.12 ฟังก์ชัน UDP Close

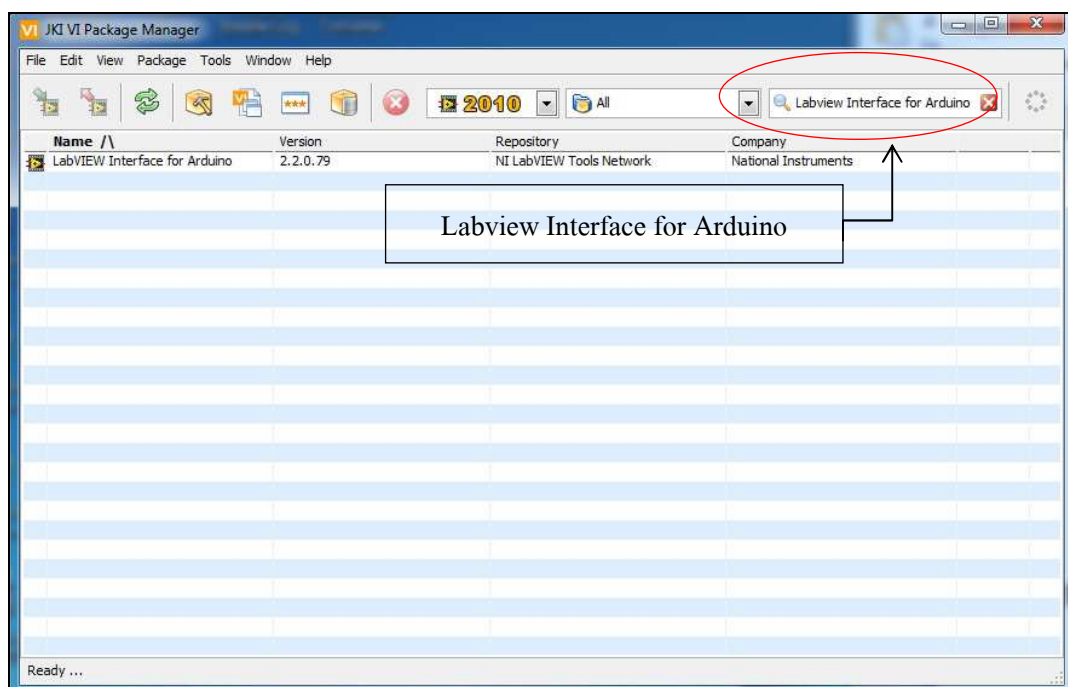
- connection ID : กำหนดช่องทางการเชื่อมต่อข้อมูลที่ต้องการปิดการเชื่อมต่อ
- error in : กำหนดรับเงื่อนไขข้อผิดพลาด จากฟังก์ชันก่อนหน้า ในที่นี้คือฟังก์ชัน UDP Read
- connection ID out : ช่องทางการส่งออกการเชื่อมต่อ ซึ่งค่าที่ได้จะเป็นค่าเดียวกันกับ connection ID ในกรณีของ UDP Close ห้ามน้ำไปใช้งานต่อ เพราะถือเป็นสถานีสุดท้าย
- error out : ส่งออกค่าข้อผิดพลาดทั้งหมดที่เกิดขึ้นขณะโปรแกรมดำเนินการ

3.4.2 การควบคุมการเคลื่อนที่ของแผ่นเคลื่อนไหว

จากการออกแบบลักษณะของแผ่นเคลื่อนไหวที่จะนำมาจำลองการเคลื่อนที่ของเครื่องบิน โดยใช้ Servo motor 3 ตัว เป็นต้นกำลังในการขับเคลื่อน สามารถคำนวณการเคลื่อนที่ของ Servo motor แต่ละตัวได้ตามสมการ 3.15 และ 3.16 เมื่อได้ค่าการเคลื่อนที่ของ Servo motor แล้ว ผู้วิจัยได้ทำการเขียนโปรแกรมสั่งงาน Servo motor โดยใช้ ฟังก์ชัน ของโปรแกรม LabVIEW ร่วมกับบอร์ด Microcontroller ยี่ห้อ Arduino โดยมีรายละเอียดดังนี้

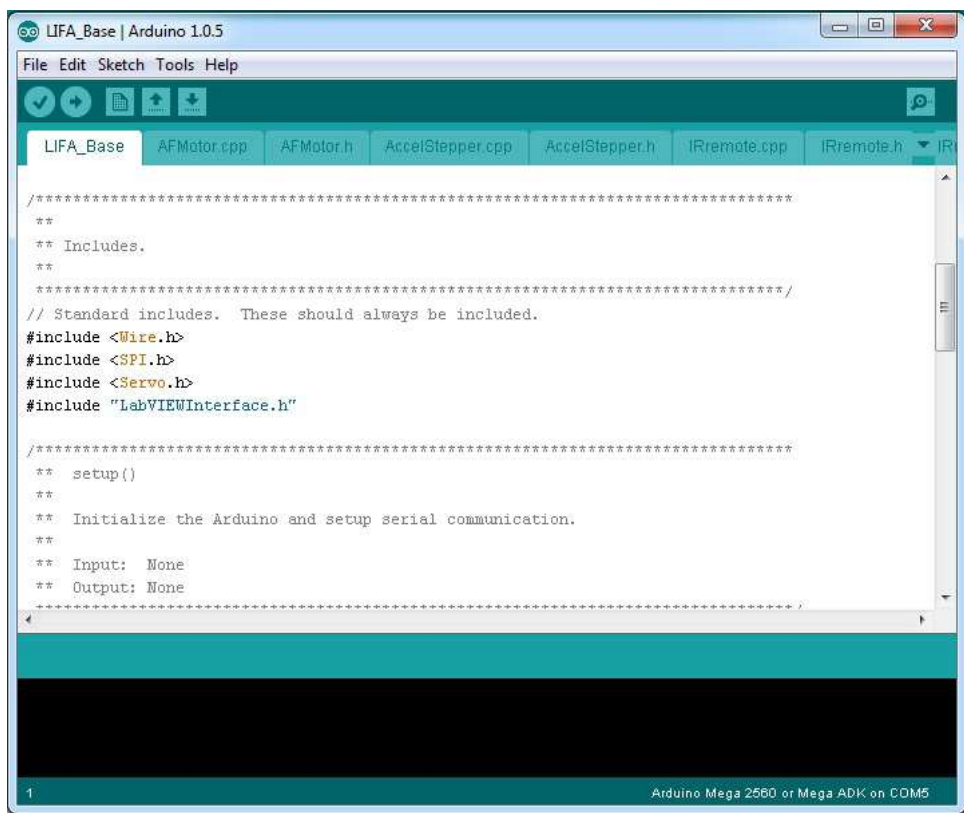
1. ติดตั้งโปรแกรม NI-VISA Drivers เพื่อทำให้ NI LabVIEW มองเห็น Serial Port และติดตั้ง VI Package Manager โปรแกรมนี้ จะเป็นตัวสร้าง แชร์ และคืนหา LabVIEW add-ons และ toolkits จาก LabVIEW Tools Network ในที่นี้ ผู้วิจัยจะนำมาไว้สำหรับคืนหา และติดตั้ง เมื่อติดตั้ง

VI Package Manager เสริมแล้ว ที่หน้าต่างโปรแกรม ให้ทำการค้นหา Tool kit ที่ชื่อ Labview Interface for Arduino ดังรูปที่ 3.13 เพื่อทั้งสองโปรแกรมนี้สามารถรับส่ง ข้อมูล ซึ่งเป็น คำสั่ง และผลลัพธ์ผ่านทางการสื่อสาร Serial Communication ซึ่ง คอมพิวเตอร์จะมองเห็นบอร์ด Arduino เป็น เหตุการณ์ Comport อนุกรม(เสมือน) ซึ่งข้อมูลจะวิ่งเข้า ออก ณ จุดนี้ จากคอมพิวเตอร์ไป Arduino และจาก Arduino ไปคอมพิวเตอร์



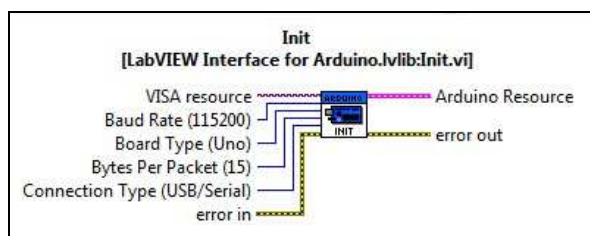
รูปที่ 3.13 โปรแกรม VI Package Manager

2. เขียนโค๊ด (Firmware) เพื่อสั่งให้บอร์ด Arduino สามารถสื่อสารกับโปรแกรม LabVIEW ได้ โดยทำการ Complie โค๊ดที่เขียนแล้วอัพโหลดเข้าไปที่ตัวบอร์ด Arduino รุ่น MEGA2560 ดังรูปที่ 3.14



รูปที่ 3.14 ตัวอย่างโค้ด (Firmware) โปรแกรม Arduino

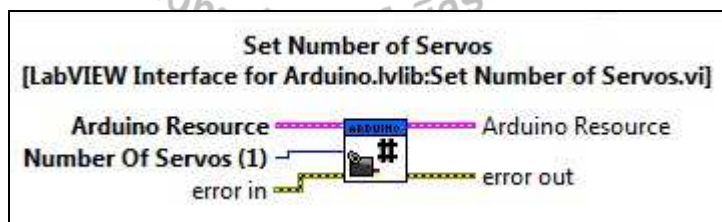
3. เขียนโปรแกรมประมวลผลการเคลื่อนที่ของ Servo Motor โดยใช้โปรแกรม LabVIEW 2010 เป็นสื่อกลางในการสื่อสารกับบอร์ด Arduino โดยมีรายละเอียดดังต่อไปนี้
เริ่มจาก เปิดใช้งาน พังก์ชันที่ใช้สำหรับสื่อสารกับ บอร์ด Arduino ซึ่งได้ทำการ
ติดตั้งมาแล้วในตอนต้น ดังที่แสดงในรูปที่ 3.15



รูปที่ 3.15 พังก์ชัน Init [LabVIEW Interface for Arduino.lvlib:Init.vi]

- VISA resource : กำหนดช่องทางการเชื่อมต่อ โดยกำหนดเป็นค่าของ COM PORT โดยสามารถดูเลขของ COM PORT ได้จาก device manager

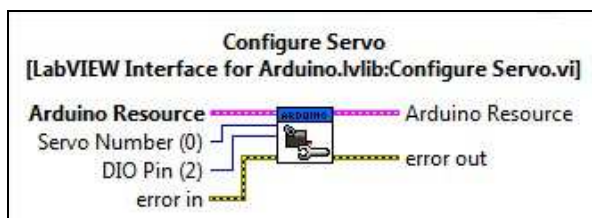
- Baud Rate : คือการกำหนดความสามารถในการส่งข้อมูลในหน่วย byte/sec โดยมีค่ากำหนดเริ่มต้นของโปรแกรมคือ 115200 byte/sec
- Board Type : คือการกำหนดชนิดของบอร์ด Arduino ที่เลือกใช้ โดยในโปรแกรมนี้เลือกเป็น Mega 2560
- Byte Per Packet : เป็นการตั้งค่าให้ตรงกับตาม firmware ที่ได้บันทึกลงในบอร์ด โดยปกติแล้วจะมีค่าเท่ากับ 15
- Connection Type : เป็นการกำหนดรูปแบบการเชื่อมต่อข้อมูลระหว่างบอร์ด Arduino กับคอมพิวเตอร์ โดยปกติแล้วจะถูกกำหนดให้เป็น USB/Serial เพราะการเชื่อมต่อนั้นใช้สาย USB เป็นตัวเชื่อมตัวข้อมูล
- error in : กำหนดครับเงื่อนไขข้อผิดพลาด จากฟังก์ชันก่อนหน้า
- Arduino Resource : เมื่อทำการกำหนดพารามิเตอร์ต่างๆ ในการเชื่อมต่อบอร์ดแล้วเรียบร้อยจะได้ช่องทางการเชื่อมต่ออุปกรณ์ Arduino Resource นี้ เพื่อนำไปใช้ในการสั่งงานหรือเรียกฟังก์ชันอื่นๆ เพื่อทำงานต่อไป
- error out : ส่งออกค่าข้อผิดพลาดทั้งหมดที่เกิดขึ้นขณะโปรแกรมดำเนินการ เมื่อกำหนดรากการเชื่อมต่อระหว่าง Arduino กับคอมพิวเตอร์เรียบร้อยแล้ว จะต้องทำการกำหนดว่ามีความต้องการจะควบคุมการทำงานของ Servo motor จำนวนกี่ตัวผ่านฟังก์ชัน Set Number of Servo ดังรูปที่ 3.16 เพื่อเป็นการรองหน่วยพื้นที่ความจำชั่วคราวในการประมวลผลไว้ล่วงหน้า



รูปที่ 3.16 ฟังก์ชัน Set Number of Servo

- Arduino Resource : การนำเข้าข้อมูลการเชื่อมต่อกับบอร์ดที่ได้ทำการเปิดใช้ในฟังก์ชัน Init
- Number of Servo : การกำหนดจำนวนของ Servo motor ที่จะใช้ในการควบคุมด้วยบอร์ดนี้ว่ามีจำนวนเท่าใด
- error in : กำหนดครับเงื่อนไขข้อผิดพลาด จากฟังก์ชันก่อนหน้า

- error out : ส่งออกค่าข้อผิดพลาดทั้งหมดที่เกิดขึ้นขณะโปรแกรมดำเนินการ หลังจากกำหนดจำนวน Servo motor ที่ต้องการควบคุมแล้วจะต้องให้ชื่อเรียกหรือ เลขหมายของมเตอร์แต่ละตัวเพื่อให้การทำงานง่ายขึ้น โดยสามารถเริ่มกำหนดได้ตั้งแต่หมายเลข 0 โดยในการกำหนดจะต้องกำหนดเลขหมายและตำแหน่งของสายสัญญาณที่ถูกเชื่อมต่อว่าอยู่ใน Digital IO Pin ที่เท่าใดอีกด้วย ดังในรูป 3.17



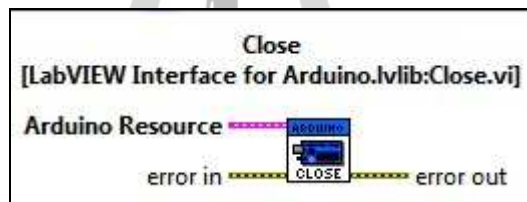
รูปที่ 3.17 ฟังก์ชัน Configure Servo

- Arduino Resource : การนำเข้าข้อมูลการเชื่อมต่อกับบอร์ดที่ได้ทำการเปิดใช้ ในฟังก์ชัน Init
- Servo Number : เป็นการกำหนดเลขหมายของ Servo motor ที่เชื่อมต่ออยู่ ที่ช่อง Digital ที่กำหนดใน DIO Pin
- DIO Pin : กำหนดหมายเลขของ Pin ที่ต้องการกำหนดหมายเลขตาม Servo Number
- error in : กำหนดครับเงื่อนไขข้อผิดพลาด จากฟังก์ชันก่อนหน้า
- error out : ส่งออกค่าข้อผิดพลาดทั้งหมดที่เกิดขึ้นขณะโปรแกรมดำเนินการ เมื่อกำหนดเลขหมายแล้วเรียบร้อยว่ามอเตอร์ตัวใดถูกต่ออยู่ที่ Pin ไหน ก็จะ สามารถสั่งงานให้มอเตอร์หมุนได้โดยผ่านฟังก์ชัน Servo Write Angle ดังรูปที่ 3.18 โดยจะต้อง กำหนดมุมที่ต้องการจะหมุนด้วยว่าต้องการหมุนไปที่มุมเท่าใด โดยมีค่าระหว่าง 0 – 180 องศา และ บอกหมายเลขมอเตอร์ที่ต้องการจะสั่งงาน



รูปที่ 3.18 ฟังก์ชัน Servo Write Angle

- Arduino Resource : การนำเข้าข้อมูลการเชื่อมต่อกับบอร์ดที่ได้ทำการปิดใช้ในฟังก์ชัน Init
 - Servo Number : กำหนดหมายเลขของ Servo motor ที่ได้ทำการกำหนดช่อง DIO ไว้แล้ว เพื่อที่จะสั่งงานให้หมุนไปยังตำแหน่งที่กำหนด
 - DIO Pin : กำหนดหมายเลขของ Pin ที่ต้องการกำหนดหมายเลขตาม Servo Number
 - error in : กำหนดรับเงื่อนไขข้อผิดพลาด จากฟังก์ชันก่อนหน้า
 - error out : ส่งออกค่าข้อผิดพลาดทั้งหมดที่เกิดขึ้นขณะโปรแกรมดำเนินการ เมื่อทำการสั่งงานหรือกระทำการใด ๆ ในโปรแกรมเสร็จสิ้นแล้วจะต้องไม่ลืมการปิดช่องทางการเชื่อมต่อ เนื่องจากหากเราไม่ปิดช่องทางการเชื่อมต่อในการเชื่อมต่อครั้งถัดไปอาจไม่สามารถใช้งานโปรแกรมได้ เนื่องจากการทำงานของช่องทางที่เราเคยใช้นั้นยังคงถูกใช้งานอยู่ตลอดเวลา ดังนั้นเพื่อการทำงานที่สะดวกและรวดเร็วในแต่ละครั้งที่มีการรันโปรแกรมจะต้องนำฟังก์ชัน Close ดังรูปที่ 3.19 มาปิดช่องทางการเชื่อมต่อเสมอ



รูปที่ 3.19 ฟังก์ชัน Close

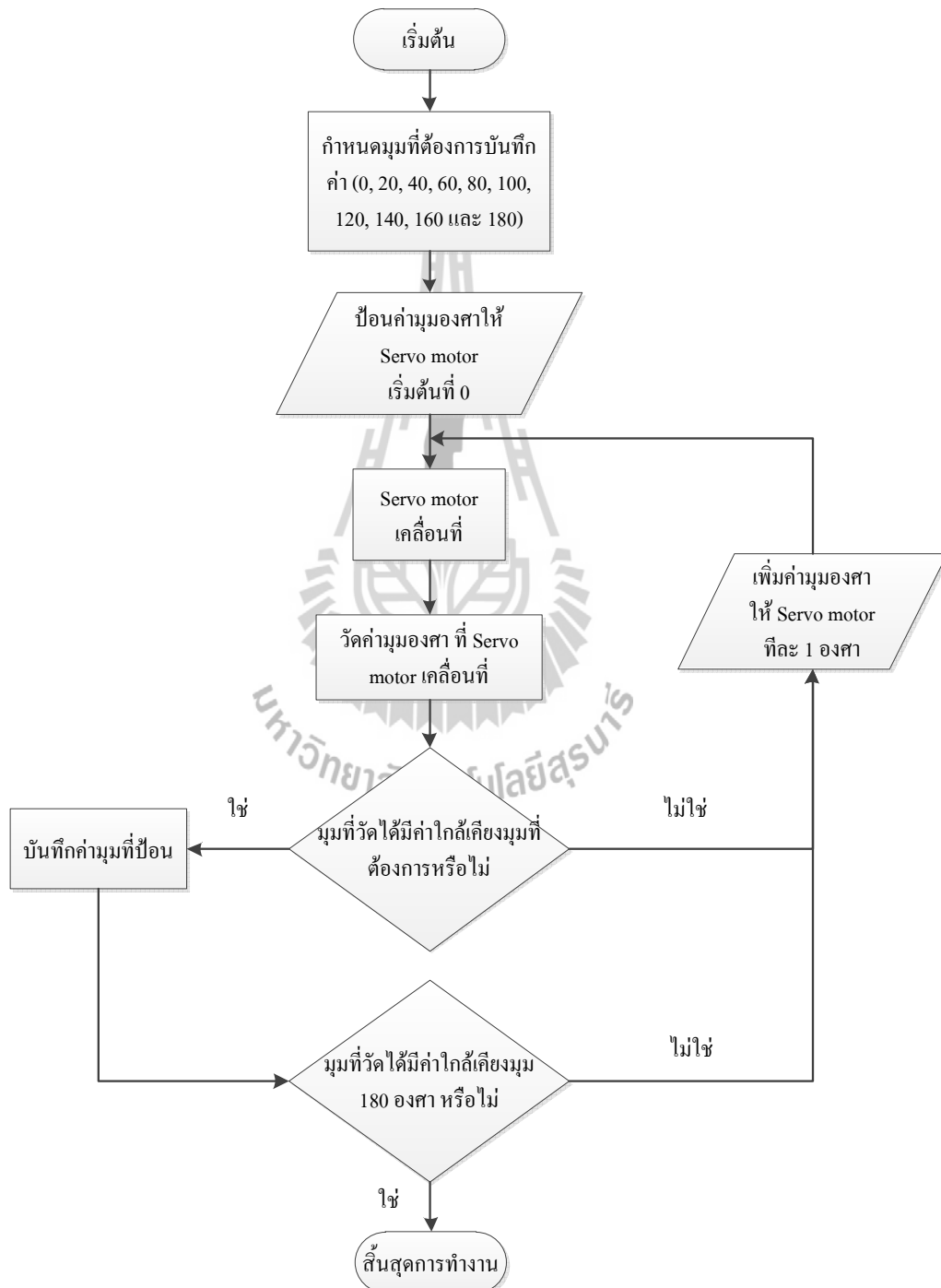
- Arduino Resource : การนำเข้าข้อมูลการเชื่อมต่อกับบอร์ดที่ได้ทำการปิดใช้ในฟังก์ชัน Init หรือเป็นข้อมูลส่งออกจากฟังก์ชันต่าง ๆ ของ Arduino
 - error in : กำหนดรับเงื่อนไขข้อผิดพลาด จากฟังก์ชันก่อนหน้า
 - error out : ส่งออกค่าข้อผิดพลาดทั้งหมดที่เกิดขึ้นขณะโปรแกรมดำเนินการ

3.5 การตรวจสอบความถูกต้อง

งานวิจัยจะเชื่อถือได้มากน้อยเพียงใดย่อมขึ้นอยู่กับเครื่องมือที่ใช้ในการรวบรวมข้อมูลถ้าเครื่องมือไม่มีความเที่ยงตรง เชื่อถือไม่ได้ งานวิจัยก็เชื่อถือไม่ได้ เช่นกัน ดังนั้น ในงานวิจัยนี้ ได้ทำการออกแบบ การตรวจสอบความถูกต้อง เป็น 2 ส่วนหลัก ๆ ดังต่อไปนี้

3.5.1 ความถูกต้องของ Servo Motor แต่ละตัว

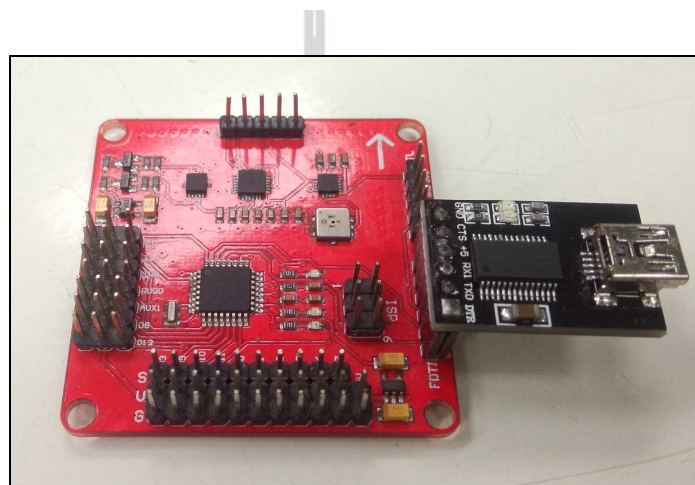
ผู้วิจัยได้ทำการออกแบบการทดลอง การตรวจสอบความถูกต้องของ Servo motors โดย เขียนโปรแกรมสั่งค่ามุมการเคลื่อนที่ให้ Servo Motors ทีละมุม และใช้ไมโครแทรคเตอร์ในการตรวจสอบมุม สามารถสรุปได้ตาม Flowchart ดังต่อไปนี้



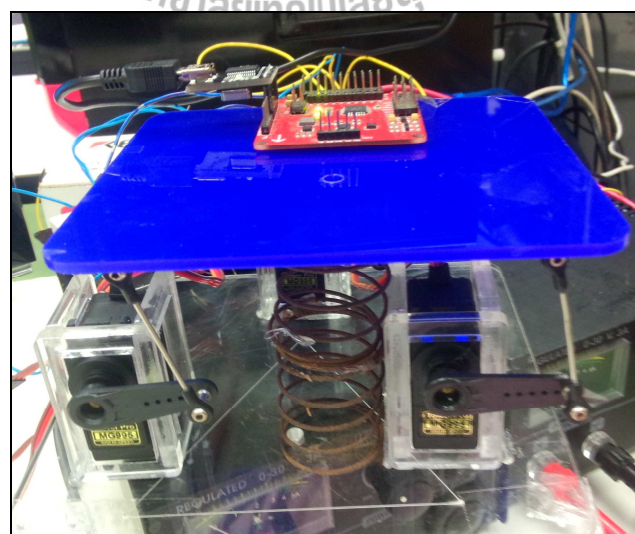
รูปที่ 3.20 Flowchart การตรวจสอบความถูกต้องของเซอร์โวมอเตอร์แต่ตัว

3.5.2 ความถูกต้องของระบบ

ผู้วิจัยได้ทำการออกแบบการทดลอง การตรวจสอบความถูกต้องของระบบ โดยใช้โปรแกรมสั่งค่ามุ่งการเคลื่อนที่ให้ Platform โดยใช้ฟังก์ชันแบบขั้นบันได (Step Function) และ ฟังก์ชันแบบลาดเอียง (Ramp Function) ในการกำหนดสัญญาณอินพุตแล้วใช้ไฮโรสโคป (gyroscope) ในงานวิจัยใช้ บอร์ดไมโครคอนโทรลเลอร์ MultiWii 2012 ซึ่งเป็นบอร์ดไมโครคอนโทรลเลอร์ที่ได้รับความนิยมใช้งานอย่างแพร่หลาย ในอากาศยานพาณิชย์ในพัด เนื่องจาก มีความสามารถในการตรวจสอบทางทางการบิน และยังมีระบบ GPS ติดตั้งมาด้วย ที่สำคัญคือ มี ความน่าเชื่อถือ และวัดค่าได้อย่างแม่นยำ ทำการตรวจสอบการตอบสนองของระบบ



รูปที่ 3.21 บอร์ดไมโครคอนโทรลเลอร์ MultiWii 2012



รูปที่ 3.22 การทดสอบความถูกต้องของระบบ

บทที่ 4

ผลการทดลอง

4.1 การศึกษาความสามารถของโปรแกรมตามหัวข้อที่ต้องการ

จากการศึกษาความสามารถของโปรแกรมจำลองการบินทั้งสองโปรแกรม สามารถสรุปผลการศึกษา ดังตารางที่ 4.1

ตารางที่ 4.1 ความสามารถของโปรแกรมจำลองการบินที่ทำการศึกษา

หัวข้อ / โปรแกรม	Microsoft Flight Simulator X	X-Plane v9
การต่อภาพ helyay หน้าจอ	ขึ้นอยู่กับการรีดแสดงผลภาพของคอมพิวเตอร์	ขึ้นอยู่กับคอมพิวเตอร์ที่นำมาต่อพ่วงในวง LAN
การส่งสถานะท่าทางการบิน	ไม่สามารถส่งต่อข้อมูลอุปกรณ์ได้โดยการเขียนโปรแกรมรับค่าต้องอาศัยโปรแกรมเสริมในการตึงข้อมูล (Motion Platform Designer)	สามารถส่งต่อข้อมูลอุปกรณ์ได้โดยการเขียนโปรแกรมรับค่า
การเชื่อมต่ออุปกรณ์บังคับและอุปกรณ์แสดงผล	สามารถเชื่อมต่อได้	สามารถเชื่อมต่อได้

จะเห็นได้ว่าความสามารถของโปรแกรมทั้งสามหัวข้อนี้ โปรแกรม X-Plane ได้ตอบโจทย์ให้กับการทำงานในงานวิจัยนี้ได้อย่างดี แม้ในข้อที่ 1 จะต้องใช้ทรัพยากรคอมพิวเตอร์มากกว่าโปรแกรม FSX นั้น แต่โปรแกรม FSX ก็ไม่สามารถตอบโจทย์ความต้องการข้อมูลท่าทางการบิน ณ ขณะนั้น เพื่อใช้ในการนำไปประมวลผลเพื่อให้ได้ตำแหน่งการเคลื่อนที่ของ Platform ได้ ซึ่งถือว่าเป็นหัวใจหลักของงานวิจัยนี้

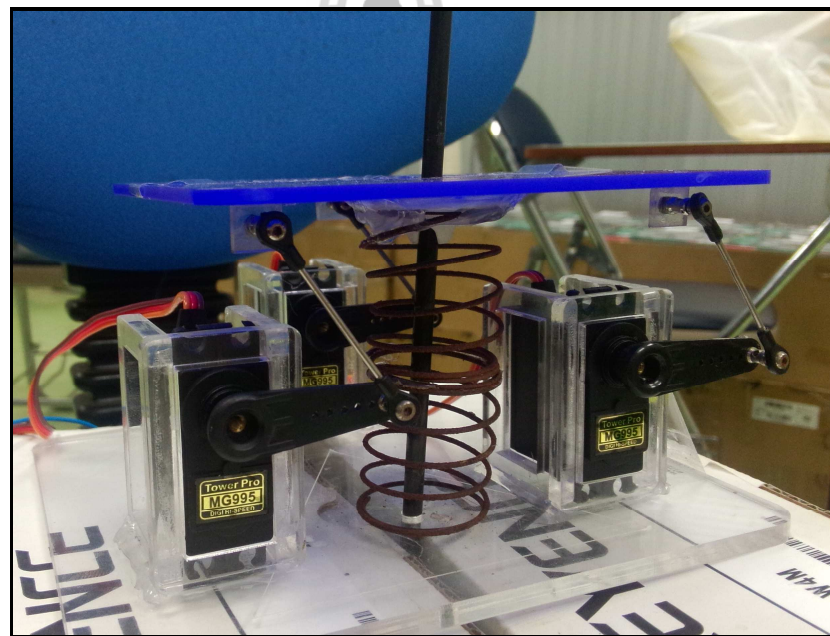
ดังนั้นจึงสรุปในหัวข้อนี้ได้ว่าโปรแกรม X-Plane ถูกเลือกใช้เป็นโปรแกรมที่จะนำมาศึกษา และใช้งานวิจัย

4.2 การออกแบบและขนาดของแผ่นเคลื่อนไหว (Dimension of Platform)

จากข้อกำหนดต่าง ๆ ของแผ่นเคลื่อนไหว (Platform) ในบทที่ 3 นั้น ซึ่งนำมาออกแบบโดยมีพารามิเตอร์ดังตารางที่ 4.2

ตารางที่ 4.2 ค่าพารามิเตอร์ที่ใช้ในการออกแบบ

ระยะระหว่าง Servo Motor แต่ละตัว (L)	100 มิลลิเมตร (mm)
ความยาวแขนของ Servo Motor (r)	20 มิลลิเมตร (mm)
ระยะเยื่องของแผ่นเคลื่อนไหวกับฐาน ในแนวแกน (d)	0 มิลลิเมตร (mm)
ความสูงของแผ่นเคลื่อนไหวเทียบกับจุดหมุน	80 มิลลิเมตร (mm)



รูปที่ 4.1 เครื่องจำลองการบินต้นแบบ

4.3 การทดลองเปรียบวัดการเคลื่อนที่ของเซอร์โวมอเตอร์ทั้งสามชุด

เนื่องด้วยการควบคุมตำแหน่งหมุนในการหมุนของเซอร์โวมอเตอร์นั้นทำได้โดยการใช้ฟังก์ชันในโปรแกรม LabVIEW ร่วมกับบอร์ด Arduino ที่ได้ถูกตั้งค่าไว้ในบทที่ 3 แล้วนั้น เมื่อกำหนดมุมที่ต้องการลงในฟังก์ชันแล้วพบว่ามุมที่เซอร์โวมอเตอร์กวาดไปหรือเคลื่อนที่ไปนั้นไม่ตรงตามคำสั่งที่ต้องการดังนั้นจึงต้องทำการศึกษาเพื่อเปรียบวัดเซอร์โวมอเตอร์เพื่อให้ได้มุมการหมุนที่ถูกต้องตามความต้องการ โดยในการทดลองนี้แบ่งออกเป็นขั้นตอนดังนี้คือ

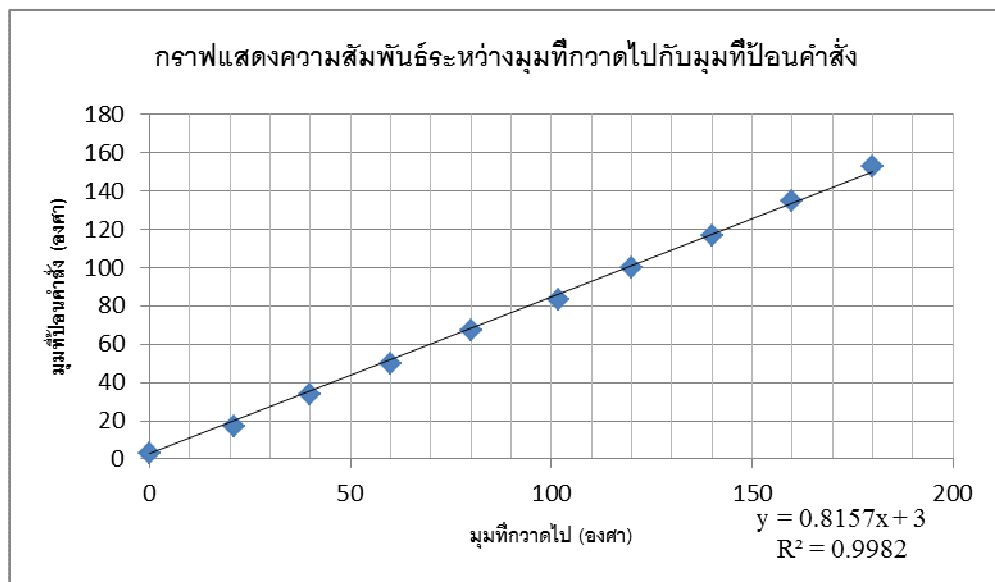
1. การทดลองเพื่อหามุมที่เซอร์โวมอเตอร์กวาดไปโดยให้คำสั่งตามปกติ
2. นำข้อมูลที่ได้จากขั้นตอนที่ 1 มาหาความสัมพันธ์สร้างสมการเชิงเส้นเพื่อหาค่ามุมที่ต้องป้อนให้เซอร์โวมอเตอร์เพื่อให้ได้มุมการเคลื่อนที่ที่ต้องการ
3. นำสมการที่ได้มาทดลองหามุมที่ต้องการและสั่งการเซอร์โวมอเตอร์ว่ามุมที่เซอร์โวมอเตอร์เคลื่อนที่นั้นถูกต้องตรงตามค่าที่ต้องการหรือไม่ หากไม่มีความคลาดเคลื่อนที่สามารถยอมรับได้หรือไม่

โดยมีผลการทดลองของเซอร์โวมอเตอร์แต่ละตัวดังนี้

4.3.1 เซอร์โวมอเตอร์ตัวที่ 1

ตารางที่ 4.3 ผลการตอบสนองของเซอร์โวมอเตอร์ตัวที่ 1

มุมที่ต้องการ (องศา)	มุมที่ต้องป้อนคำสั่ง (องศา)	มุมที่กวาดไป(องศา)
0	3	0
20	17	21
40	34	40
60	50	60
80	67	80
100	83	102
120	100	120
140	117	140
160	135	160
180	153	180



รูปที่ 4.2 กราฟแสดงความสัมพันธ์ระหว่างมุมที่กวาดไปกับมุมที่ป้อนคำสั่งของเซอร์โวมอเตอร์ 1

จากราฟในรูปที่ 4.2 เห็นได้ว่าข้อมูลมีความสัมพันธ์กันเป็นเชิงเส้นตรง จะได้สมการความสัมพันธ์เป็น $y = 0.8157x + 3$ เมื่อ x คือมุมที่ต้องการ และ y คือมุมที่ต้องป้อนคำสั่ง

เมื่อได้สมการในการสั่งงานเซอร์โวมอเตอร์แล้วนั้นก็นำมาทำการทดลองอีกครั้งเพื่อหาความแม่นยำของการสั่งงานเซอร์โวมอเตอร์ผ่านสมการที่ได้มา ซึ่งผลการทดลองเป็นดังนี้

ตารางที่ 4.4 ค่าความแม่นยำของการสั่งงานเซอร์โวมอเตอร์ตัวที่ 1

มุมที่ต้องการ (องศา)	ค่ามุมที่ต้องป้อนคำสั่ง (องศา)	มุมที่กวาดไป (องศา)			ค่าเฉลี่ยมุมที่กวาดไป (องศา)	FSO Error (%)
		1	2	3		
0	3	0	0	0	0	0.00
10	11	12	12	12	12	1.11
20	19	22	22	22	22	1.11
30	27	30	30	30	30	0.00
40	36	42	42	42	42	1.11
50	44	52	52	52	52	1.11

ตารางที่ 4.4 ค่าความแม่นยำของการสั่งงานเซอร์โวมอเตอร์ตัวที่ 1 (ต่อ)

มุมที่ต้องการ (องศา)	ค่ามุมที่ต้องป้อนคำสั่ง (องศา)	มุมที่กวาดไป (องศา)			ค่าเฉลี่ยมุมที่กวาดไป (องศา)	FSO Error (%)
		1	2	3		
60	52	62	62	62	62	<u>1.11</u>
70	60	71	71	71	71	0.56
80	68	81	81	81	81	0.56
90	76	91	91	91	91	0.56
100	85	102	102	102	102	<u>1.11</u>
110	93	110	110	110	110	0.00
120	101	120	120	120	120	0.00
130	109	130	130	130	130	0.00
140	117	140	140	140	140	0.00
150	125	148	148	148	148	<u>1.11</u>
160	134	159	159	159	159	0.56
170	142	168	168	168	168	<u>1.11</u>
180	150	178	178	178	178	<u>1.11</u>

จากตารางที่ 4.4 พบว่าสมการที่สร้างขึ้นมาเพื่อหามุมที่ต้องป้อนคำสั่งเพื่อให้ได้มุมที่ต้องการนั้นมีค่าความคลาดเคลื่อนสูงสุดอยู่ที่ 1.11 % เมื่อเทียบกับช่วงความห่างของมุมที่กวาดไปได้ทั้งหมด (180 องศา) ซึ่งค่าความคลาดเคลื่อนสูงสุดนี้สามารถยอมรับได้

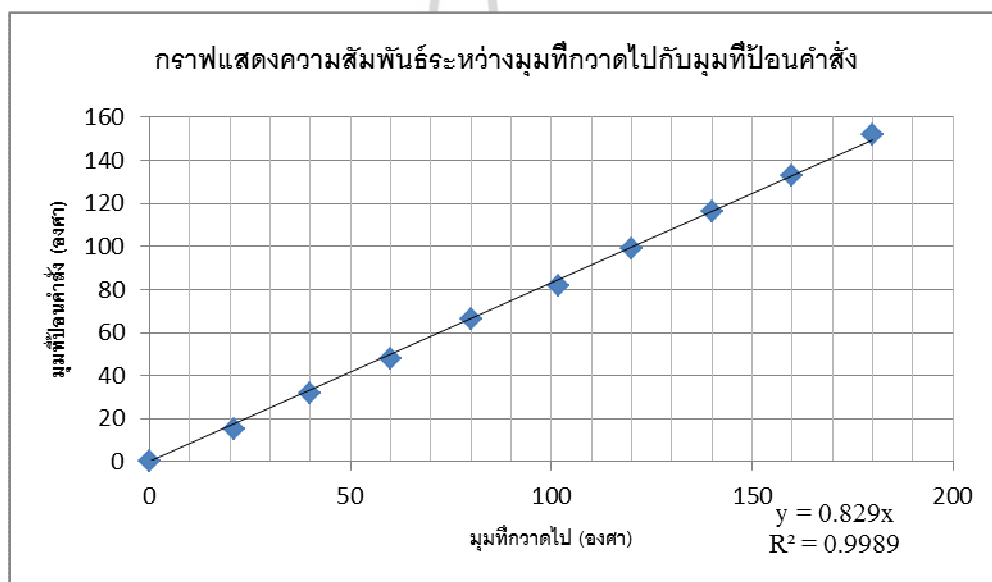
4.3.2 เซอร์โวมอเตอร์ตัวที่ 2

ตารางที่ 4.5 ผลการตอบสนองของเซอร์โวมอเตอร์ตัวที่ 2

มุมที่ต้องการ (องศา)	มุมที่ต้องป้อนคำสั่ง (องศา)	มุมที่กวาดไป(องศา)
0	3	0
20	17	21
40	34	40

ตารางที่ 4.5 ผลการตอบสนองของเชอร์โวมอเตอร์ตัวที่ 2 (ต่อ)

มุมที่ต้องการ (องศา)	มุมที่ต้องป้อนคำสั่ง (องศา)	มุมที่กวดไป(องศา)
60	50	60
80	67	80
100	83	102
120	100	120
140	117	140
160	135	160
180	153	180



รูปที่ 4.3 กราฟแสดงความสัมพันธ์ระหว่างมุมที่กวดไปกับมุมที่ป้อนคำสั่งของเชอร์โวมอเตอร์ 2

จากราฟในรูปที่ 4.3 เห็นได้ว่าข้อมูลมีความสัมพันธ์กันเป็นเชิงเส้นตรง จะได้สมการความสัมพันธ์เป็น $y = 0.829x$

เมื่อ x คือมุมที่ต้องการ และ y คือมุมที่ต้องป้อนคำสั่ง

เมื่อได้สมการในการสั่งงานเชอร์โวมอเตอร์แล้วนั้นก็นำมาทำการทดลองอีกครั้ง เพื่อหาความแม่นยำของการสั่งงานเชอร์โวมอเตอร์ผ่านสมการที่ได้มา ซึ่งผลการทดลองเป็นดังนี้

ตารางที่ 4.6 ค่าความแม่นยำของการสั่งงานเซอร์โวมอเตอร์ตัวที่ 2

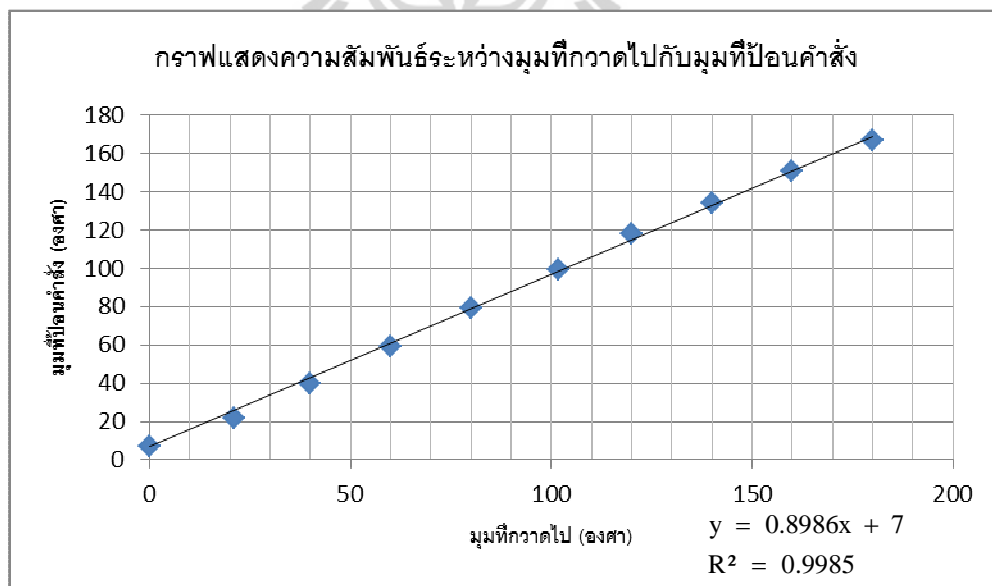
มุมที่ต้องการ (องศา)	ค่ามุมที่ต้องป้อนคำสั่ง (องศา)	มุมที่คาดไป (องศา)			ค่าเฉลี่ยมุมที่คาดไป (องศา)	FSO Error (%)
		1	2	3		
0	0	0	0	0	0	0.00
10	8	12	12	12	12	1.11
20	17	23	23	23	23	<u>1.67</u>
30	25	32	32	32	32	1.11
40	33	41	41	41	41	0.56
50	41	51	51	51	51	0.56
60	50	62	62	62	62	1.11
70	58	72	72	72	72	1.11
80	66	82	82	82	82	1.11
90	75	92	92	92	92	1.11
100	83	102	102	102	102	1.11
110	91	112	112	112	112	1.11
120	99	122	122	122	122	1.11
130	108	132	132	132	132	1.11
140	116	142	142	142	142	1.11
150	124	151	151	151	151	0.56
160	133	160	160	160	160	0.00
170	141	170	170	170	170	0.00
180	149	180	180	180	180	0.00

จากตารางที่ 4.6 พบว่าสมการที่สร้างขึ้นมาเพื่อหามุมที่ต้องป้อนคำสั่งเพื่อให้ได้มุมที่ต้องการนั้นมีค่าความคลาดเคลื่อนสูงสุดอยู่ที่ 1.67 % เมื่อเทียบกับช่วงความห่างของมุมที่คาดไปได้ทั้งหมด (180 องศา) ซึ่งค่าความคลาดเคลื่อนสูงสุดนี้สามารถยอมรับได้

4.3.3 เชอร์โวโมเตอร์ตัวที่ 3

ตารางที่ 4.7 ผลการตอบสนองของเชอร์โวโมเตอร์ตัวที่ 3

มุมที่ต้องการ (องศา)	มุมที่ต้องป้อนคำสั่ง (องศา)	มุมที่กวดไป(องศา)
0	7	0
20	22	21
40	40	40
60	59	60
80	79	80
100	99	102
120	118	120
140	134	140
160	151	160
180	167	180



รูปที่ 4.4 กราฟแสดงความสัมพันธ์ระหว่างมุมที่กวดไปกับมุมที่ป้อนคำสั่งของเชอร์โวโมเตอร์ 3

จากราฟในรูปที่ 4.4 เห็นได้ว่าข้อมูลมีความสัมพันธ์กันเป็นเชิงเส้นตรง จะได้สมการความสัมพันธ์เป็น $y = 0.8986x + 7$

เมื่อ x คือมุมที่ต้องการ และ y คือมุมที่ต้องป้อนคำสั่ง

เมื่อได้สมการในการสั่งงานเซอร์โวมอเตอร์แล้วนั้นก็นำมาทำการทดลองอีกครั้งเพื่อหาความแม่นยำของการสั่งงานเซอร์โวมอเตอร์ผ่านสมการที่ได้มา ซึ่งผลการทดลองเป็นดังนี้

ตารางที่ 4.8 ค่าความแม่นยำของการสั่งงานเซอร์โวมอเตอร์ตัวที่ 3

มุมที่ต้องการ (องศา)	ค่ามุมที่ต้องป้อนคำสั่ง (องศา)	มุมที่คาดไป (องศา)			ค่าเฉลี่ยมุมที่คาดไป (องศา)	FSO Error (%)
		1	2	3		
0	7	0	0	0	0	0.00
10	16	10	10	10	10	0.00
20	25	22	22	22	22	1.11
30	34	32	32	32	32	1.11
40	43	41	41	41	41	0.56
50	52	51	51	51	51	0.56
60	61	60	60	60	60	0.00
70	70	70	70	70	70	0.00
80	79	80	80	80	80	0.00
90	88	89	89	89	89	0.56
100	97	98	98	98	98	1.11
110	106	108	108	108	108	1.11
120	115	118	118	118	118	1.11
130	124	129	129	129	129	0.56
140	133	139	139	139	139	0.56
150	142	150	150	150	150	0.00
160	151	160	160	160	160	0.00
170	160	170	170	170	170	0.00
180	169	180	180	180	180	0.00

จากตารางที่ 4.8 พบว่าสมการที่สร้างขึ้นมาเพื่อหามุนที่ต้องป้อนคำสั่งเพื่อให้ได้มุนที่ต้องการนั้นมีค่าความคลาดเคลื่อนสูงสุดอยู่ที่ 1.11 % เมื่อเทียบกับช่วงความห่างของมุนที่คาดไว้ได้ทั้งหมด (180 องศา) ซึ่งค่าความคลาดเคลื่อนสูงสุดนี้สามารถยอมรับได้

จากข้อมูลการทดลองเปรียบเทียบความแม่นยำของการสั่งงานเชอร์โวโมเตอร์นั้นได้ข้อสรุปดังนี้

ตารางที่ 4.9 ผลการตอบสนองและค่าความคลาดเคลื่อนของเชอร์โวโมเตอร์ ทั้งสาม

เชอร์โวโมเตอร์	สมการควบคุม	ค่าความคลาดเคลื่อนสูงสุด
ตัวที่ 1	$y = 0.8157 + 3$	1.11%
ตัวที่ 2	$y = 0.8290 + 0$	1.67%
ตัวที่ 3	$y = 0.8986 + 7$	1.11%

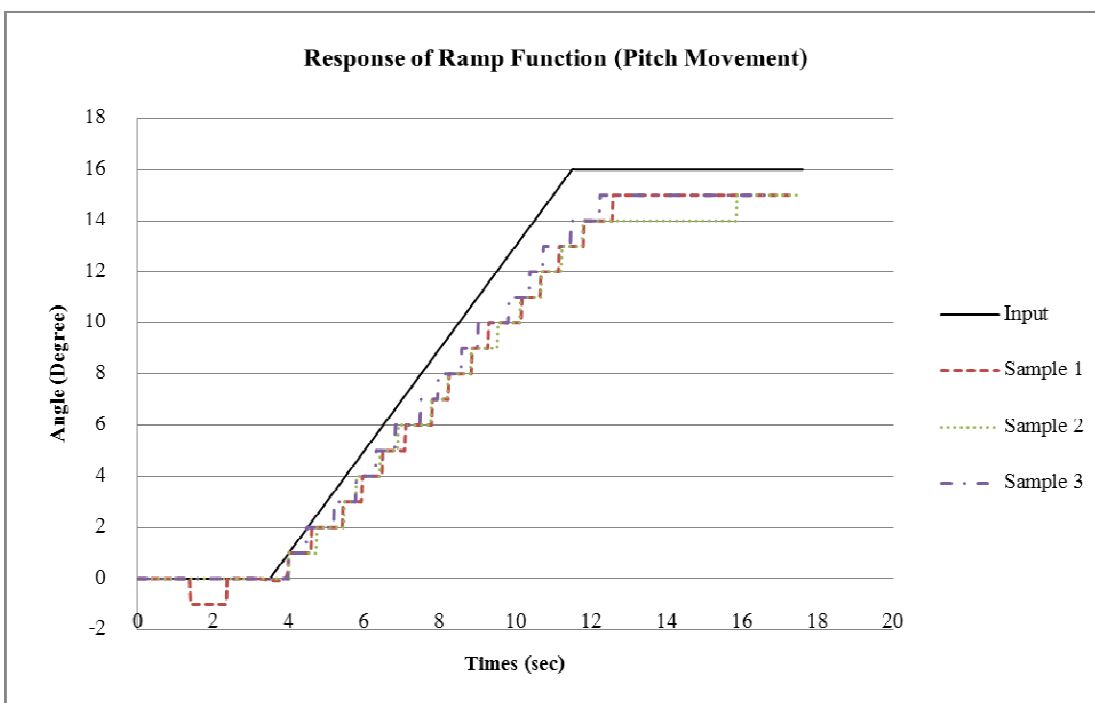
จากการได้สมการเพื่อใช้ในการคำนวณหามุนที่ต้องป้อนคำสั่งให้กับมอเตอร์แล้วซึ่งค่าความคลาดเคลื่อนสูงสุดนั้นสามารถยอมรับได้ ในขั้นตอนต่อไปนี้คือการนำเอามอเตอร์ไปติดไว้บน Platform และทำการหมุนตามสมการการคำนวณเพื่อให้ Platform ทำงานตามต้องการ โดยเพื่อให้เกิดความเชื่อมั่นในการคำนวณและอุปกรณ์ จำเป็นต้องทดลองโดยการให้มุนของ Platform ที่ต้องการแล้วทำการสั่งงานมอเตอร์เพื่อหมุนไปยังมุนการหมุนที่ได้จากการคำนวณแล้ววัดมุนของ Platform ที่ได้กับมุนของ Platform ที่ต้องการ

4.4 การทดลองความถูกต้องของระบบ

เนื่องจากงานวิจัยนี้ ได้ทำการออกแบบระบบการควบคุมเป็นแบบเปิด (Open Loop control Control) ส่งผลให้ค่าเอาด้วยไม่มีผลต่อการควบคุมของระบบ ผู้วิจัยจึงได้ทำการทดลองตรวจสอบการตอบสนองของระบบดังที่กล่าวไว้ในบทที่ 3 เพื่อเป็นข้อพิสูจน์ความน่าเชื่อถือของระบบที่ได้ทำการวิจัยว่ามีความถูกต้องน่าเชื่อถือมากน้อยเพียงใด

4.4.1 การตอบสนองฟังก์ชันลาดเอียง (Ramp Function)

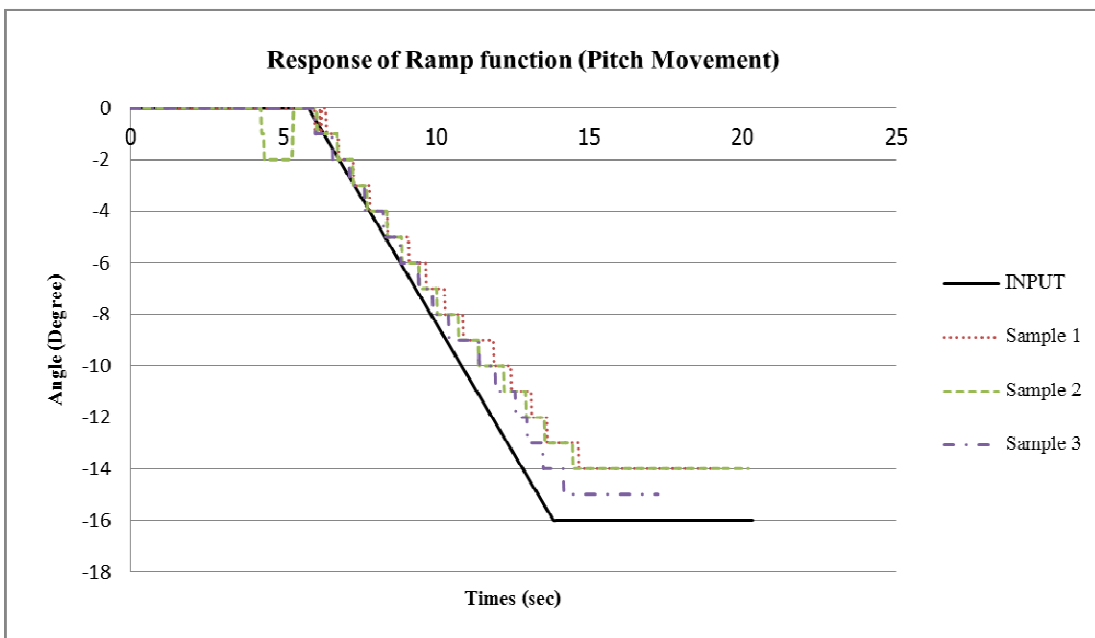
ในการทดสอบการตอบสนองฟังก์ชันลาดเอียง ผู้วิจัยได้ทดสอบการตอบสนองลักษณะการเคลื่อนที่ใน 2 ทิศทาง คือ การเคลื่อนที่รอบแกนตามยาว (Pitch) และเคลื่อนที่รอบแกนตามยาว (Roll) ซึ่งมีผลการตอบสนองดังนี้



รูปที่ 4.5 กราฟแสดงผลการตอบสนองพังก์ชันลาดเอียงของการเคลื่อนที่รับแกนตามขวางในทิศทางบวก

จากราฟการตอบสนองพังก์ชันลาดเอียงในการเคลื่อนที่รับแกนตามขวางในทิศทางบวกโดยให้แผ่นเคลื่อนไหว (Platform) เคลื่อนที่จากมุน 0 องศาไปที่ 16 องศา ในเวลา 8 วินาที โดยทำการทดลอง 3 ครั้ง เพื่อเทียบผลการตอบสนองดังแสดงในรูปที่ 4.5 พบว่า ในช่วงที่แผ่นเคลื่อนไหวเริ่มจะทำงาน เชอร์โวมอเตอร์จะมีการซัดตัวเพื่อรับค่าสัญญาณ ที่ถูกป้อนเข้ามา ทำให้เกิดการเคลื่อนที่ผิดเปลกจากค่าสัญญาณในช่วงแรก (0-4 วินาที) หลังจากนั้น แผ่นเคลื่อนไหวจะเริ่มเคลื่อนตัวเป็นมุมบวกตั้งแต่เวลา 4 วินาที เป็นต้นไป จนกระทั่งเข้าสู่สถานะคงที่ที่เวลา 12 วินาที ซึ่งสัญญาณที่ป้อนใช้เวลาการเคลื่อนที่ 8 วินาที (จากวินาทีที่ 3.5 ถึง วินาทีที่ 11.5) ในขณะที่การตอบสนองใช้เวลาในการเคลื่อนที่ 8 วินาที เช่นเดียวกัน โดยเริ่มจากวินาทีที่ 4 ถึง วินาทีที่ 12 ซึ่งมากกว่าสัญญาณเพียง 0.5 วินาที

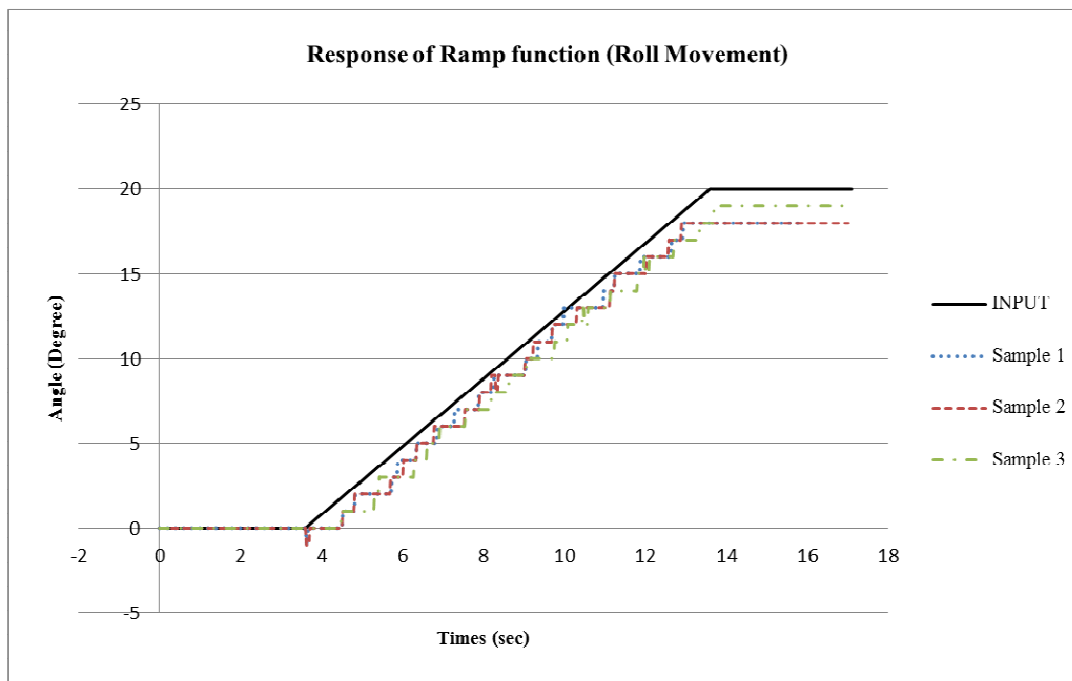
ค่าความคาดเคลื่อนของแผ่นเคลื่อนไหวมากที่สุดอยู่ที่ตำแหน่งสภาวะคงที่ เมื่อเทียบมุนองศาที่แผ่นเคลื่อนไหวเคลื่อนที่ได้ (14°) กับสัญญาณที่ป้อน (16°) พบว่า มีค่าคาดเคลื่อนจากคำสั่ง 2 องศา คิดเป็นเปอร์เซ็นต์ความคาดเคลื่อน 12.5 เปอร์เซ็นต์



รูปที่ 4.6 กราฟแสดงผลการตอบสนองฟังก์ชันลาดเอียงของการเคลื่อนที่รอบแกนตามขวางในทิศทางลง

จากราฟการตอบสนองฟังก์ชันลาดเอียงในการเคลื่อนที่รอบแกนตามขวางในทิศทางลง โดยให้แผ่นเคลื่อนไหว (Platform) เคลื่อนที่จากมุม 0 องศาไปที่ -16 องศา ในเวลา 8 วินาที โดยทำการทดลอง 3 ครั้ง เพื่อเทียบผลการตอบสนองดังแสดงในรูปที่ 4.6 พบว่า ในช่วงที่แผ่นเคลื่อนไหวเริ่มจะทำงาน เชอร์โวมอเตอร์จะมีการซัดตัวเพื่อรับก้าสัญญาณ ที่ถูกป้อนเข้ามาทำให้เกิดการเคลื่อนที่ผิดแปลงจากค่าสัญญาณในช่วงแรก (0-5 วินาที) หลังจากนั้น แผ่นเคลื่อนไหวก็จะเริ่มเคลื่อนตัวเป็นมุมลบตั้งแต่เวลา 6 วินาที เป็นต้นไป จนกระทั่งเข้าสู่สถานะคงที่ที่เวลา 14 วินาที ซึ่งสัญญาณที่ป้อนใช้เวลาการเคลื่อนที่ 8 วินาที (จากวินาทีที่ 6 ถึง วินาทีที่ 14) ในขณะที่การตอบสนองใช้เวลาในการเคลื่อนที่ 8.2 วินาที ซึ่งใช้เวลาในการตอบสนองมากกว่า 0.2 วินาที โดยเริ่มจากวินาทีที่ 6.4 ถึง วินาทีที่ 14.6 ซึ่งมากกว่าสัญญาณ 0.6 วินาที

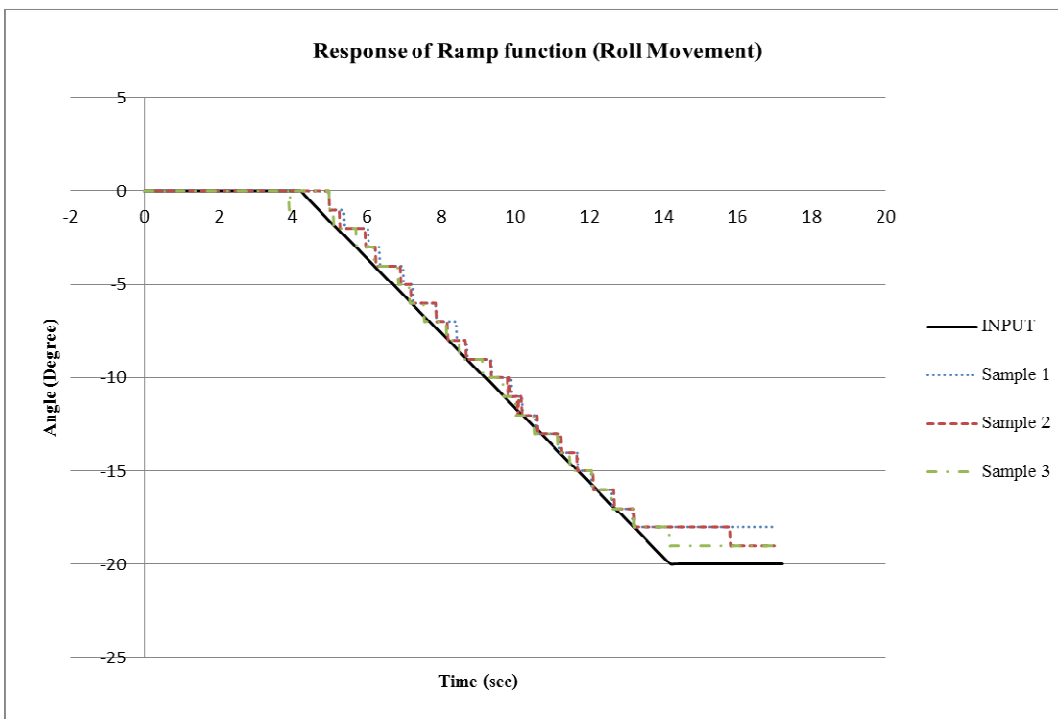
ค่าความคาดเคลื่อนของแผ่นเคลื่อนไหวสูงสุดอยู่ที่ตำแหน่งสภาวะคงที่ เมื่อเทียบมุมองศาที่แผ่นเคลื่อนไหวเคลื่อนที่ได้ (14°) กับสัญญาณที่ป้อน (16°) พบว่า มีค่าคาดเคลื่อนจากคำสั่ง 2 องศา คิดเป็นเปอร์เซ็นต์ความคาดเคลื่อน 12.5 เปอร์เซ็นต์



รูปที่ 4.7 กราฟแสดงผลการตอบสนองฟังก์ชันลาดเอียงของการเคลื่อนที่รอบแกนตามยาวในทิศทางบวก

จากราฟการตอบสนองฟังก์ชันลาดเอียงในการเคลื่อนที่รอบแกนตามยาวในทิศทางบวกโดยให้แผ่นเคลื่อนไหว (Platform) เคลื่อนที่จากมุม 0 องศาไปที่ 20 องศา ในเวลา 9 วินาที โดยทำการทดลอง 3 ครั้ง เพื่อเทียบผลการตอบสนองดังแสดงในรูปที่ 4.7 พบว่า ในช่วงที่แผ่นเคลื่อนไหวเริ่มจะทำงาน เชอร์โว้มอเตอร์จะมีการซัดตัวเพื่อรับค่าสัญญาณ ที่ถูกป้อนเข้ามา ทำให้เกิดการเคลื่อนที่ผิดแบลกจากค่าสัญญาณในช่วงแรก (0-4 วินาที) หลังจากนั้น แผ่นเคลื่อนไหวจะเริ่มเคลื่อนตัวเป็นมุมบวกตั้งแต่เวลา 4 วินาที เป็นต้นไป จนกระทั่งเข้าสู่สถานะคงที่ที่เวลา 13 วินาที ซึ่งสัญญาณที่ป้อนใช้เวลาการเคลื่อนที่ 9 วินาที (จากวินาทีที่ 4 ถึง วินาทีที่ 13) ในขณะที่การตอบสนองใช้เวลาในการเคลื่อนที่ 9.2 วินาที ซึ่งใช้เวลาในการตอบสนองมากกว่า 0.2 วินาที โดยเริ่มจากวินาทีที่ 4.7 ถึง วินาทีที่ 13.7 ซึ่งมากกว่าสัญญาณ 0.7 วินาที

ค่าความคาดเคลื่อนของแผ่นเคลื่อนไหวมากที่สุดอยู่ที่ตำแหน่งสภาวะคงที่ เมื่อเทียบมุมองศาที่แผ่นเคลื่อนไหวเคลื่อนที่ได้ (18°) กับสัญญาณที่ป้อน (20°) พบว่า มีค่าคาดเคลื่อนจากคำสั่ง 2 องศา คิดเป็นเปอร์เซ็นต์ความคาดเคลื่อน 10 เปอร์เซ็นต์



รูปที่ 4.8 กราฟแสดงผลการตอบสนองพิงก์ชันลาดเอียงของการเคลื่อนที่รอบแกนตามyawในทิศทางลง

จากราฟการตอบสนองพิงก์ชันลาดเอียงในการเคลื่อนที่รอบแกนตามyawในทิศทางลงโดยให้แผ่นเคลื่อนไหว (Platform) เคลื่อนที่จากมุม 0 องศาไปที่ -20 องศา ในเวลา 9.8 วินาที โดยทำการทดลอง 3 ครั้ง เพื่อเทียบผลการตอบสนองดังแสดงในรูปที่ 4.8 พบว่า ในช่วงที่แผ่นเคลื่อนไหวเริ่มจะทำงาน เชอร์โวโมเตอร์จะมีการเซตตัวเพื่อรับค่าสัญญาณ ที่ถูกป้อนเข้ามาทำให้เกิดการเคลื่อนที่ผิดแปลงจากค่าสัญญาณในช่วงแรก (0-4 วินาที) หลังจากนั้น แผ่นเคลื่อนไหว ก็จะเริ่มเคลื่อนตัวเป็นมุมลงตั้งแต่เวลา 5 วินาที เป็นต้นไป จนกระทั่งเข้าสู่สถานะคงที่ที่เวลา 15 วินาที ซึ่งสัญญาณที่ป้อนใช้เวลาการเคลื่อนที่ 9.8 วินาที (จากวินาทีที่ 4.3 ถึง วินาทีที่ 14.1) ในขณะที่การตอบสนองใช้เวลาในการเคลื่อนที่ 10.5 วินาที ซึ่งใช้เวลาในการตอบสนองมากกว่า 0.7 วินาที โดยเริ่มจากวินาทีที่ 5 ถึง วินาทีที่ 15.5 ซึ่งมากกว่าสัญญาณ 1.4 วินาที

ค่าความคาดเคลื่อนของแผ่นเคลื่อนไหวมากที่สุดอยู่ที่ตำแหน่งสภาวะคงที่ เมื่อเทียบมุมองศาที่แผ่นเคลื่อนไหวเคลื่อนที่ได้ (18°) กับสัญญาณที่ป้อน (20°) พบว่า มีค่าคาดเคลื่อนจากคำสั่ง 2 องศา คิดเป็นเปอร์เซ็นต์ความคาดเคลื่อน 10 เปอร์เซ็นต์

จากการทดลองการตอบสนองฟังก์ชันลัดอ้างอิงข้างต้น สังเกตว่าผลการทดลองของแต่ละการทดลองทั้งสามครั้งให้ผลการทดลองที่สอดคล้องกัน ซึ่งจากความคลาดเคลื่อนของการตอบสนองสามารถวิเคราะห์ได้ 2 ประเด็นหลัก ดังนี้

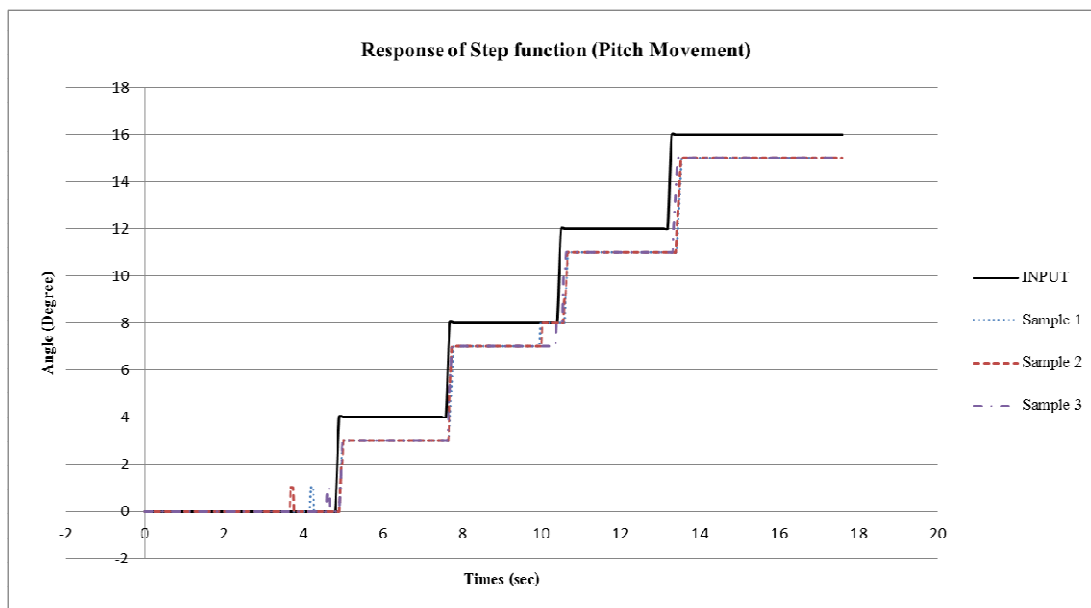
1. จากกราฟรูปที่ 4.5-4.8 ผู้จัยได้ป้อนค่าฟังก์ชันลัดอ้างอิงให้กับระบบ แต่ผลการตอบสนองมีลักษณะคล้ายขั้นบันได ซึ่งอาจมีสาเหตุมาจาก ข้อจำกัดของเครื่องมือวัดค่าการเคลื่อนที่ (MultiWii 2012) ของแผ่นเคลื่อนไหวมีความละเอียดเพียง 8 บิต (Bit) จึงสามารถแสดงผลออกมาเป็นเลขจำนวนเต็ม เท่านั้น

2. อุปกรณ์ที่ใช้ในการสร้างแพนเค้กเคลื่อนไหวยังไม่ได้มาตรฐานเนื่องจากว่า เป็นพีย์แบบจำลองเพื่อศึกษาการตอบสนองเท่านั้น และ ตัวเซอร์โวมอเตอร์เองก็มีค่าความคลาดเคลื่อนในตัว ซึ่งกล่าวมาแล้วในการทดลองข้างต้น โดยค่าความคลาดเคลื่อนสูงสุด คือ 1.69 % เมื่อประกอบหอยอุปกรณ์เข้าด้วยกันทำให้เป็นการรวมค่าความคลาดเคลื่อนเข้าด้วยกัน



4.4.2 การตอบสนองฟังก์ชันขั้นบันได (Step Function)

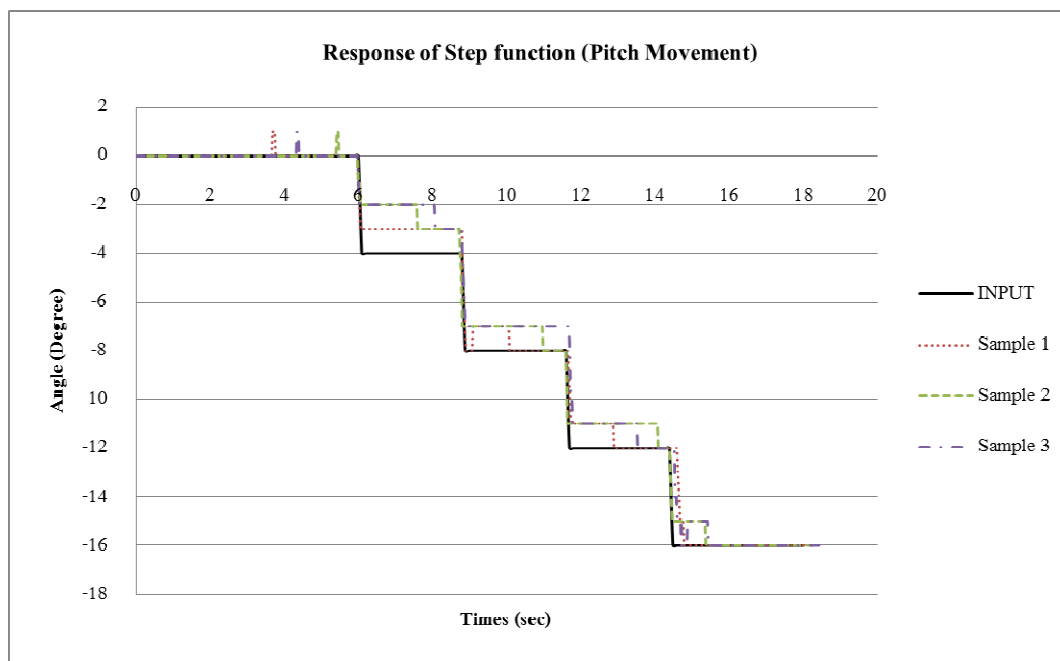
ในการทดสอบการตอบสนองฟังก์ชันขั้นบันได ผู้วิจัยได้ทดสอบการตอบสนองลักษณะการเคลื่อนที่ใน 2 ทิศทาง คือ การเคลื่อนที่รอบแกนตามยาว (Pitch) และเคลื่อนที่รอบแกนตามยาว (Roll) ซึ่งมีผลการตอบสนองดังนี้



รูปที่ 4.9 กราฟแสดงผลการตอบสนองฟังก์ชันขั้นบันไดของการเคลื่อนที่รอบแกนตามยาวในทิศทางบวก

จากราฟการตอบสนองจากฟังก์ชันแบบขั้นบันไดในการเคลื่อนที่รอบแกนตามยาวในทิศทางบวก โดยให้แผ่นเคลื่อนไหว (Platform) เคลื่อนที่จากมุม 0 องศาแล้วเพิ่มขึ้นบันละ 4 องศา สูงสุดที่ 16 องศา แต่ละขั้นใช้เวลา 2.8 วินาที โดยทำการทดลอง 3 ครั้ง เพื่อเทียบผลการตอบสนองดังแสดงในรูปที่ 4.9 พบว่า ในช่วงที่แผ่นเคลื่อนไหวเริ่มจะทำงาน เชอร์โวโมเตอร์จะมีการเช็ตตัวเพื่อรับค่าสัญญาณ ที่ถูกป้อนเข้ามา ทำให้เกิดการเคลื่อนที่ผิดแปลงจากค่าสัญญาณในช่วงแรก (0-5 วินาที) หลังจากนั้น แผ่นเคลื่อนไหวก็จะเริ่มเคลื่อนตัวเป็นมุมบวกแบบขั้นบันได จนกระทั่งเข้าสู่สถานะคงที่ที่เวลา 13.3 วินาที ซึ่งสัญญาณที่ป้อนใช้เวลาการเคลื่อนที่ 8.4 วินาที (จากวินาทีที่ 4.9 ถึง วินาทีที่ 13.3) ในขณะที่การตอบสนองใช้เวลาในการเคลื่อนที่ 8.5 วินาที ซึ่งใช้เวลาในการตอบสนองมากกว่า 0.1 วินาที โดยเริ่มจากวินาทีที่ 5 ถึง วินาทีที่ 13.5 ซึ่งมากกว่าสัญญาณ 0.2 วินาที

ค่าความคาดเคลื่อนของแผ่นเคลื่อนไหวมากที่สุดอยู่ที่ตำแหน่งสภาวะคงที่ของทุกขั้น เมื่อเทียบมุมองศาที่แผ่นเคลื่อนไหวเคลื่อนที่ได้ ($3^\circ, 7^\circ, 11^\circ, 15^\circ$) กับสัญญาณที่ป้อน ($4^\circ, 8^\circ, 12^\circ, 16^\circ$) พบว่า มีค่าคาดเคลื่อนจากคำสั่ง 1 องศา คิดเป็นเปอร์เซ็นต์ความคาดเคลื่อน 6.25 เปอร์เซ็นต์ และหากพิจารณาผลต่างระหว่างขั้นที่เปลี่ยนไปของสัญญาณกับการตอบสนองมีค่าเท่ากัน คือ 4 องศา จึงอาจกล่าวได้ว่าการตอบสนองแบบขั้นบันไดมีการการตอบสนองถูกต้องและแม่นยำ

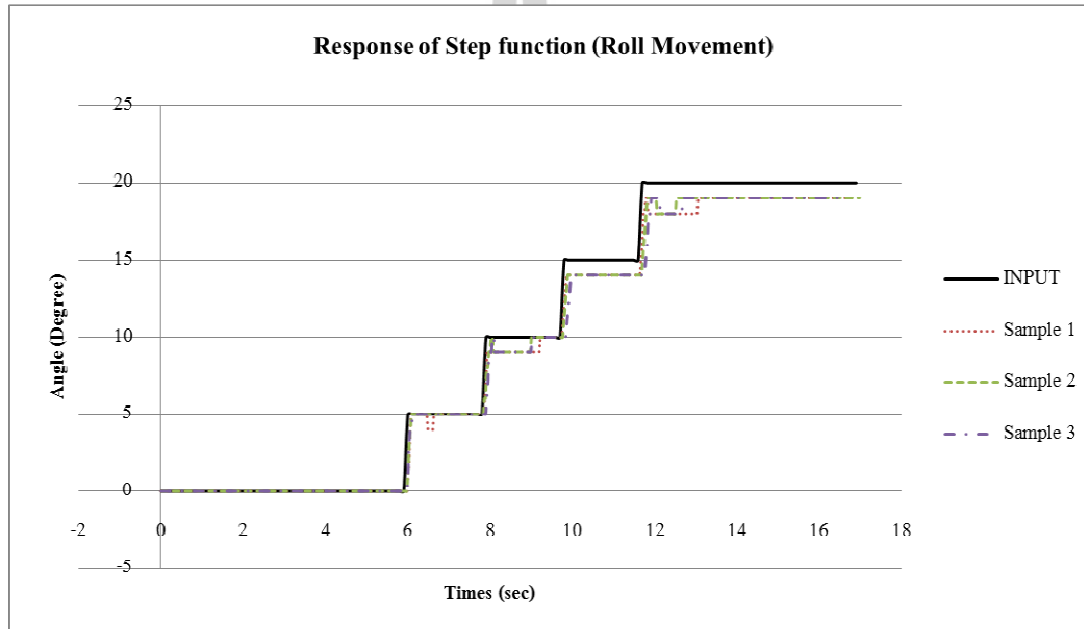


รูปที่ 4.10 กราฟแสดงผลการตอบสนองฟังก์ชันขั้นบันไดของการเคลื่อนที่รอบแกนตามขวางในทิศทางลง โดยให้แผ่นเคลื่อนไหว (Platform) เคลื่อนที่จากมุม 0 องศาแล้วลดลงขั้นละ 4 องศา สูงสุดที่ -16 องศา แต่ละขั้นใช้เวลา 2.8 วินาที โดยทำการทดสอบ 3 ครั้ง เพื่อเทียบผลการตอบสนองดังแสดงในรูปที่ 4.10 พบว่า ในช่วงที่แผ่นเคลื่อนไหวเริ่มจะทำงาน เชอร์โวมอเตอร์จะมีการเช็ตตัวเพื่อรับค่าสัญญาณที่ถูกป้อนเข้ามา ทำให้เกิดการเคลื่อนที่ผิดแปลงจากค่าสัญญาณในช่วงแรก (0-6 วินาที) หลังจากนั้น แผ่นเคลื่อนไหวจะเริ่มเคลื่อนตัวเป็นมุ่งลงแบบขั้นบันได จนกระทั่งเข้าสู่สถานะคงที่ที่เวลา 14.8 วินาที ซึ่งสัญญาณที่ป้อนใช้เวลาการเคลื่อนที่ 8.4 วินาที (จากวินาทีที่ 6 ถึง วินาทีที่ 14.4) ในขณะที่การตอบสนองใช้เวลาในการเคลื่อนที่ 8.8 วินาที ซึ่งใช้

จากกราฟการตอบสนองจากฟังก์ชันแบบขั้นบันไดในการเคลื่อนที่รอบแกนตามขวางในทิศทางลง โดยให้แผ่นเคลื่อนไหว (Platform) เคลื่อนที่จากมุม 0 องศาแล้วลดลงขั้นละ 4 องศา สูงสุดที่ -16 องศา แต่ละขั้นใช้เวลา 2.8 วินาที โดยทำการทดสอบ 3 ครั้ง เพื่อเทียบผลการตอบสนองดังแสดงในรูปที่ 4.10 พบว่า ในช่วงที่แผ่นเคลื่อนไหวเริ่มจะทำงาน เชอร์โวมอเตอร์จะมีการเช็ตตัวเพื่อรับค่าสัญญาณที่ถูกป้อนเข้ามา ทำให้เกิดการเคลื่อนที่ผิดแปลงจากค่าสัญญาณในช่วงแรก (0-6 วินาที) หลังจากนั้น แผ่นเคลื่อนไหวจะเริ่มเคลื่อนตัวเป็นมุ่งลงแบบขั้นบันได จนกระทั่งเข้าสู่สถานะคงที่ที่เวลา 14.8 วินาที ซึ่งสัญญาณที่ป้อนใช้เวลาการเคลื่อนที่ 8.4 วินาที (จากวินาทีที่ 6 ถึง วินาทีที่ 14.4) ในขณะที่การตอบสนองใช้เวลาในการเคลื่อนที่ 8.8 วินาที ซึ่งใช้

เวลาในการตอบสนองมากกว่า 0.4 วินาที โดยเริ่มจากวินาทีที่ 6 ถึง วินาทีที่ 14.8 ซึ่งช้ากว่าสัญญาณ 0.4 วินาที

ค่าความคาดเคลื่อนของแผ่นเคลื่อนไหวมากที่สุดอยู่ที่ตำแหน่งส่วนกลางที่ของขั้นที่หนึ่ง (-4°) พบว่า มีค่าคาดเคลื่อนจากคำสั่ง 2 องศา (สัญญาณสั่ง -4 องศา แผ่นเคลื่อนไหวตอบสนอง -52 องศา) คิดเป็น佩อร์เซ็นต์ความคาดเคลื่อน 12.5 佩อร์เซ็นต์ แต่ในระยะเวลาต่อมา แผ่นเคลื่อนไหวเคลื่อนที่ลดลงมาอีก 1 องศา ซึ่งอาจจะพิจารณาได้ว่า ค่าความคาดเคลื่อนที่เกิดขึ้นนี้ เกิดจากความบกพร่องของอุปกรณ์ที่ใช้ในการสร้างแบบจำลองจึงทำให้มีอัตราสัญญาณสั่งค่ามุ่งดังกล่าวเกิดการดึงรั้งของกลไกทำให้แผ่นเคลื่อนไหวไม่สามารถเคลื่อนที่ได้ตามที่โปรแกรมสั่งการ และในการทดลองบางครั้งมีการตอบสนองในทันทีทันใจ (Real Time)

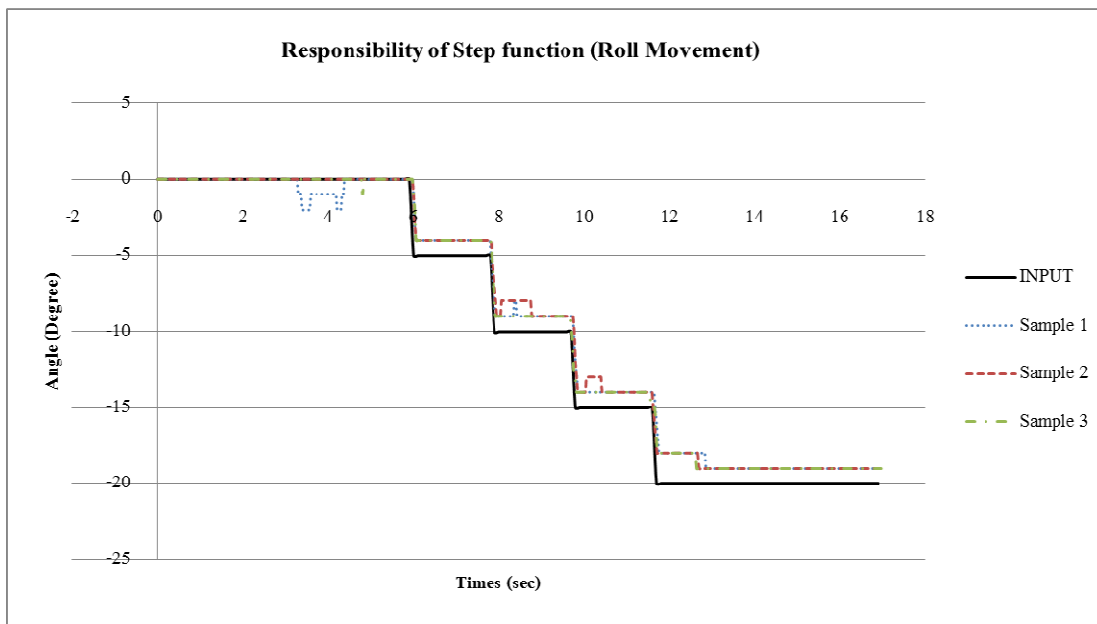


รูปที่ 4.11 กราฟแสดงผลการตอบสนองฟังก์ชันขั้นบันไดของการเคลื่อนที่รอบแกนตามยาวในทิศทางบวก

จากราฟการตอบสนองจากฟังก์ชันแบบขั้นบันไดในการเคลื่อนที่รอบแกนตามยาวในทิศทางบวก โดยให้แผ่นเคลื่อนไหว (Platform) เคลื่อนที่จากมุ่ง 0 องศาแล้วเพิ่มขึ้นขั้นละ 5 องศา สูงสุดที่ 20 องศา แต่ละขั้นใช้เวลา 1.9 วินาที โดยทำการทดลอง 3 ครั้ง เพื่อเทียบผลการตอบสนองดังแสดงในรูปที่ 4.11 พบว่า แผ่นเคลื่อนไหวเริ่มเคลื่อนตัวเป็นมุ่งบวกแบบขั้นบันได จนกระทั่งเข้าสู่สถานะคงที่ที่เวลา 11.9 วินาที ซึ่งสัญญาณที่ป้อนใช้เวลาการเคลื่อนที่ 5.7 วินาที (จากวินาทีที่ 6 ถึง วินาทีที่ 11.7) ในขณะที่การตอบสนองใช้เวลาในการเคลื่อนที่ 5.8 วินาที ซึ่งใช้เวลาใน

การตอบสนองมากกว่า 0.1 วินาที โดยเริ่มจากวินาทีที่ 6.1 ถึง วินาทีที่ 11.9 ซึ่งช้ากว่าสัญญาณ 0.2 วินาที แต่ในสภาวะคงที่ของขั้นแรกมีผลการตอบสนองแบบทันทีทันใด (Real Time)

ค่าความคาดเคลื่อนของแผ่นเคลื่อนไหวมากที่สุดอยู่ที่ตำแหน่งสภาวะคงที่ของขั้นสุดท้ายเมื่อเทียบมุมองศาที่แผ่นเคลื่อนไหวเคลื่อนที่ได้ (18°) กับสัญญาณที่ป้อน (20°) พบว่า มีค่าคาดเคลื่อนจากคำสั่ง 2 องศา คิดเป็นเบอร์เซ็นต์ความคาดเคลื่อน 12.5 เบอร์เซ็นต์ แต่เป็นเพียงแค่ช่วงเริ่มต้นของสถานะเท่านั้น หลังจากนั้นแผ่นเคลื่อนไหวก็จะเคลื่อนที่เพิ่มขึ้นเข้าสู่สภาวะคงที่มีค่าคาดเคลื่อนลดลง



รูปที่ 4.12 กราฟแสดงผลการตอบสนองพังก์ชันขั้นบันไดของการเคลื่อนที่รอบแกนตามขวางในทิศทางลง โดยให้แผ่นเคลื่อนไหว (Platform) เคลื่อนที่จากมุม 0 องศาแล้วลดลงขั้นละ 5 องศา สูงสุดที่ -20 องศา แต่ละขั้นใช้เวลา 1.9 วินาที โดยทำการทดลอง 3 ครั้ง เพื่อเทียบผลการตอบสนองดังแสดงในรูปที่ 4.12 พบว่า ในช่วงที่แผ่นเคลื่อนไหวเริ่มจะทำงาน เชอร์โวโมเตอร์จะมีการเซตตัวเพื่อรับค่าสัญญาณ ที่ถูกป้อนเข้ามา ทำให้เกิดการเคลื่อนที่ผิดแปลงจากค่าสัญญาณในช่วงแรก (0-6 วินาที) หลังจากนั้น แผ่นเคลื่อนไหวก็จะเริ่มเคลื่อนตัวเป็นมุมลงแบบขั้นบันได จนกระทั่งเข้าสู่สถานะคงที่ที่เวลา 11.75 วินาที ซึ่งสัญญาณที่ป้อนให้เวลาการเคลื่อนที่ 5.7 วินาที (จากวินาทีที่ 6 ถึง วินาทีที่ 11.7) ในขณะที่การตอบสนองใช้เวลาในการเคลื่อนที่ 5.7 วินาที ซึ่งใช้เวลาใน

จากการตอบสนองจากพังก์ชันแบบขั้นบันไดในการเคลื่อนที่รอบแกนตามขวางในทิศทางลง โดยให้แผ่นเคลื่อนไหว (Platform) เคลื่อนที่จากมุม 0 องศาแล้วลดลงขั้นละ 5 องศา สูงสุดที่ -20 องศา แต่ละขั้นใช้เวลา 1.9 วินาที โดยทำการทดลอง 3 ครั้ง เพื่อเทียบผลการตอบสนองดังแสดงในรูปที่ 4.12 พบว่า ในช่วงที่แผ่นเคลื่อนไหวเริ่มจะทำงาน เชอร์โวโมเตอร์จะมีการเซตตัวเพื่อรับค่าสัญญาณ ที่ถูกป้อนเข้ามา ทำให้เกิดการเคลื่อนที่ผิดแปลงจากค่าสัญญาณในช่วงแรก (0-6 วินาที) หลังจากนั้น แผ่นเคลื่อนไหวก็จะเริ่มเคลื่อนตัวเป็นมุมลงแบบขั้นบันได จนกระทั่งเข้าสู่สถานะคงที่ที่เวลา 11.75 วินาที ซึ่งสัญญาณที่ป้อนให้เวลาการเคลื่อนที่ 5.7 วินาที (จากวินาทีที่ 6 ถึง วินาทีที่ 11.7) ในขณะที่การตอบสนองใช้เวลาในการเคลื่อนที่ 5.7 วินาที ซึ่งใช้เวลาใน

การตอบสนองเท่ากับสัญญาณที่ป้อน โดยเริ่มจากวินาทีที่ 6.05 ถึง วินาทีที่ 11.75 ซึ่งมากกว่าสัญญาณ 0.05 วินาที ซึ่งถือว่าตอบสนองได้แบบจะทันทีทันใด (Real Time)

ค่าความคาดเคลื่อนของแผ่นเคลื่อนไหwarmakที่สุดอยู่ที่ตำแหน่งเริ่มต้นของสภาวะคงที่ของขั้น 2, 3 และ 4 เมื่อเทียบมุมองศาที่แผ่นเคลื่อนไหเคลื่อนที่ได้ กับสัญญาณที่ป้อน พบว่า มีค่าคาดเคลื่อนจากคำสั่ง 2 องศา คิดเป็นเบอร์เซ็นต์ความคาดเคลื่อน 12.5 เปอร์เซ็นต์ และเมื่อผ่านไประยะเวลาหนึ่งแผ่นเคลื่อนไหเคลื่อนที่เข้ามุมองศาที่สั่งทำให้ค่าความคาดเคลื่อนลดลงและเข้าสู่สภาวะคงที่ในที่สุด



บทที่ 5

สรุปผลและข้อเสนอแนะ

5.1 สรุปงานวิจัย

งานวิจัยนี้เป็นการออกแบบเครื่องจำลองการบินต้นแบบ ที่สามารถเคลื่อนที่ได้ 3 องศา อิสระ (Roll, Pitch และ Heave) เพื่อศึกษาการเชื่อมโยงระหว่างโปรแกรมจำลองการบินและเครื่องจำลองการเคลื่อนที่ ซึ่งจากการศึกษาเครื่องจำลองการบินต้นแบบ ผู้วิจัยได้ทำการดึงค่าข้อมูลท่าทาง การเคลื่อนที่แบบ Roll แบบ Pitch และค่าความเร่งของเครื่องบินจากโปรแกรมจำลองการบินแล้ว นำมาแปลงเป็นการเคลื่อนที่ของเครื่องจำลองการบิน โดยผลการวิจัยเครื่องจำลองการบินที่ออกแบบสามารถเชื่อมโยงกับโปรแกรมจำลองการบินที่มีอยู่ในท้องตลาด และอุปกรณ์ควบคุมการทำงานของเครื่องจำลองการบินได้ตามจุดประสงค์ที่วางไว้ และสามารถนำไปเป็นต้นแบบเพื่อสร้างเครื่องจำลองการบินจริงได้อีกด้วย จากการทดลองพบว่าการควบคุมการเคลื่อนที่ของเครื่องจำลองการบินต้นแบบนั้นสามารถทำงานได้อย่างมีประสิทธิภาพ โดยมีความคาดเคลื่อนสูงสุดของการควบคุมมุ่งหมายการเคลื่อนที่ของเครื่องจำลองการบินคือ 1-2 องศา ของการควบคุมการเคลื่อนที่ทั้ง Pitch และ Roll และมีขีดจำกัดในการเคลื่อนที่แบบ Pitch คือ $\pm 15^\circ$ การเคลื่อนที่แบบ Roll คือ $\pm 20^\circ$ และการเคลื่อนที่เคลื่อนลงในแนวแกน ± 20 มิลลิเมตร

5.2 ข้อเสนอแนะ

- งานวิจัยนี้เป็นงานวิจัยที่ใช้ระบบควบคุมแบบเปิด ดังนั้นจึงอาจมีค่าความคาดเคลื่อนเกิดขึ้น หากต้องการให้มีความถูกต้องเพิ่มขึ้น สามารถใช้ระบบควบคุมแบบปิด โดยทำการติดตั้งเซนเซอร์วัดท่าทางการเคลื่อนที่เพิ่มเข้าไปในระบบเพื่อป้อนสัญญาณการตรวจสอบท่าทาง และทำการแก้ไข ให้ได้ท่าทางที่ถูกต้องมากยิ่งขึ้น
- การสร้างเครื่องจำลองควรสำรวจอุปกรณ์ที่มีในท้องตลาดว่ามีขนาดตามที่ ได้ทำการออกแบบไว้หรือไม่ เพื่อให้เครื่องจำลองการบินนั้นมีประสิทธิภาพสูงสุด
- ควรนำเครื่องจำลองต้นแบบนี้ไปพัฒนาสร้างเครื่องจำลองการบินที่สามารถบรรทุกภาระ กรรม (นักบิน และ อุปกรณ์การบิน) ได้จริง

รายการอ้างอิง

กนต์ธร ช้านิปراسานน์ การวัดเชิงกลด้วย LabVIEW. เอกสารประกอบการสอน สาขาวิชา
วิศวกรรมเครื่องกล สำนักวิชาวิศวกรรมศาสตร์ มหาวิทยาลัยเทคโนโลยีสุรนารี
กฤษดา จันทร์แแดง (2551). การจำลองพลศาสตร์ยานยนต์ร่วมกับยานพาหนะจริงแบบย่อส่วน
(Collaboration of Vehicle Dynamic Simulation with Scaling Vehicle). **วิทยานิพนธ์ปริญญา**
วิศวกรรมศาสตรมหาบัณฑิต จุฬาลงกรณ์มหาวิทยาลัย
สุทธิวัฒน์ ประชาชนะชัย (2548). การจำลองการทำงานของแผ่นเคลื่อนไหว 6 องศาอิสระที่
ขับเคลื่อนด้วยระบบไฮดรอลิก. **วิทยานิพนธ์ปริญญาวิศวกรรมศาสตรมหาบัณฑิต สถาบัน**
เทคโนโลยีพระจอมเกล้าพระนครเหนือ.

Advani, S. K.; Nahon, M. A.; Haeck, N.; Albronda, J.(1999). Optimization of six-degrees -of -

freedom motion systems for flight simulators. **Journal of Aircraft**.36(5), 819 – 826.
September –October.

Amery, J. G.; Streid, H. (1999). Flight simulation visual requirements and a new display system.
International Society for Optical Engineering (SP IE).3690, 356 - 367 . **Cockpit Displays**
VI: Displays for Defense Applications.

Baarspul, M.; Hosman, R. J., Van der Vaart, J. C.(1986). Some fundamentals of simulator cockpit
motion generation. **Advances in Flight Simulation: Visual and Motion Systems,**
London, Royal Aeronautical Society (RAeS), 20

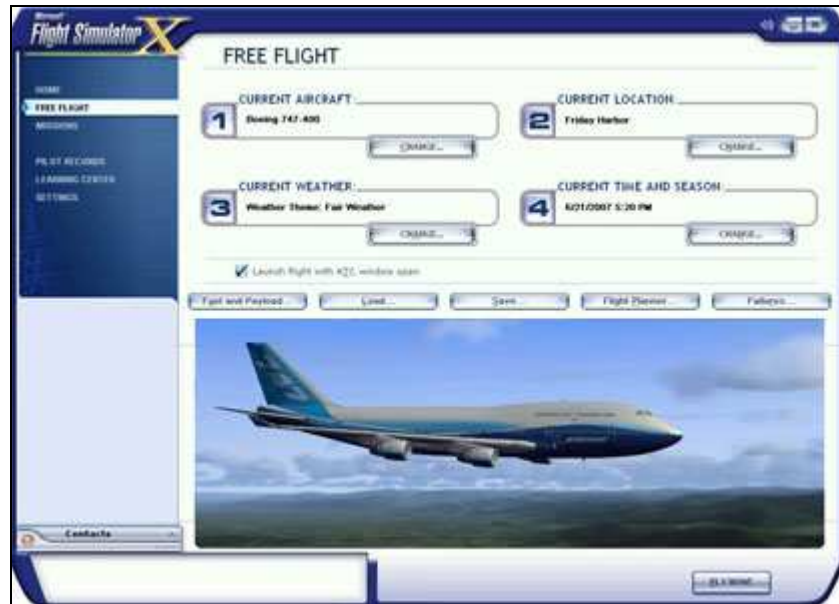
Page, R.L. (2000). Brief History of Flight Simulation. **Proceedings of SimTecT 2000**
Conference, Sydney.

Pouliot, N.A., Gosselin, C.M. and Nahon, M.A., Motion Simulation Capabilities of Three-
Degree-of-Freedom Flight Simulators, **Journal of Aircraft**, January 1998, 35(1): 9-17.

Rekdalsbakken, W. Design and Application of a Motion Platform in Three Degrees of Freedom.
SIMS 2005 46th Conference on Simulation and Modelin.

Rubio, E., Hernandez, L. Aracil, R. and Saltaren, R. (2009). Implementation of Decoupled
Model-Based Controller in a 2-DOF Pneumatic Platform used in Low -Cost Driving
Simulators, **Robotics and Automotive Mechanics Conference CERMA '09, Mexico,**
Sept. 22-25.





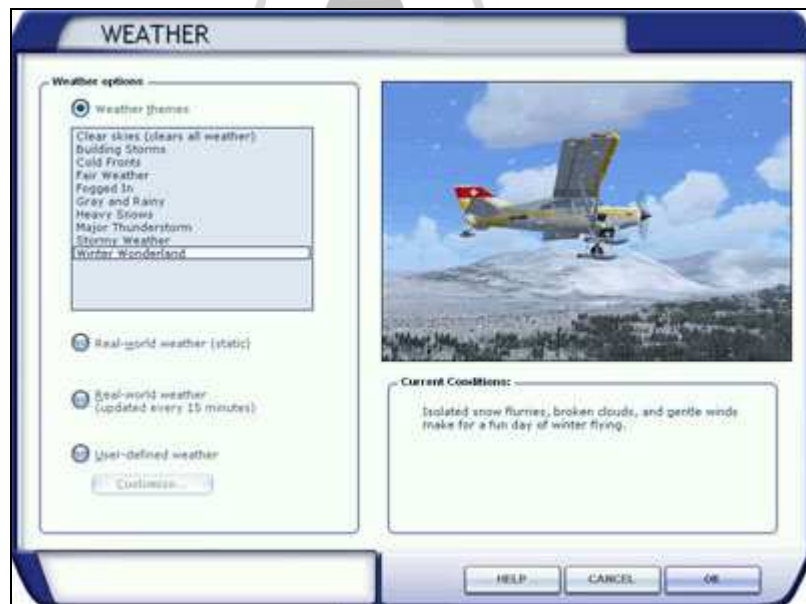
รูปที่ ก.1 โหมดการบินเดี่ยวสำหรับผู้ที่ต้องการชมทิวทัศน์สำหรับโปรแกรม Flight Simulator X



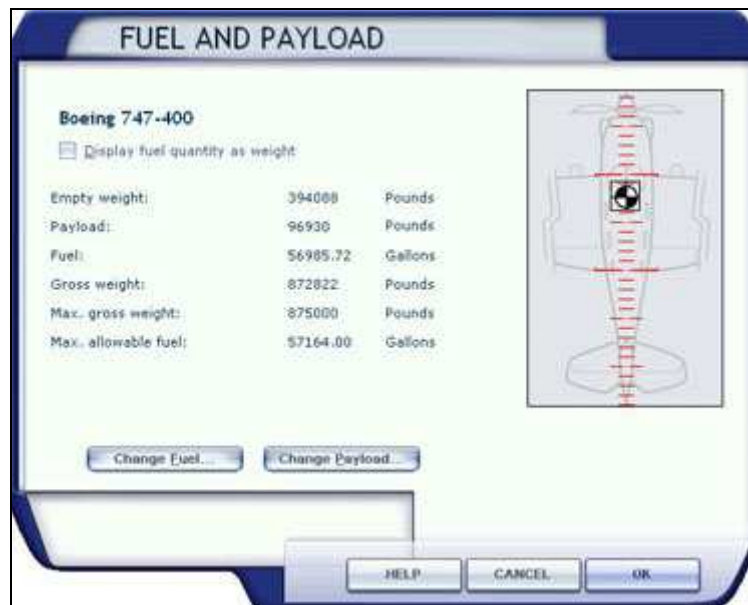
รูปที่ ก.2 หน้าต่างการเลือกอากาศยานที่ต้องการสำหรับโปรแกรม Flight Simulator X



รูปที่ ก.3 หน้าต่างกำหนดแผนการบินที่เราต้องการสำหรับโปรแกรม Flight Simulator X



รูปที่ ก.4 หน้าต่างสภาพอากาศจริงของพื้นที่ที่ทำการบินสำหรับโปรแกรม Flight Simulator X



รูปที่ ก.5 หน้าต่างกำหนดเชื้อเพลิงในการใช้งานและนำหนักการบรรทุก ซึ่งมีผลต่อระยะทางและการทรงตัวสำหรับโปรแกรม Flight Simulator X



รูปที่ ก.6 มุมมองห้องนักบิน ผู้ใช้สามารถควบคุมแพงค์ควบคุมได้ทุกอย่างสำหรับโปรแกรม Flight Simulator X



รูปที่ ก.7 มุมมองภายนอกอากาศบนสำหรับโปรแกรม Flight Simulator X



รูปที่ ก.8 ระบบหลักหน้าต่างทำให้เราสามารถเห็นสิ่งต่างๆ ในเวลาเดียวกันสำหรับโปรแกรม Flight Simulator X



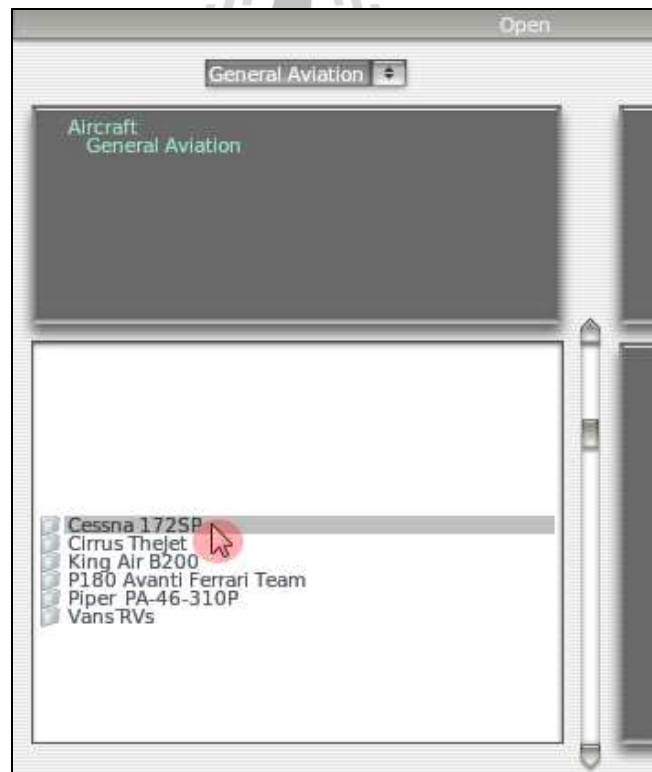
รูปที่ ก.9 ระบบนำร่องอากาศยาน (GPS)สำหรับโปรแกรม Flight Simulator X



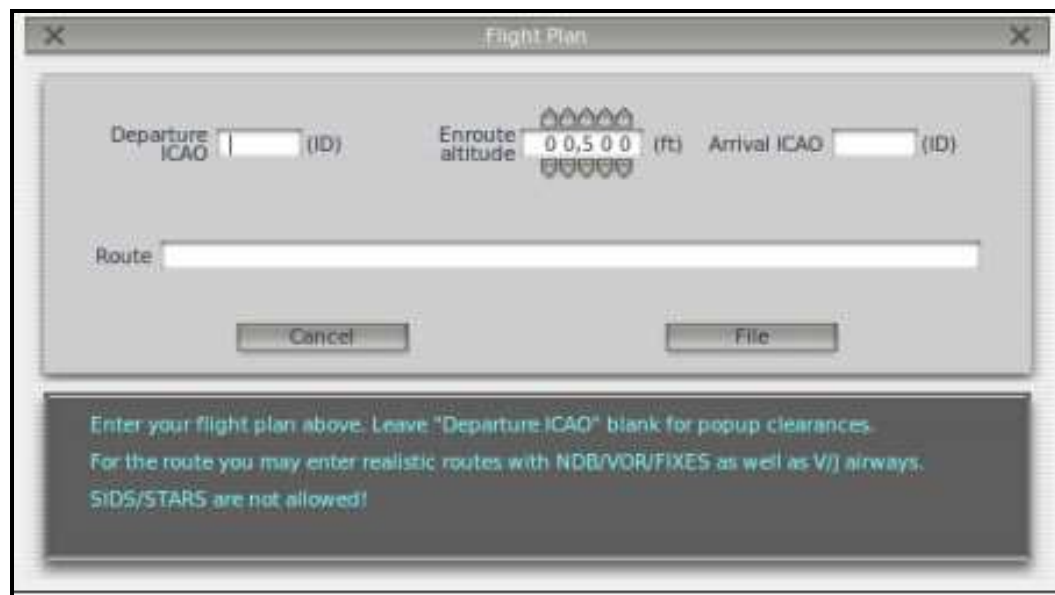
รูปที่ ก.10 หมวดการเรียนรู้เกี่ยวกับเครื่องบินสำหรับโปรแกรม Flight Simulator X



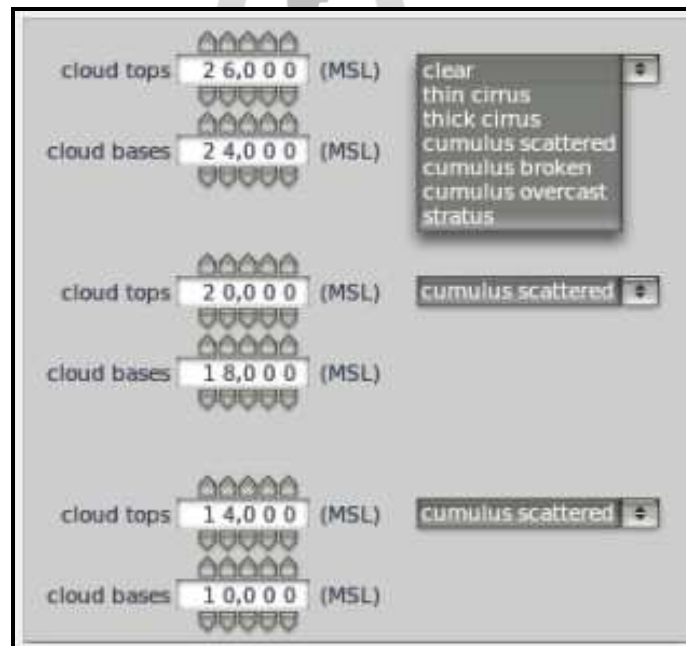
รูปที่ ก.11 โหมดการบินเดี่ยวสำหรับผู้ที่ต้องการชมทิวทัศน์สำหรับโปรแกรม X-Plane



รูปที่ ก.12 หน้าต่างการเลือกอากาศยานที่ต้องการสำหรับโปรแกรม X-Plane



รูปที่ ก.13 หน้าต่างกำหนดแผนการบินที่เราต้องการสำหรับโปรแกรม X-Plane



รูปที่ ก.14 หน้าต่างสภาพอากาศ ณ เวลาจริงของพื้นที่ที่ทำการบินสำหรับโปรแกรม X-Plane



รูปที่ ก.15 มุ่มมองห้องนักบิน ผู้ใช้สามารถควบคุมแพงควบคุมได้ทุกอย่างสำหรับโปรแกรม X-Plane

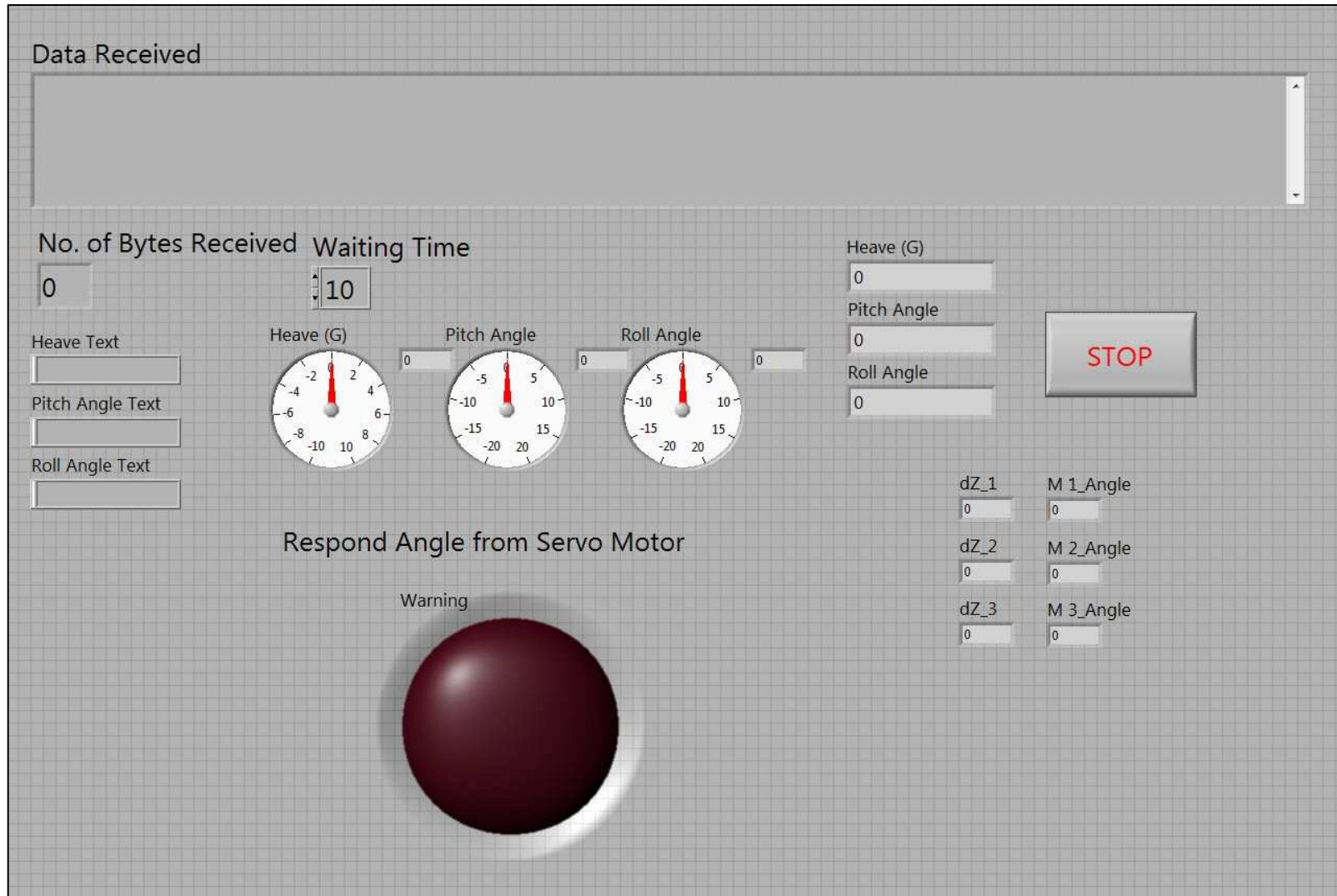


รูปที่ ก.16 มุ่มมองภายนอกอากาศยานสำหรับโปรแกรม X-Plane

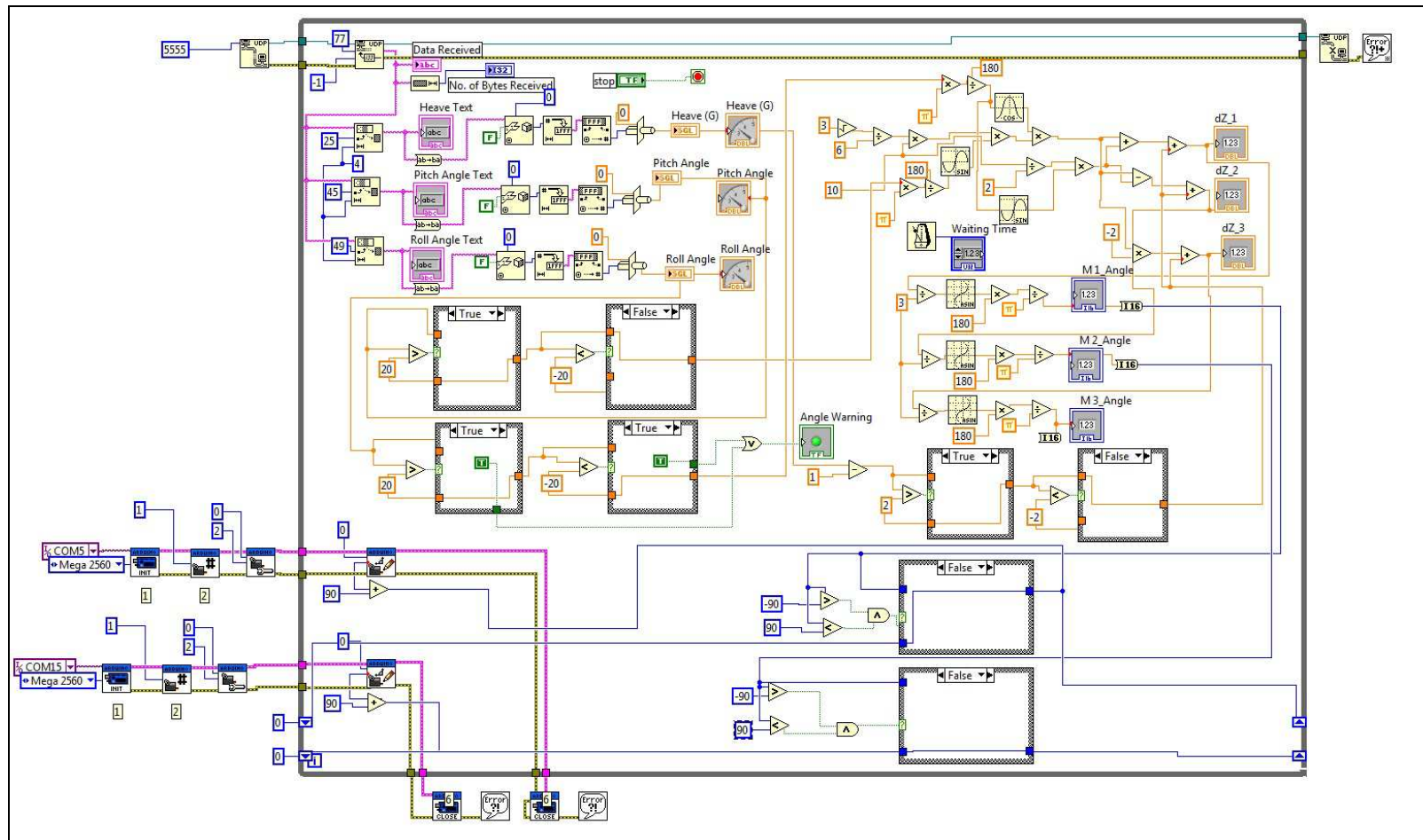


รูปที่ ก.17 ระบบนำร่องอากาศยาน (GPS) สำหรับโปรแกรม X-Plane

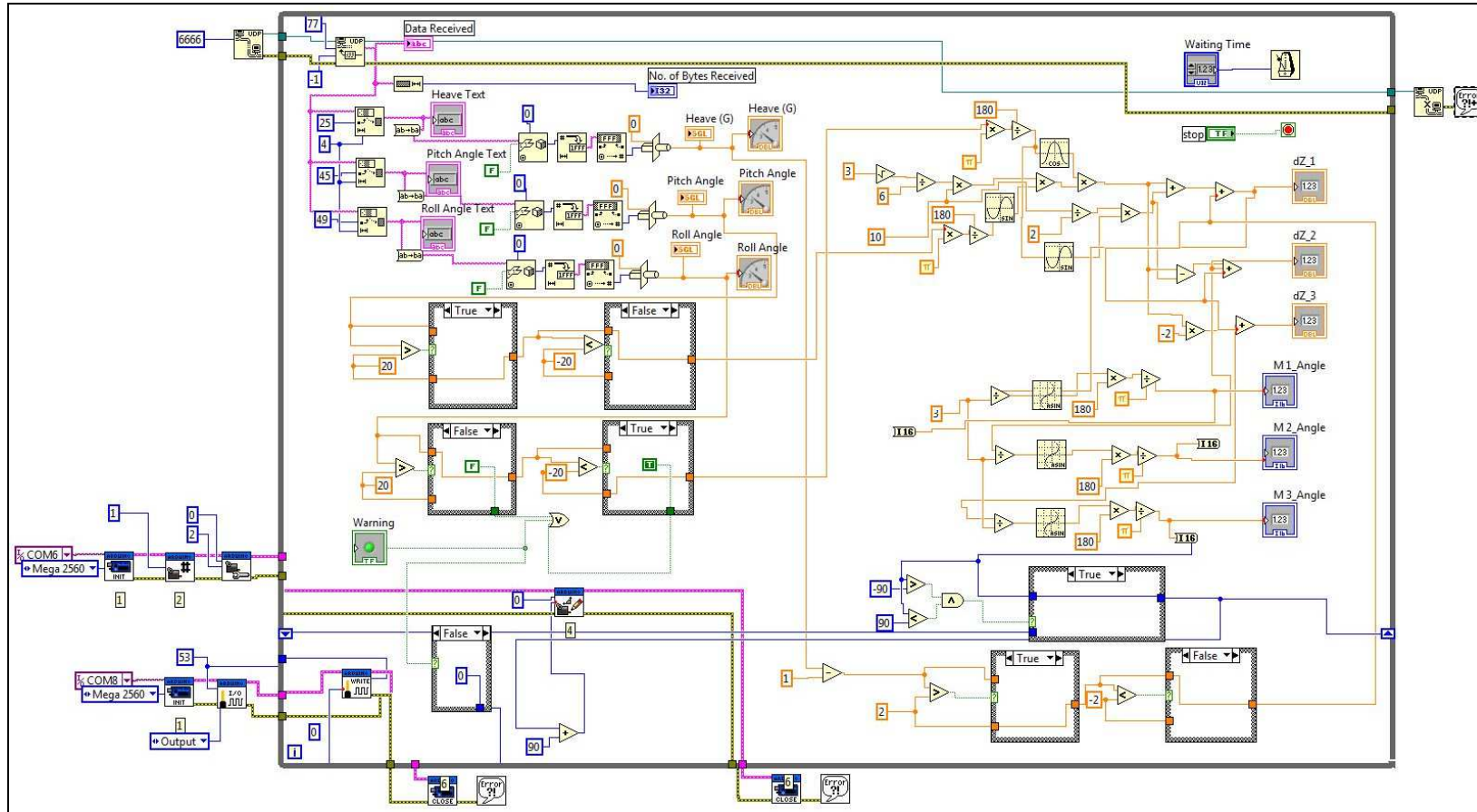




รูปที่ ๑.๑ หน้าจอแสดงผลของโปรแกรมควบคุมการเคลื่อนที่ของ Platform



รูปที่ ๔.๒ Block Diagram โปรแกรมการเคลื่อนที่ของ Platform 1



รูปที่ ข.3 Block Diagram โปรแกรมการเคลื่อนที่ของ Platform 2



รายชื่อบทความที่ได้รับการตีพิมพ์เผยแพร่ในระหว่างการศึกษา

Thawanrat, Th., Jittima, V., and Chamnprasart, K. (2014). **Prototyping of Aircraft Flight Simulator Platform using Linear Actuators.** The 8th South East Asian Technical University Consortium (SEATUC) Symposium. March 4-5, 2014. Johor Bahru, Malaysia. 4 pp.



OS Number C1-02The 8th SEATUC Symposium | 4-5 March 2014

PROTOTYPING OF AIRCRAFT FLIGHT SIMULATOR PLATFORM USING LINEAR ACTUATORS

Thawanrat Thongpan, Jittima Warakul and Kontorn Chamnprasart¹
School of Mechanical Engineering, Suranaree University of Technology, Nakhon Ratchasima, Thailand

thawanrat_th@hotmail.com, jittima@sut.ac.th and kontorn@sut.ac.th

Abstract

This research is aimed to build a prototype of an airplane flight simulator platform. This prototype platform will be used as a foundation of the complete flight simulator, including cockpit of training aircraft, image screen, control panel, instrument panel and other accessories of the simulator. The Microsoft Flight Simulator (FSX) is used as flight simulator program because it has ability to communicate and transfer the necessary data of simulated aircraft to the controller. The platform is controlled to move along with the simulated plane in the program in three directions that are roll, pitch and vertical shock of the aircraft. The motion of platform is controlled by the moment of three liner actuators. These three linear actuators must be controlled simultaneously to make the platform in the same position and acceleration of the plane in the computer. This flight simulator is intended to use in the class room for aeronautical engineering student at Suranaree University of Technology.

Despite their numerous advantages, typical modern full motion simulators use electrically driven six degree-of freedom (DOF) motion platforms with fully functional cockpits and retail for several million baht. Granting the availability of financial resources, these flight simulators can offer incredible realism and fidelity. However, for the budget conscious user, it is interesting to investigate the use 3 DOF motions platform model as a means to generate motion for a flight simulator.[2] It is also of interested to study whether a realistic flight simulator can be designed and implemented using low cost and commercially available components and software. It has long been suggested in the literature that 3 DOF motion platforms are capable of producing motion simulation quality, compared with that of 6 DOF motion platforms [3]. Nowadays, the availability of high quality commercial simulation products such as controls, visual displays, and sound systems allows the design of low cost systems which are capable of acceptable levels of fidelity for the training of pilots.[4]

Keywords: flight simulator platform, linear actuator control

INTRODUCTION

Flight simulation is widely used for the training of pilots by various organizations. Flight simulator operators typically benefit for a reduction in pilot training time and a reduction in training costs. For the training of emergency procedures, flight simulators allow an unparalleled level of convenience and safety. Additionally, flight simulators are ideally suited for the training of instrument flight rules (IFR) and the conduct of recurrency checks. Flight simulators also reduce the risk of aircraft training accidents as a large portion of training can be conducted in the simulated environment [1]



Figure 1 Full motion simulators

OS Number C1-02

The 8th SEATUC Symposium | 4-5 March 2014

This paper discusses how 3 DOF motion platform model was used to create a flight simulator with commercially available components. Then, the results of a pilot evaluation exercise aimed for studying the performance of several aspects of the system are discussed.

MOTION PLATFORM

The 3 DOF motion platform used in this study is the centerpiece of the flight simulator. RMC's 3 DOF motion platform, shown in Figure 2, is capable of executing movements or roll, pitch and heave. The motion is generated by three linear actuator in a triangular arrangement connected to the upper platform frame. The length, velocity, and acceleration of each actuator are independently controlled. The platform can be positioned in space and generate any combination of roll, pitch and heave motions.

Table 1 Three DOF Motion Platform Limits

	Roll	Pitch	Heave
Displacement	$\pm 25^\circ$	$\pm 30^\circ$	$\pm 0.20m$
Velocity	$30^\circ \cdot s^{-1}$	$30^\circ \cdot s^{-1}$	$\pm 0.45m \cdot s^{-1}$
Acceleration	$350^\circ \cdot s^{-2}$	$350^\circ \cdot s^{-2}$	$7.85m \cdot s^{-2}$

The motion platform is controlled using a networked motion controller and the LabVIEW program. The motion platform displacement, velocity and acceleration limits, which determine the motion platform motion envelope, are given in Table 1.

FLIGHT SIMULATOR COMPONENTS

The challenge of flight simulation requires the integration of several subsystems to replicate the sensations felt in a real aircraft during flight. Typically, such subsystems are comprised of computer generated images, visual display(s), sound system, motion simulation system and other enhancements such as realistic controls and cockpit instrumentation. Each subsystem contributes to the overall quality and realism of the simulation.

The selection of a virtual simulation environment is one of the important components of the simulator. In this study, two commercially available simulation environments are X-Plane 9 and Flight Simulator X (FSX) Program. In terms of physics quality, cost, and graphics quality, this virtual simulation environment was acceptable. However, Microsoft's

FSX was selected in light of its superior software development kit at the end, the ability to specify the sampling rate of the environment, advantages and disadvantages of topics as follow:

1. Multiple screens
2. Screen Location Store

Table 2 Result of study in requirement of Flight Simulator program

Topic/Program	X-Plane	FSX
Multiple Screens	Depend on Number of PCs	Depend on Graphics Card Slot
Screen Location Store	No	Yes



Figure 2 Multiple Screens Layout

Five screens as shown in Figure 1: two front screens as an extended front view (eye-infinity), two side screens as a left and right view and the last screen as an instrument panel view.

Screen Location Store

The program that can learn the location of any windows FSX is called Panel Store. This program is working by save the location (pixel) and size of the windows. It can help the users for easy open and configuration.

LabVIEW PROGRAM

LabVIEW program is used to interface between Flight Simulator X and Linear actuator by using UDP VI function.

Use the UDP Open function (Figure 3) to open a UDP socket on a port. The number of simultaneously open UDP ports depends on the operating system. The UDP Open function returns a network connection refnum that uniquely identifies the UDP socket. Use this connection refnum to refer to this socket in subsequent VI calls.

OS Number C1-02The 8th SEATUC Symposium | 4-5 March 2014

Use the UDP Write function (Figure 4) to send data to a destination, and use the UDP Read function (Figure 5) to read that data. Each write operation requires a destination address and port. Each read operation contains the source address and port. UDP preserves the datagram bytes that you specified for each command you send. [5]

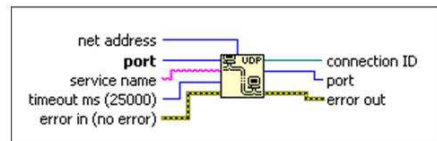


Figure 3 UDP Open function

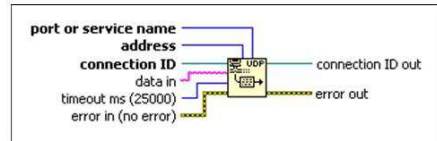


Figure 4 UDP Write function

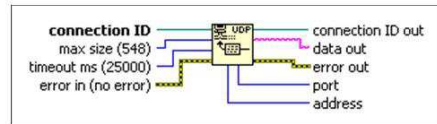


Figure 5 UDP Read function

The FSX and LabVIEW are connected by the UDP Protocol. The flights data roll, pitch, and yaw angle are sent to LabVIEW program by the UDP protocol as the data connection. This communication is used the IP Address of the Computer and port to transfer the datagram. Datagram is the data which is in the form of string of integer number (16 bit).

LINEAR ACTUATOR

The same actuator mounting brackets used on air cylinders, such as foot, turn-on and clevis brackets, are available as options. Three types of motor installation methods: coupling, built-in (direct coupling), and reversing, are selected. An optional sensor is available for checking, if home return completes without fail. Show in Figure 6



Figure 6 Linear actuator [6]

CONCLUSION

A prototype of the airplane flight simulator platform was presented in this paper. The system of prototype consisted of two main parts: the motion platform, and the flight simulator. The platform movement was controlled in three directions: roll, pitch, and vertical shock, using a networked motion controller and the LabVIEW program. The Microsoft Flight Simulator (FSX) was used to perform the virtual flight simulations. The three degree of freedom motion platform was combined with the Microsoft Flight Simulator (FSX) using the UDP protocol. This integrated flight simulator is expected to use as a tool in the class for School of Mechanical Engineering (Aeronautical Engineering), Suranaree University of Technology.

ACKNOWLEDGEMENTS

This research was supported by funds from the Innovation and Inventions scholarship Suranaree University of Technology .

REFERENCES

- [1] Page, R.L., "Brief History of Flight Simulation", Proceedings of SimTecT2000 Conference, Sydney, 2000
- [2] E. Rubio, L. Hernandez, R. Aracil, and R. Saltaren, "Implementation of Decoupled Model-Based Controller in a 2-DOF Pneumatic Platform used in Low -Cost Driving Simulators", presented at the Electronics, Robotics and Automotive Mechanics Conference CERMA '09, Mexico, Sept. 22-25, 2009.
- [3] Pouliot, N.A., Gosselin, C.M., Nahon, M.A., "Motion Simulation Capabilities of Three-Degree-of-Freedom Flight Simulators", Journal of Aircraft, Vol. 35, No. 1, January 1998, pp. 9-17[2]

OS Number C1-02The 8th SEATUC Symposium | 4-5 March 2014

- [4] Baarspul, M.; Hosman, R. J.; Van der Vaart, J. C.(1986). Some fundamentals of simulator cockpit motion generation. Advances in Flight Simulation: Visual and Motion Systems, London, Royal Aeronautical Society (RAeS), 20
- [5] National Instrument , NI. UDP VI and Functions , Available:http://zone.ni.com/reference/en-XX/help/371361K-01/lvcomm/udp_vi_descriptions/. June 15 2012.
- 6] Intelligentactuator , IAI. The Electromechanical Alternative to Pneumatic Cylinders. Available: <http://www.intelligentactuator.com/robo-cylinders/>. April 5 2012.



Thawanrat Thongpan received the B.E. (2010) degree in aeronautical engineering from Suranaree University of Technology



Jittima Varagul received the B.E.(2007) degree in mechanical engineering , M.E. (2010) degree in mechanical engineering from Suranaree University of Technology



Kontorn Chamniprasart received the B.S. (1980) degree in mechanical engineering from First Class Horner, Royal Thai Air Force Academy, Thailand, M.Sc. (1987) degree in mechanical engineering from University of Pittsburgh, USA, and Ph.D. (1992) degree in mechanical engineering from University of Pittsburgh, USA

ประวัติผู้เขียน

นางสาวชัวลรัตน์ ทองปัน เกิดเมื่อวันที่ 1 เมษายน 2531 ที่อำเภอพิบูลมังสาหาร จังหวัดอุบลราชธานี เริ่มการศึกษาระดับอนุบาลถึงระดับประถมศึกษาปีที่ 6 ที่โรงเรียนพิบูลมังสาหารวิภาวดี วิทยากร ระดับชั้นมัธยมศึกษาปีที่ 1-3 ที่โรงเรียนเบญจมบูรณะฯ และระดับชั้นมัธยมศึกษาปีที่ 4-6 ที่โรงเรียนแก่นครวิทยาลัย (โครงการพัฒนาและส่งเสริมผู้มีความสามารถพิเศษทางวิชาศาสตร์ และเทคโนโลยี) สำเร็จการศึกษาวิศวกรรมศาสตรบัณฑิต (วิศวกรรมอากาศยาน) สำนักวิชา วิศวกรรมศาสตร์ มหาวิทยาลัยเทคโนโลยีสุรนารี จังหวัดนครราชสีมา เมื่อ พ.ศ. 2553 และได้ศึกษาต่อระดับวิศวกรรมศาสตรมหาบัณฑิต สาขาวิชาวิศวกรรมเครื่องกล ขณะศึกษาได้เป็นผู้สอนปฏิบัติการของสาขาวิชาเครื่องกล จำนวน 14 รายวิชาได้แก่

- (1) เอกชนแบบวิศวกรรม 1 และ 2
- (2) การเขียนแบบทางกล
- (3) ปฏิบัติการวิศวกรรมเครื่องกล 1-3
- (4) ปฏิบัติการวิศวกรรมการผลิต 1-3
- (5) ปฏิบัติการวิศวกรรมอากาศยาน 1-3
- (6) MATLAB
- (7) พื้นฐานการฝึกบินด้วยเครื่องจำลองบิน

ระหว่างศึกษาระดับปริญญาโทได้นำเสนอผลงานวิชาการ เรื่อง Prototyping of Aircraft Flight Simulator Platform Using Linear Actuators ในการประชุมนานาชาติ South East Asian Technical University Consortium (SEATUC) Symposium 2014 ณ เมือง Johor Bahru ประเทศไทย

รวมทั้งเป็นวิทยกรอบรมพนักงานของบริษัท เบนซ์มาร์ค อิเลคทรอนิกส์ (ประเทศไทย)
จังหวัดนครราชสีมา ในหลักสูตร Microsoft Excel for Engineer